

01149

100

DIVISION DE ESTUDIOS SUPERIORES

FACULTAD DE INGENIERIA



"REGIMEN TRANSITORIO EN EL SISTEMA DE DISTRIBUCION
DE GAS DEL D.F.N.E."

~~REMIETIDA DE LA DIVISION DE
DE INVESTIGACION Y ESTUDIOS SUPER-
IORES DE LA FACULTAD DE INGENIERIA~~

TESIS QUE PARA
OBTENER EL GRADO
DE MAESTRO EN
INGENIERIA PETROLERA
PRESENTA

Ignacio Osorio de León

ABRIL DE 1976

TESIS CON
FALLA DE ORIGEN



Universidad Nacional
Autónoma de México



UNAM – Dirección General de Bibliotecas
Tesis Digitales
Restricciones de uso

DERECHOS RESERVADOS ©
PROHIBIDA SU REPRODUCCIÓN TOTAL O PARCIAL

Todo el material contenido en esta tesis esta protegido por la Ley Federal del Derecho de Autor (LFDA) de los Estados Unidos Mexicanos (México).

El uso de imágenes, fragmentos de videos, y demás material que sea objeto de protección de los derechos de autor, será exclusivamente para fines educativos e informativos y deberá citar la fuente donde la obtuvo mencionando el autor o autores. Cualquier uso distinto como el lucro, reproducción, edición o modificación, será perseguido y sancionado por el respectivo titular de los Derechos de Autor.

*Con profundo respeto y reconocimiento
a los Sres. integrantes del H. Jurado:*

<i>Presidente</i>	<i>Dr. Fernando Samaniego Verduzco</i>
<i>Secretario</i>	<i>M.I. Antonio Acuña Rosado</i>
<i>Vocal</i>	<i>Dr. Gustavo Best Brown</i>
<i>1er. Suplente</i>	<i>M.I. Napoleón Solórzano Zenteno</i>
<i>2o. Suplente</i>	<i>Ing. Eduardo Barrueta Zenteno</i>

*Mi más sincero reconocimiento al Sr. Dr.
Fernando Samaniego Verduzco por la gran ayuda que
desinteresadamente me brindó durante la elaboración
de este trabajo.*

*Deseo hacer patente mi agradecimiento a
los Sres.:*

*Físico Matemático Angel Quintero Romo
M. en C. Francisco Sánchez Arredondo
M.I. Salvador Casas Lecona
Ing. Carlos Martínez Márquez
Ing. Sergio Sandoval Guerrero*

*por sus atinadas observaciones en el desarrollo del
presente trabajo.*

INDICE

	Pag.
I.- INTRODUCCION	1
II.- ESTABLECIMIENTO DE LAS ECUACIONES DE FLUJO EN REGIMEN VARIABLE.	3
III.- METODOS DE SOLUCION.	9
1.- Integración Numérica	9
2.- Funciones de Transferencia	20
3.- Método de las Características	35
4.- Método Explícito	43
5.- Método Implícito	47
6.- Método Variacional	59
IV.- SOLUCION DE LAS ECUACIONES DE FLUJO TRANSITORIO, MEDIANTE EL METODO DE GALERKIN EN TERMINOS DE PRESIONES Y GASTOS.	66
V.- REPRESENTACION DEL FLUJO DE GAS TRAN SITORIO, MEDIANTE CONDICIONES DE FLU JO EN REGIMEN PERMANENTE, APLICADO AL SISTEMA DE DISTRIBUCION DE GAS DEL D.F.N.E.	81
VI.- CONCLUSIONES	95

R E S U M E N

En la red de gasoductos de distribución de gas natural del D.F.N.E. de Petróleos Mexicanos se tienen condiciones de flujo en régimen Transitorio, con lo cual se dificulta la operación diaria del sistema.

Con el fin de obtener las condiciones diarias de operación, así como poder diseñar nuevas instalaciones como gasoductos y compresoras se desarrolló en el presente trabajo lo siguiente:

- 1.-Un procedimiento mediante el cual, a partir del régimen permanente, se representa el flujo de gas en régimen transitorio.
- 2.-Simulando nodos ficticios en diversas secciones del sistema, se puede obtener la variación de los volúmenes de gas almacenados con respecto al tiempo.
- 3.-Se presenta una solución simplificada utilizando el método variacional de Galerkin en términos de presiones y gastos.

I.- INTRODUCCION .

Un sistema de distribución de gas seco, es aquel que se utiliza para suministrar gas a consumidores a partir de una fuente de abastecimiento, que generalmente es una planta de absorción o adsorción. El sistema involucra, reguladores, medidores, estaciones de compresión, trampas de diablos, válvulas de seguridad etc.

Las variaciones en el consumo, hacen de este sistema un flujo de régimen transitorio, es decir, variable con respecto al tiempo. En un régimen de flujo permanente el gasto y presión en la entrada y salida de la tubería se mantienen constantes y esto no ocurre así en el régimen variable, ya que la presión y el gasto varían con el tiempo.

Como un resultado de la dependencia de presión y gasto en un punto determinado de la tubería a un tiempo, la descripción básica del flujo variable son "Ecuaciones Diferenciales Parciales no Lineales". Estas ecuaciones no pueden ser resueltas por métodos analíticos y es por eso que una diversidad de soluciones se han presentado desde la década de los sesenta.

En los sistemas de distribución de gas es con

veniente conocer características transitorias de flujo, para la mínima y máxima demanda de gas, con el fin de lograr los siguientes objetivos:

a) Automatizar el sistema de distribución de gas, con respecto al paro y operación de compresoras acorde con la demanda de los consumidores.

b) Diseño del sistema de distribución y ubicación óptima de compresoras, en diferentes puntos del sistema.

El propósito de este trabajo es investigar el fenómeno físico del "Flujo de gas Transitorio" en tuberías y expresar de una manera útil las características de ese flujo para optimizar el diseño y el control de la operación de ductos.

II.- ESTABLECIMIENTO DE LAS ECUACIONES DE FLUJO EN REGIMEN VARIABLE

Las ecuaciones fundamentales usadas para describir el flujo transitorio dentro de una sección de tubería, son expresiones de la conservación de masa, cantidad de movimiento y energía asociadas con una ecuación de estado.

1.- CONSERVACIÓN DE MASA

Esta ecuación se deduce aplicando un balance de materia a un elemento de volumen $\pi \Delta r^2 \Delta x$ a través del cual está circulando el fluido. Se establece:

$$\left\{ \begin{array}{l} \text{velocidad} \\ \text{de acumu-} \\ \text{lación de} \\ \text{materia} \end{array} \right\} = \left\{ \begin{array}{l} \text{velocidad} \\ \text{de entra-} \\ \text{da de ma-} \\ \text{teria} \end{array} \right\} - \left\{ \begin{array}{l} \text{velocidad} \\ \text{de salida} \\ \text{de mate--} \\ \text{ria} \end{array} \right\}$$

Si el volumen de control esta contenido en la tubería, la declaración anterior se reduce a

$$\frac{\partial \rho V x}{\partial x} + \frac{\partial \rho}{\partial t} = 0$$

APENDICE A
(1)

2.- CONSERVACION DE CANTIDAD DE MOVIMIENTO

El teorema de cantidad de movimiento declara:

que la fuerza neta actuando sobre el fluido dentro de un volumen de control, es igual al cambio en la cantidad de movimiento por tiempo dentro del volumen de control, más la suma de fuerzas actuando en el sistema.

Análíticamente se puede expresar como:

$$\left\{ \begin{array}{l} \text{velocidad} \\ \text{de acumu-} \\ \text{lación de} \\ \text{cantidad} \\ \text{de movi-} \\ \text{miento} \end{array} \right\} = \left\{ \begin{array}{l} \text{velocidad} \\ \text{de entra-} \\ \text{da de can-} \\ \text{tidad de} \\ \text{movimien-} \\ \text{to} \end{array} \right\} - \left\{ \begin{array}{l} \text{velocidad} \\ \text{de salida} \\ \text{de canti-} \\ \text{dad de mo-} \\ \text{vimiento} \end{array} \right\} + \left\{ \begin{array}{l} \text{suma de} \\ \text{las fuer-} \\ \text{zas que ac-} \\ \text{tuán sobre} \\ \text{el sistema} \end{array} \right\}$$

$$g\rho \frac{\partial h}{\partial x} + \frac{\partial p}{\partial x} + \frac{\partial \rho Vx}{\partial t} + \frac{\partial \rho Vx^2}{\partial x} + \frac{f}{2D} \rho Vx^2 = 0$$

(2)

o bien

APENDICE B

$$\frac{\partial p}{\partial x} + \frac{1}{A} \frac{\partial w}{\partial t} + \frac{g\rho}{V_s^2} \text{sen } \alpha + \frac{f w^2 V_s^2}{2 D A^2 p} = 0$$

3.- ECUACION DE ESTADO GASEOSO

Las ecuaciones (1) y (2) es un conjunto de dos ecuaciones con tres incógnitas dependientes P, ρ y V_x .

La ecuación de estado relaciona dos de las tres incógnitas anteriores

$$p = \frac{\rho Z R T}{M} \quad (3)$$

4.- CONSERVACION DE ENERGIA

La ley de la conversión de energía declara que el cambio de energía dentro del volumen de control es -- igual al flujo de energía que entra menos el flujo de ener-- gía que sale. La ecuación asociada a la declaración de ener gía no será utilizada en el presente desarrollo, debido a -- que como una primera aproximación, la temperatura puede con siderarse como constante.

A.- PROPIEDADES Y LIMITACIONES DE LAS ECUACIONES

Ciertas hipótesis fueron hechas a fin de escribir las ecuaciones en la forma mostrada. Específicamen te se suponen las siguientes condiciones:

- a) Flujo unidimensional
- b) Diámetro de la tubería constante
- c) Flujo monofásico
- d) No hay cambios químicos dentro del gas
- e) Flujo isotérmico

Las ecuaciones son escritas en términos de las variables independientes x y t , posición dentro de la tubería y tiempo respectivamente. Por consiguiente, las variables P , ρ y V_x son cantidades bidimensionales dependientes de x y t , lo que involucra ecuaciones diferenciales parciales no lineales sin solución analítica.

B. SIMPLIFICACION DE LAS ECUACIONES FUNDAMENTALES.

1.- La elevación es una función conocida de x . Esto permite evaluar independientemente el factor $\frac{\partial h}{\partial x}$. En realidad, los perfiles de elevación de la tubería son conocidos con bastante exactitud a partir de estudios topográficos.

2.- La temperatura del gas es una función exclusivamente de x y es conocida. Esta suposición conduce a la eliminación de la ecuación de energía y su justificación se debe a los dos factores siguientes:

- a) Los cambios de temperatura acompañados con los cambios de presión, son pequeños comparados con la temperatura del medio ambiente.
- b) La variación de temperatura en el gas debido a las variaciones de temperatura en

el medio ambiente, son depreciables dado el comportamiento dinámico del sistema

3.- El factor de supercompresibilidad es - una función conocida de la presión y temperatura y algunas expresiones pueden ser usadas como subrutinas en programas de computación.

4.- El factor de fricción "f" es una función conocida de las propiedades físicas de la tubería y condiciones de flujo del gas, o bien puede ser determinado experimentalmente por ensaye y error.

Ahora considerando nuevamente las ecuaciones fundamentales y sustituyendo la ecuación (3) en la ecuación (2)

$$\frac{\partial \rho V_x}{\partial x} + \frac{\partial \rho}{\partial t} = 0 \quad (4)$$

$$g\rho \frac{\partial h}{\partial x} + \frac{R}{M} \left[\rho Z \frac{\partial T}{\partial x} + T \frac{\partial \rho Z}{\partial x} \right] + \frac{\partial \rho V_x}{\partial t} + \frac{\partial \rho V_x^2}{\partial x} + \frac{f \rho V_x^2}{2D} = 0 \quad (5)$$

De acuerdo a las suposiciones anteriores, el

sistema se redujo a un sistema de dos ecuaciones con 2 incógnitas dependientes ρ y V_x .

C.- REQUERIMIENTOS PARA OBTENER SOLUCIONES A LAS ECUACIONES
DE FLUJO

Las condiciones específicas que deben satisfacerse, a fin de obtener soluciones de las ecuaciones (4) y (5), son denominadas condiciones iniciales al principio de la tubería y condiciones de frontera al final de la tubería. La forma de las ecuaciones dicta que se deben conocer los valores de ρ y V_x a lo largo de la tubería a un cierto tiempo, por ejemplo $t = 0$, además de las condiciones de frontera necesarias.

III.- METODOS DE SOLUCION

1. INTEGRACION NUMERICA (2)

Una alternativa efectiva, es aproximar las ecuaciones por medio de diferencias finitas e integrar numéricamente para obtener soluciones. Las condiciones de frontera se tratarán en principio y después se derivarán las ecuaciones aplicando las diferencias finitas.

A. APLICACION DE CONDICIONES DE FRONTERA.

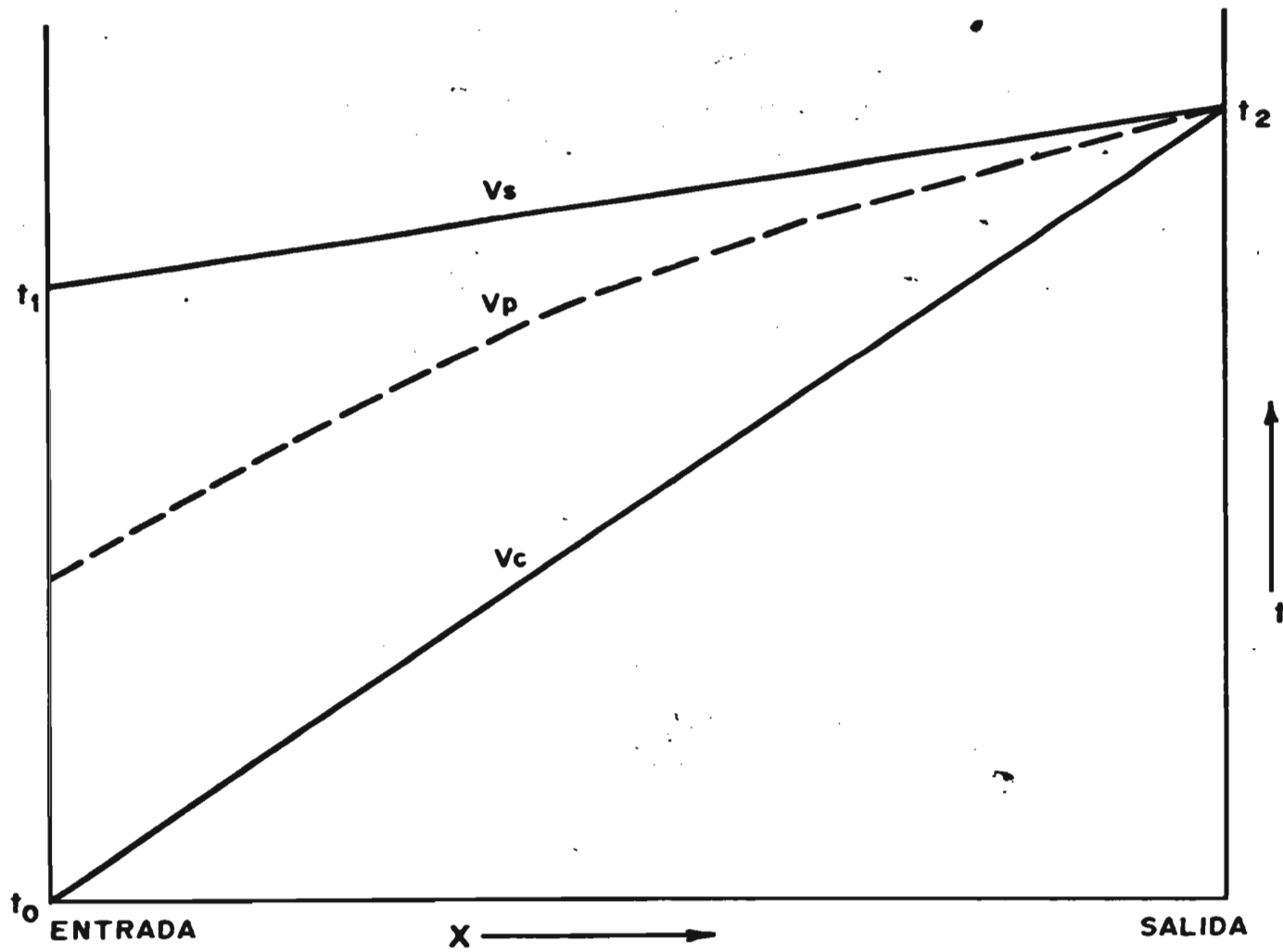
La computación es simplificada cuando ambas condiciones de frontera son especificadas en el final de la tubería. Esta forma de especificar las condiciones de frontera es usada exclusivamente cuando se llevan a cabo integraciones numéricas de las ecuaciones de flujo.

Por otra parte si una variación en ρ y V_x ocurriera en la entrada de la tubería, podría progresar en la salida con una cierta velocidad, la cual se desconoce y es difícil calcular, però se sabe con certeza que esa velocidad progresiva no puede ser mayor que la velocidad del sonido en el gas contenido dentro de la tubería. Entonces dependiendo sobre la forma de variación, tampoco progresará más abajo que una velocidad mínima característica, por lo tanto la velocidad de propagación estará limitada entre estos valores.

En la figura 2 la abscisa representa la posición a lo largo de la tubería y la ordenada representa el tiempo. Los valores de las variables ρ y V_x en valores particulares x y t pueden ser considerados como alturas arriba del plano x, t . Las condiciones iniciales de ρ y V_x están representadas por alturas arriba del eje horizontal en el tiempo inicial t_0 . Las condiciones de frontera ρ_{sal}, V_{xsal} están representadas por alturas arriba del eje vertical a la salida de la tubería. Las curvas V_s, V_c y V_p representan la velocidad del sonido, la velocidad mínima de propagación y la velocidad de propagación actual respectivamente.

Adecuados incrementos de x y t pueden ser escogidos tales que $\frac{\Delta x}{\Delta t} = V_c$

Para seleccionar los valores adecuados de V_c , se aplica un método de ensaye y error que consiste en lo siguiente: dado un conjunto de condiciones frontera, simplemente se escoge un valor bajo (decir 10 pies/seg) de V_c y se computa una solución. Se incrementa el valor de V_c y se computa otra solución. Si las soluciones son las mismas, se incrementa V_c otra vez y se obtiene una tercera solución, continuándose este proceso hasta que la solución cambia. El mejor valor de V_c es el último en donde no había cambiado la solución.



10-A

Fig. 2

La determinación de los valores de ρ y V_x a lo largo de la diagonal de pendiente V_c , con los cuales empieza la computación, se hace también por ensaye y error, suponiendo primeramente condiciones de régimen permanente a lo largo de la diagonal. Cualquier inexactitud en la primera suposición llega a ser despreciable a medida que los cálculos avanzan y el tiempo se incrementa.

B.- REPRESENTACIÓN DE LAS ECUACIONES DIFERENCIALES POR DIFERENCIAS FINITAS.

La técnica numérica consiste en escribir las ecuaciones diferenciales parciales del flujo, en forma de diferencias finitas y posteriormente efectuar una integración numérica directa.

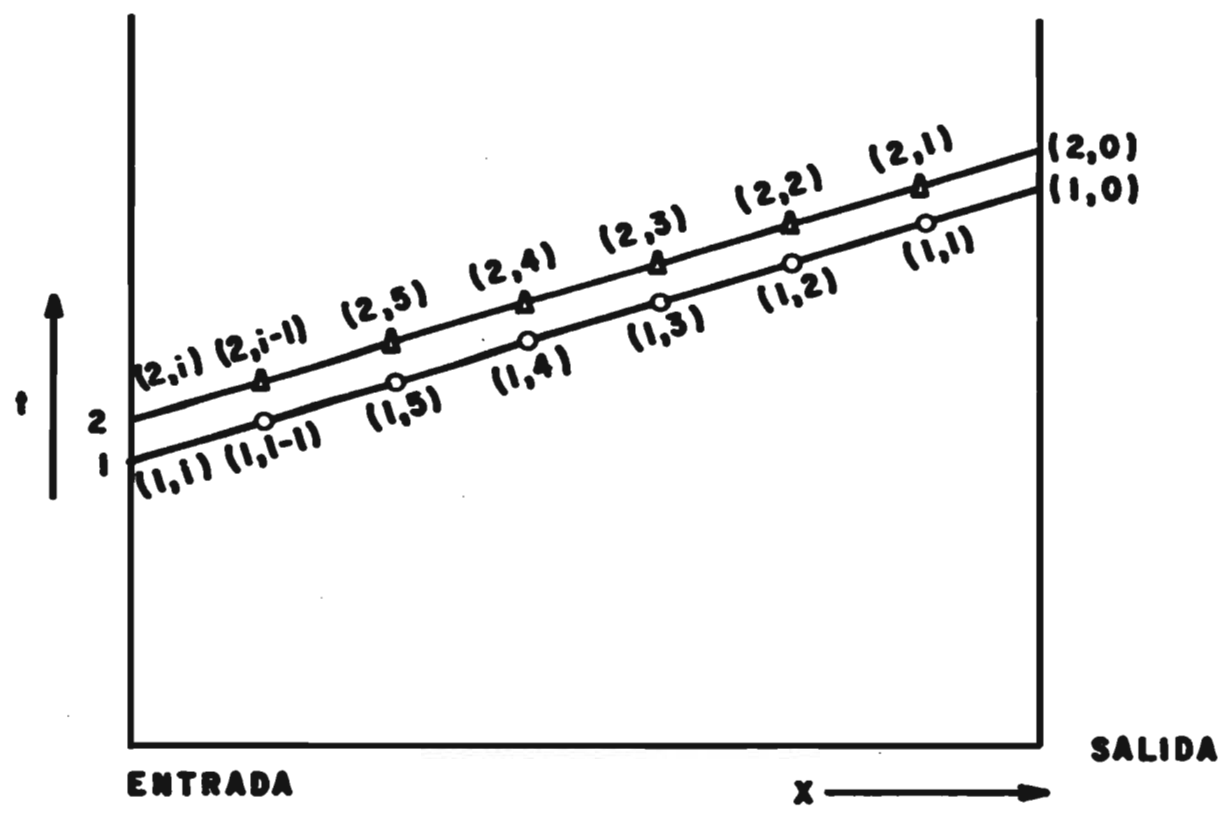
El método de diferencias finitas permite la computación de ρ_g y V_g a lo largo de diagonales consecutivas ver la fig. 3. Supóngase que los valores de ρ y V_x son conocidos a lo largo de la diagonal núm. 1 y las condiciones de frontera para la diagonal núm. 2 también se conocen. La primera computación por diferencias finitas será para determinar la densidad y velocidad en el punto (2,1), la segunda para el punto (2,2) y así sucesivamente hasta el punto (2,i). El procedimiento para la tercera distribución es el mismo, ahora conociéndose los valores de la segunda diagonal y los valores de frontera de la tercera diagonal.

El procedimiento analítico se detalla a continuación:

A partir de la serie de Taylor:

$$F(i + 1) = f_i + \Delta x \frac{\partial F}{\partial x} + \frac{\Delta x^2}{2!} \frac{\partial^2 F}{\partial x^2} + \frac{\Delta x^3}{3!} \frac{\partial^3 F}{\partial x^3} + \dots$$

DIAGRAMA PARA EL CALCULO DE $(PV)_{2,1}$



12-A

Fig. 3

despreciando los términos desde la segunda derivada

$$\frac{\partial F}{\partial x} = \frac{F(i+1) - F_i}{\Delta x}$$

sustituyendo esta ec. en las ecuaciones (4) y (5) y haciendo

$$Z\rho_{i,j} = (Z\rho)_{i,j}$$

$$\rho V_{i,j} = (\rho V)_{i,j} \quad i = 1, 2 \quad ; \quad j = 0, 1$$

$$\rho V_{i,j}^2 = (\rho V^2)_{i,j}$$

se obtiene:

$$\begin{aligned} \frac{R}{M} & \left[\frac{Z \rho_{1,0} - Z \rho_{2,1}}{2 \Delta x} (T_0 + T_1) + \frac{Z \rho_{1,0} + Z \rho_{1,1} + Z \rho_{2,0} + Z \rho_{2,1}}{4 \Delta x} (T_0 - T_1) \right. \\ & + \frac{\rho V_{1,0}^2 - \rho V_{2,1}^2}{\Delta x} + \frac{(\rho V_{2,1} + \rho V_{2,0}) - (\rho V_{1,0} + \rho V_{1,1})}{2 \Delta t} \\ & \left. + \frac{f}{2D} \left[\frac{\rho V_{1,0}^2 + \rho V_{1,1}^2 + \rho V_{2,0}^2 + \rho V_{2,1}^2}{4} \right] \right. \\ & \left. + g \left[\frac{\rho_{1,1} + \rho_{1,0} + \rho_{2,0} + \rho_{2,1}}{4} \right] \frac{(h_0 - h_1)}{\Delta x} = 0 \right. \quad (6) \end{aligned}$$

$$\frac{(\rho V_{1,0} - \rho V_{2,1})}{\Delta x} + \frac{(\rho_{2,0} + \rho_{2,1}) - (\rho_{1,0} + \rho_{1,1})}{2 \Delta t} = 0 \quad (7)$$

a) Solución de las ecuaciones (6) y (7) mediante la forma cuadrática

Para determinar los valores de las variables $\rho_{2,1}$ y $V_{2,1}$ definimos como:

$$V_c = \frac{\Delta x}{\Delta t}$$

$$K = \rho V_{1,0} + \frac{V_c}{2} \left[\rho_{2,0} - (\rho_{1,0} + \rho_{1,1}) \right]$$

$$G = \frac{R}{4M} \left[Z \rho_{1,0} (3T_0 + T_1) + (Z \rho_{1,1} + Z \rho_{2,0}) (T_0 - T_1) \right]$$

$$+ \rho V_{1,0}^2 + \left[\rho V_{2,0} - (\rho V_{1,0} + \rho V_{1,1}) \right] \frac{V_c}{2} +$$

$$\frac{f \Delta x}{8D} (\rho V_{1,0}^2 + \rho V_{1,1}^2 + \rho V_{2,0}^2) + \frac{g}{4} (\rho_{1,1} + \rho_{1,0} + \rho_{2,0}) (h_0 - h_1)$$

y haciendo

$$a = \left(\frac{f \Delta x}{8D} - 1 \right) K$$

$$b = \left(K \frac{V_c}{2} + G \right)$$

$$c = K \left[\frac{g}{4} (h_0 - h_1) - \frac{R Z_{1,0}}{4M} (3T_1 + T_0) \right] - G \frac{V_c}{2}$$

entonces la velocidad $V_{2,1}$ esta dada por

$$a v_{2,1}^2 + b v_{2,1} + c = 0$$

$$v_{2,1} = \frac{-b \pm \sqrt{b^2 - 4ac}}{2a}$$

Solamente la raíz positiva tiene un significado físico real

Por otro lado:

$$\rho_{2,1} = \frac{K}{v_{2,1} - v_c/2}$$

b) Solución de las ecuaciones (6) y (7) mediante la forma cúbica

De la ecuación (7) despejando $\rho_{2,1}$ y haciendo

$$v_c = \frac{\Delta x}{\Delta t}$$

$$\rho v_{1,0} - \rho v_{2,1} + \frac{\Delta x}{2\Delta t} (\rho_{2,0} + \rho_{2,1}) - \frac{\Delta x}{2\Delta t} (\rho_{1,0} + \rho_{1,1}) = 0$$

$$\rho v_{1,0} - \rho v_{2,1} + \frac{v_c}{2} \rho_{2,0} + \frac{v_c}{2} \rho_{2,1} - \frac{v_c}{2} \rho_{1,0} - \frac{v_c}{2} \rho_{1,1} = 0$$

$$(v_{2,1} - \frac{Vc}{2}) \rho_{2,1} = \rho v_{1,0} - \frac{Vc}{2} (\rho_{1,0} + \rho_{1,1} - \rho_{2,0})$$

$$\rho_{2,1} = \frac{\rho v_{1,0} - \frac{Vc}{2} (\rho_{1,0} + \rho_{1,1} - \rho_{2,0})}{v_{2,1} - \frac{Vc}{2}}$$

$$\text{si } L = \rho v_{1,0} - \frac{Vc}{2} (\rho_{1,0} + \rho_{1,1} - \rho_{2,0})$$

$$\rho_{2,1} = \frac{L}{v_{2,1} - \frac{Vc}{2}} \quad (8)$$

La ecuación (6) puede desarrollarse como sigue:

$$\begin{aligned} & \frac{R}{M} (z \rho_{2,1}) \left(\frac{T_0 - T_1}{4} \right) - \frac{R}{M} (z \rho_{2,1}) \left(\frac{2T_1 + 2T_0}{4} \right) - \\ & - \rho v_{2,1}^2 + \frac{Vc}{2} (\rho v_{2,1}) + \left(\frac{f \Delta x}{8D} \right) (\rho v_{2,1}^2) + \frac{g}{4} (\rho_{2,1}) (h_0 - h_1) = \\ & - \frac{2R}{M} (z \rho_{1,0}) \left(\frac{T_0 + T_1}{4} \right) - \frac{R}{M} (z \rho_{1,0} + z \rho_{1,1} + z \rho_{2,0}) \left(\frac{T_0 - T_1}{4} \right) \\ & - \rho v_{1,0}^2 + \frac{Vc}{2} (\rho v_{1,0} + \rho v_{1,1} - \rho v_{2,0}) \\ & - \left(\frac{f \Delta x}{8D} \right) (\rho v_{1,0}^2 + \rho v_{1,1}^2 + \rho v_{2,0}^2) - \frac{g}{4} (\rho_{1,1} + \rho_{1,0} + \rho_{2,0}) (h_0 - h_1) \quad (9) \end{aligned}$$

por otra parte aproximando a

$$z_{2,1} = \frac{1}{1 + w' \rho_{2,1}}$$

$$w' = - \frac{R}{144 M P_C} (0.257 T - 0.533 T_C) \text{ y}$$

multiplicando este valor por ambos miembros de la ecuación

(8)

$$z_{2,1} \rho_{2,1} = \frac{L}{V_{2,1} - \frac{V_C}{2} + w'L} = z \rho_{2,1}$$

ahora sustituyendo estos valores en la ecuación (9) y desarrollando se obtiene:

$$\frac{L}{V_{2,1} - \frac{V_C}{2} + w'L} \left(-\frac{R}{4 M}\right) (3T_1 + T_0) - \frac{L V_{2,1}^2}{V_{2,1} - \frac{V_C}{2}} + \frac{V_C}{2} \left(\frac{L V_{2,1}}{V_{2,1} - \frac{V_C}{2}}\right)$$

$$+ \left(\frac{f \Delta x}{8D}\right) \left(\frac{L}{V_{2,1} - \frac{V_C}{2}}\right) V_{2,1}^2 + \frac{g}{4} \left(\frac{L}{V_{2,1} - \frac{V_C}{2}}\right) (h_0 - h_1) =$$

$$- \frac{R}{4 M} \left[(3T_0 + T_1) (z \rho_{1,0}) + (T_0 - T_1) (z \rho_{1,1}) + z \rho_{2,0} \right]$$

$$- \rho V_{1,0}^2 + \frac{V_C}{2} (\rho V_{1,0} + \rho V_{1,1} - \rho V_{2,0}) - \left(\frac{f \Delta x}{8D}\right)$$

$$(\rho V_{1,0}^2 + \rho V_{1,1}^2 + \rho V_{2,0}^2) - \frac{g}{4} (\rho_{1,1} + \rho_{1,0} + \rho_{2,0}) (h_0 - h_1)$$

Si el segundo miembro lo hacemos igual a "A"

y $E = -\frac{Vc}{2} + wL$ y mediante desarrollos algebraicos se obtiene:

$$V_{2,1}^3 + V_{2,1}^2 \left[\frac{\frac{Vc}{2} + E + \left(\frac{f\Delta x}{8D}\right)E - \frac{A}{L}}{\frac{f\Delta x}{8D} - 1} \right]$$

$$+ V_{2,1} \left[\frac{\frac{g}{4} (h_0 - h_1) + \frac{Vc}{2} E - \frac{R}{4M} (3T_1 + T_0) + \frac{A}{L} \left(\frac{Vc}{2} - E\right)}{\frac{f\Delta x}{8D} - 1} \right]$$

$$+ \frac{\frac{Vc}{2} \left(\frac{R}{4M}\right) (3T_1 + T_0) + \left[\frac{g}{4} (h_0 - h_1) + \frac{A Vc}{2L}\right] E}{\frac{f\Delta x}{8D} - 1} = 0 \quad (10)$$

Si hacemos

$$p = \frac{\frac{Vc}{2} + E + \left(\frac{f\Delta x}{8D}\right) E - \frac{A}{L}}{\frac{f\Delta x}{8D} - 1}$$

$$q = \frac{\frac{g}{4} (h_0 - h_1) + \frac{Vc}{2} E - \frac{R}{4M} (3T_1 + T_0) + \frac{A}{L} \left(\frac{Vc}{2} - E\right)}{\frac{f\Delta x}{8D} - 1}$$

$$r = \frac{\frac{Vc}{2} \left(\frac{R}{4M}\right) (3T_1 + T_0) + \left[\frac{g}{4} (h_0 - h_1) + \frac{A Vc}{2L}\right] E}{\frac{f\Delta x}{8D} - 1}$$

y la ecuación (10) se puede escribir como

$$v_{2,1}^3 + p v_{2,1}^2 + q v_{2,1} + r = 0$$

Solamente una de las tres raíces de la ecuación cúbica será una solución física representativa de las ecuaciones diferenciales (4) y (5). Conocida $v_{2,1}$ se puede determinar $\rho_{2,1}$.

Los valores de ρ y V_x en el punto (2,2) pueden determinarse en la misma forma y así sucesivamente hasta el punto (2,1). Terminados los puntos en la diagonal dos, se procede al cálculo de los puntos de la diagonal tres hasta el tiempo límite deseado.

2.- SOLUCION MEDIANTE FUNCIONES DE TRANSFERENCIA.

En forma práctica se ha observado que en un flujo de gas, la propagación de onda transitoria a través de una sección de la tubería, es esencialmente de modelo lineal. Linealidad significa que la onda no sufre distorsión en su amplitud. Específicamente, las relaciones lineales entre las variables son ecuaciones algebraicas, siendo sus coeficientes los parámetros de la sección de la tubería que representan las funciones de transferencia.

a) DEMOSTRACION DE LINEALIDAD.

Un conjunto de funciones de transferencia lineales, pueden describir la propagación de las variaciones de presión y gasto a través de una sección de tubería. Esta aseveración es correcta si las dos variables sobre las cuales -- las funciones de transferencia operan, se comportan esencialmente lineales. Para probar este concepto, la American Gas Association, Inc. (2) efectuó pruebas en la mayoría de las tuberías que operan en la Industria petrolera, consistentes en excitar el inicio de una tubería con una variación senoidal y observar la no linealidad o desviación en el lado opuesto. La forma de onda resultante fué analizada tomando sus Series de -- Fourier hasta el treceavo término con una función de excitación de onda cuadrada con período de doce horas.

La cantidad de energía que ha sido transferida a otras frecuencias con respecto a la frecuencia de entrada fué tomada como una medida de la distorsión. La mayor distorsión dentro de la tubería depende del más alto valor del Factor de fricción "f", de la longitud más grande de tubería y de los valores más reducidos del diámetro y presión media.

Finalmente, calculada la distorsión incluyendo todos los parámetros desfavorables, se observó que los valores resultantes fueron inferiores al 5%. Sobre esta base se concluye la existencia de linealidad en las variaciones de presión y gasto.

**b) SERIES DE FOURIER PARA REPRESENTAR LA VARIACION DE GASTO
CONTRA TIEMPO.**

La técnica de funciones de transferencia, requiere extensivo uso de las series de Fourier, porque la naturaleza de la presión y el gasto son variables registradas como función del tiempo, que satisfacen todas las condiciones necesarias para la expansión por series de Fourier excepto una, que es la condición de periodicidad. El error causado por periodicidad, se contrarresta con el aumento del número de términos que se tomen en la serie.

La representación de una función general $F(t)$, por el uso de series de Fourier es como sigue:

$$F(t) = B_0 + \sum_{n=1}^{n=\infty} \left[A_n \operatorname{sen} \left(\frac{2\pi n}{\theta} t \right) + B_n \operatorname{cos} \left(\frac{2\pi n}{\theta} t \right) \right] \quad (11)$$

donde

$$B_0 = \frac{1}{\theta} \int_{-\theta/2}^{\theta/2} F(t) dt$$

$$A_n = \frac{2}{\theta} \int_{-\theta/2}^{\theta/2} F(t) \operatorname{sen} \left(\frac{2\pi n}{\theta} t \right) dt$$

$$B_n = \frac{2}{\theta} \int_{-\theta/2}^{\theta/2} F(t) \operatorname{cos} \left(\frac{2\pi n}{\theta} t \right) dt$$

El centro de los datos en el intervalo de tiempo es tomado como $t = 0$

A continuación se ilustrará con un ejemplo; suponiendo un gasto en función del tiempo como sigue:

$$Q(t) = \begin{cases} 50 \text{ MMSCFD de } 11:00 \text{ a } 11:55 \text{ A.M.} \\ \text{incremento lineal de } 50 \text{ MMSCFD} \\ \text{a } 100 \text{ MMSCFD de } 11:55 \text{ A.M. a } 12:05 \text{ P.M.} \\ 100 \text{ MMSCFD de } 12:05 \text{ P.M. a } 1 \text{ P.M.} \end{cases}$$

y se representará por series de Fourier

Si t se expresa en minutos, $\theta = 120$ min. Las condiciones de frontera se expresan matemáticamente como sigue:

$$Q(t) = \begin{cases} 50 & \text{para } -60 \leq t \leq -5 \\ 75 + 5t & \text{para } -5 < t < 5 \\ 100 & \text{para } 5 \leq t \leq 60 \end{cases}$$

representación en series de Fourier

$$Q(t) = B_0 + \sum_{n=1}^{\infty} \left[A_n \operatorname{sen} \left(\frac{2\pi n}{120} \right) t + B_n \operatorname{cos} \left(\frac{2\pi n}{120} \right) t \right] \quad (12)$$

$$B_0 = \frac{1}{120} \int_{-60}^{-5} 50 \, dt + \frac{1}{120} \int_{-5}^5 (75 + 5t) \, dt + \frac{1}{120} \int_5^{60} 100 \, dt$$

$$B_0 = 75 \text{ M M S C F D}$$

$$A_n = \frac{2}{120} \int_{-60}^{-5} 50 \operatorname{sen} \left(\frac{2\pi n}{120} \right) t \, dt + \frac{2}{120} \int_{-5}^5 (75+5t) \operatorname{sen} \left(\frac{2\pi n}{120} \right) t \, dt +$$

$$+ \frac{2}{120} \int_5^{60} 100 \operatorname{sen} \left(\frac{2\pi n}{120} \right) t \, dt$$

$$A_n = \frac{1}{60} \left\{ 50 \left[\frac{-\cos \left(\frac{2\pi n}{120} \right) t}{\frac{2\pi n}{120}} \right]_{-60}^{-5} \right\} + \frac{1}{60} \left\{ 75 \left[\frac{-\cos \left(\frac{2\pi n}{120} \right) t}{\frac{2\pi n}{120}} \right]_{-5}^5 \right. \\ \left. + \left[\frac{5 \operatorname{sen} \left(\frac{2\pi n}{120} \right) t}{\left(\frac{2\pi n}{120} \right)^2} \right]_{-5}^5 \left[\frac{-5t \cos \left(\frac{2\pi n}{120} \right) t}{\frac{2\pi n}{120}} \right]_{-5}^5 \right\} + \frac{1}{60} \left\{ 100 \left[\frac{-\cos \left(\frac{2\pi n}{120} \right) t}{\frac{2\pi n}{120}} \right]_{-5}^{60} \right\}$$

desarrollando

$$A_n = -\frac{50}{\pi n} \cos \pi n + \frac{600}{\pi^2 n^2} \operatorname{sen} \frac{\pi n}{12}$$

$$B_n = \frac{1}{60} \left\{ \int_{-60}^{-5} 50 \cos \left(\frac{2\pi n}{120} \right) t \, dt + \int_{-5}^5 (75 + 5t) \cos \left(\frac{2\pi n}{120} \right) t \, dt \right. \\ \left. + \int_5^{60} 100 \cos \left(\frac{2\pi n}{120} \right) t \, dt \right\}$$

$$B_n = \frac{1}{60} \left\{ \left[\frac{50 \operatorname{sen} \left(\frac{2\pi n}{120} \right) t}{\frac{2\pi n}{120}} \right]_{-60}^{-5} + \left[\frac{75 \operatorname{sen} \left(\frac{2\pi n}{120} \right) t}{\frac{2\pi n}{120}} \right]_{-5}^5 + \left[\frac{5 \cos \left(\frac{2\pi n}{120} \right) t}{\left(\frac{2\pi n}{120} \right)^2} \right]_{-5}^5 \right. \\ \left. + \int_5^{60} 100 \cos \left(\frac{2\pi n}{120} \right) t \, dt \right\}$$

$$+ \left[\frac{5t \operatorname{sen}\left(\frac{2\pi n}{120}\right)t}{\frac{2\pi n}{120}} \right]_{-5}^5 + \left[\frac{100 \operatorname{sen}\left(\frac{2\pi n}{120}\right)t}{\frac{2\pi n}{120}} \right]_{5}^{60}$$

desarrollando

$$B_n = \frac{1}{60} \left[150 \operatorname{sen}(\pi n) \right] = B_n = 0$$

Sustituyendo en la ecuación (12)

$$Q(t) = 75 + \sum_{n=1}^{\infty} \left[\frac{600}{\pi^2 n^2} \operatorname{sen}\left(\frac{\pi n}{12}\right) - \frac{50}{\pi n} \cdot (-1)^n \right] \operatorname{sen}\left(\frac{\pi n}{60}\right)t \quad (13)$$

Para 5 términos los coeficientes de la serie de Fourier

n	A_n	B_n
1	31.65	0
2	-0.36	0
3	10.09	0
4	-0.69	0
5	5.53	0

La figura 4 muestra cada una de las cinco armónicas representadas por la ecuación (13) y por superposición la suma de las cinco curvas genera la curva sólida, la cual

SERIE DE FOURIER PARA UNA FUNCION $Q(t)$

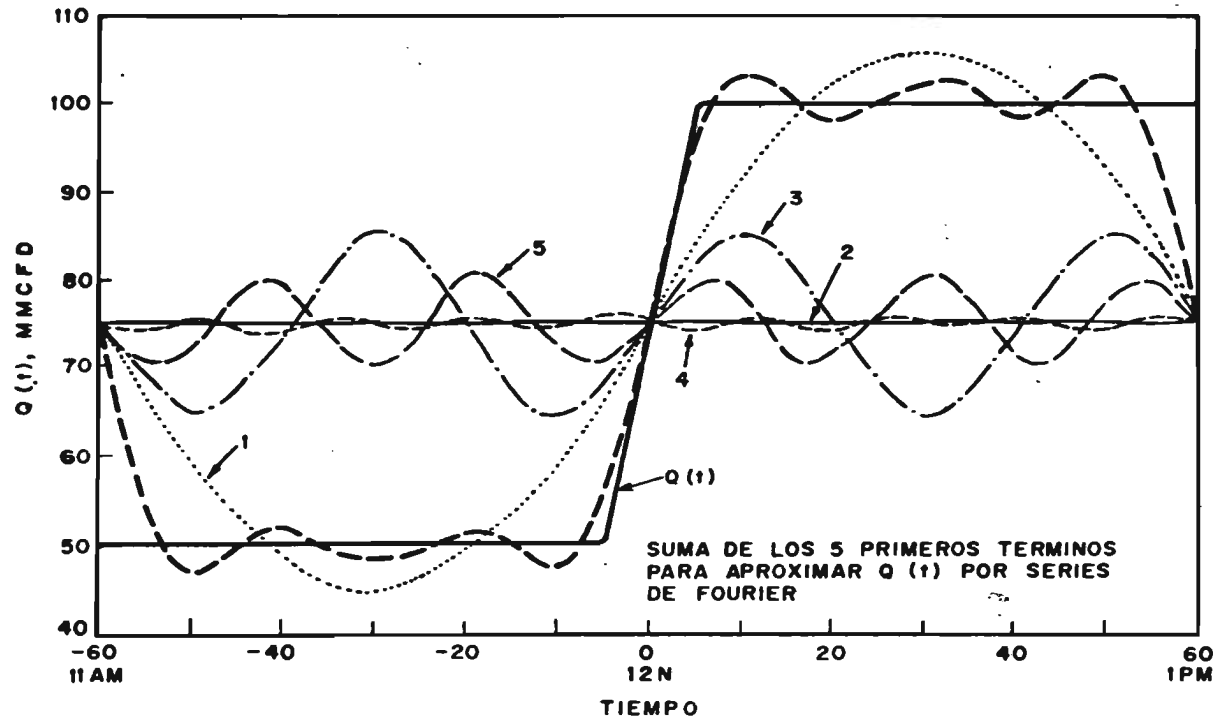


Fig. 4

se aproxima a la función $Q(t)$. y se ajustará más en cuanto aumentan el número de términos de la serie de la ecuación -- (13).

c) CONCEPTO DE FUNCIONES DE TRANSFERENCIA.

Las funciones de transferencia lineal, son muy útiles para describir como una onda senoidal cambia entre la entrada y la salida del componente analizado. La razón de escoger esta representación, es la de aprovechar la aplicación de esta técnica a sistemas de circuitos eléctricos, que por analogía se pueden aplicar a sistemas de tuberías .

A continuación se expondrá el ejemplo de un circuito eléctrico.

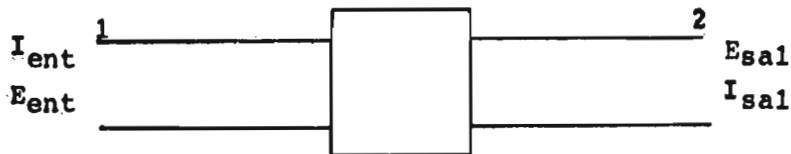


Fig. 5

La ley de Ohm para circuitos de corriente alterna declara: La caída de voltaje a través de un elemento del circuito eléctrico es igual al producto de la impedancia del elemento y la corriente fluyendo a través de el

$$E = ZI$$

Notamos que la ecuación es una relación alge-

bráica lineal entre E e I . Z es el coeficiente de I y es considerado como función de transferencia. En general ambos E e I deben ser representados por amplitud y fase, es decir como números complejos.

En la fig. 5 se tiene el sistema eléctrico correspondiente a la sección de la tubería y se puede establecer el siguiente sistema de ecuaciones

$$E_{ent} = Z_{21} I_{sal} + Z_{22} E_{sal}$$

$$I_{ent} = Z_{11} I_{sal} + Z_{12} E_{sal}$$

La evaluación de los coeficientes se ejecuta bajo dos condiciones

1.- $E_{sal} = 0$

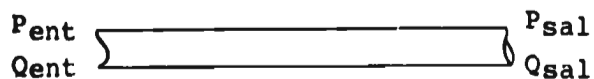
$$\left. \begin{aligned} Z_{11} &= \frac{I_{ent}}{I_{sal}} \\ Z_{21} &= \frac{E_{ent}}{I_{sal}} \end{aligned} \right\} \text{con las dos terminales cerradas (2)}$$

2.- $I_{sal} = 0$

$$\left. \begin{aligned} Z_{12} &= \frac{I_{ent}}{E_{sal}} \\ Z_{22} &= \frac{E_{ent}}{E_{sal}} \end{aligned} \right\} \text{con las dos terminales abiertas (2)}$$

conocidos los coeficientes de Z 's, cualquier combinación de dos de los cuatro valores (E_{ent} , E_{sal} , I_{ent} , I_{sal}) pueden conocerse y dos pueden ser calculadas.

La tubería es tratada en idéntica forma, la presión corresponde al voltaje y el gasto a la corriente eléctrica



y el sistema de ecuaciones se establece como sigue:

$$Q(t)_{ent} = Y_{11}Q(t)_{sal} + Y_{12} P(t)_{sal} \quad (I)$$

$$P(t)_{ent} = Y_{21}Q(t)_{sal} + Y_{22} P(t)_{sal} \quad (II)$$

Las Y 's corresponden a las Z 's y se evalúan en la misma forma

para $P_{sal} = 0$

$$Q(t)_{sn} = A_{sn} \sin \frac{2\pi nt}{\theta} \quad (14)$$

El subíndice "n" identifica al componente de n ésima frecuencia. $Q(t)_{En}$ puede ser determinada ajustando la siguiente ecuación

$$Q(t)_{En} = a_n \cos \frac{2\pi nt}{\theta} + b_n \sin \frac{2\pi nt}{\theta}$$

$$Q(t)E_n = A_{En} \operatorname{sen} \left(\frac{2\pi nt}{\theta} + \phi_n \right) \quad (15)$$

$$\phi_n = \tan^{-1} \frac{a_n}{b_n}, \quad A_{En} = (a_n^2 + b_n^2)^{1/2}$$

multiplicando las ecuaciones (14) y (15) por $i = \sqrt{-1}$

$$i Q(t)_{sn} = i A_{sn} \operatorname{sen} \left(\frac{2\pi nt}{\theta} \right)$$

$$i Q(t)E_n = i A_{En} \operatorname{sen} \left(\frac{2\pi nt}{\theta} + \phi_n \right)$$

estas dos ecuaciones son respectivamente la parte imaginaria de

$$i Q(t)_{sn} = I \left[A_{sn} e^{i \left(\frac{2\pi nt}{\theta} \right)} \right]$$

$$i Q(t)E_n = I \left[A_{En} e^{i \left(\frac{2\pi nt}{\theta} + \phi_n \right)} \right]$$

La función de transferencia Y_{11} es obtenida mediante la relación de $i Q_{En}$ y $i Q_{sn}$

$$Y_{11n} = \frac{A_{En} e^{i \left(\frac{2\pi nt}{\theta} + \phi_{11n} \right)}}{A_{sn} e^{i \left(\frac{2\pi nt}{\theta} \right)}}$$

$$Y_{11n} = \frac{A_{En}}{A_{sn}} e^{i \phi_{11n}} = \left| Y_{11n} \right| e^{i \phi_{11n}} \quad (16)$$

El mismo procedimiento se sigue para obtener Y_{21n} excepto que es la relación de dos números complejos de --
 quienes, partes imaginarias son $i P_{en}$ y $i Q_{sn}$.

Ahora la especificación de las condiciones de frontera es cambiada y se tiene que

$$Q_{sal} = 0$$

$$P(t)_{sn} = B_{sn} \operatorname{sen} \frac{2n\pi t}{\theta}$$

$$Y_{12n} = \frac{i Q(t)_{En}}{i P(t)_{sn}}$$

$$Y_{22n} = \frac{i P(t)_{En}}{i P(t)_{sn}}$$

"Aplicación de las funciones de transferencia a una sección de tubería ".

Dadas las funciones $Q(t)_{sal}$, $P(t)_{sal}$ y las funciones de transferencia calcular $Q(t)_{ent}$. Expandiendo en Series de Fourier

$$Q(t)_{sal} = \sum_{n=1}^{\infty} \left(a_n \cos \frac{2n\pi t}{\theta} + b_n \operatorname{sen} \frac{2n\pi t}{\theta} \right) \quad (17)$$

$$P(t)_{\text{sal}} = \sum_{n=1}^{\infty} \left(C_n \cos \frac{2\pi n t}{\theta} + d_n \sin \frac{2\pi n t}{\theta} \right) \quad (18)$$

$$\text{Si } A_{sn} = (a_n^2 + b_n^2)^{1/2} \quad \text{y} \quad B_{sn} = (c_n^2 + d_n^2)^{1/2}$$

$$\lambda_n = \tan^{-1} \frac{a_n}{b_n} ; \quad \mu_n = \tan^{-1} \frac{c_n}{d_n}$$

las expresiones (17) y (18) se pueden escribir como:

$$Q(t)_{\text{sal}} = \sum_{n=1}^{\infty} A_{sn} \sin \left(\frac{2\pi n t}{\theta} + \lambda_n \right)$$

$$P(t)_{\text{sal}} = \sum_{n=1}^{\infty} B_{sn} \sin \left(\frac{2\pi n t}{\theta} + \mu_n \right)$$

Ahora si $i Q(t)_{\text{sal}}$ es simplemente la parte imaginaria de

$$\sum_{n=1}^{\infty} A_{sn} e^{i \left(\frac{2\pi n t}{\theta} + \lambda_n \right)}$$

$$i Q(t)_{\text{sal}} = I \left[\sum_{n=1}^{\infty} A_{sn} e^{i \left(\frac{2\pi n t}{\theta} + \lambda_n \right)} \right] \quad (19)$$

de igual manera

$$i P(t)_{sal} = I \left[\sum_{n=1}^{\infty} B_{sn} e^{i \left(\frac{2\pi n t}{\theta} + \mu n \right)} \right] \quad (20)$$

Sustituyendo las ecuaciones (19) y (20) en la ecuación I

$$i Q(t)_{ent} = I \left\{ \sum_{n=1}^{\infty} \left[Y_{11} A_{sn} e^{i \left(\frac{2\pi n t}{\theta} + \lambda n \right)} + Y_{12n} B_{sn} e^{i \left(\frac{2\pi n t}{\theta} + \mu n \right)} \right] \right\}$$

y considerando la ecuación (16)

$$i Q(t)_{ent} = I \left\{ \sum_{n=1}^{\infty} \left[\left| Y_{11} \right| A_{sn} e^{i \left(\frac{2\pi n t}{\theta} + \phi_{11n} + \lambda n \right)} + \left| Y_{12} \right| B_{sn} e^{i \left(\frac{2\pi n t}{\theta} + \phi_{12n} + \mu n \right)} \right] \right\} \quad (21)$$

Si se hace

$$N_n = \left| Y_{11n} \right| A_{sn} \quad ; \quad M_n = \left| Y_{12} \right| B_{sn}$$

$$\gamma_n = \phi_{11n} + \lambda n \quad ; \quad \epsilon_n = \phi_{12n} + \mu n$$

sustituyendo y transformando la ecuación (21)

$$Q(t)_{ent} = \sum_{n=1}^{\infty} \left[N_n \operatorname{sen} \left(\frac{2\pi n t}{\theta} + \gamma_n \right) + M_n \operatorname{sen} \left(\frac{2\pi n t}{\theta} + \epsilon_n \right) \right]$$

$$Q(t)_{ent} = \sum_{n=1}^{\infty} \left[N_n \left(\text{sen } \frac{2\pi nt}{\theta} \cos \gamma_n + \cos \frac{2\pi nt}{\theta} \text{sen } \gamma_n \right) \right. \\ \left. + M_n \left(\text{sen } \frac{2\pi nt}{\theta} \cos \epsilon_n + \cos \frac{2\pi nt}{\theta} \text{sen } \epsilon_n \right) \right]$$

$$Q(t)_{ent} = \sum_{n=1}^{\infty} \left[(N_n \cos \gamma_n + M_n \cos \epsilon_n) \text{sen } \frac{2\pi nt}{\theta} \right. \\ \left. + (N_n \text{sen } \gamma_n + M_n \text{sen } \epsilon_n) \cos \frac{2\pi nt}{\theta} \right]$$

si se hace

$$H_n = N_n \cos \gamma_n + M_n \cos \epsilon_n$$

$$J_n = N_n \text{sen } \gamma_n + M_n \text{sen } \epsilon_n$$

$$Q(t)_{ent} = \sum_{n=1}^{\infty} (H_n^2 + J_n^2)^{1/2} \text{sen} \left(\frac{2\pi nt}{\theta} + \tan^{-1} \frac{J_n}{H_n} \right)$$

$P(t)_{ent}$ es determinado por un procedimiento análogo.

"Parámetros dependientes de las funciones de transferencia.

1.- Características de la línea.

- a) Longitud. Fuertemente dependiente
- b) Diámetro. Moderadamente dependiente
- c) Factor de fricción. Moderadamente dependiente.

2.- Características del medio ambiente.

- a) Temperatura del gas. Debilmente dependiente
- b) Perfil de elevación. Debilmente dependiente

3.- Características del gas.

- a) Gravedad o peso molecular. Debilmente dependiente

4.- Condiciones medias de flujo.

- a) Presión. Fuertemente dependiente
- b) Gasto. Fuertemente dependiente

5.- Período transitorio. Fuertemente dependiente.

3.- METODO DE LAS CARACTERISTICAS.

El método consiste en expresar las ecuaciones diferenciales, en forma de diferencias finitas, para establecer un conjunto de dos ecuaciones con dos incógnitas y resolverlas simultáneamente

DESARROLLO:

La ecuación de cantidad de movimiento quedó expresada como:

$$\frac{\partial p}{\partial x} + \frac{1}{A} \frac{\partial w}{\partial t} + \frac{P g}{V_s^2} \operatorname{sen} \alpha + \frac{f V_s^2 w^2}{2D A^2 P} = 0 \quad (2)$$

la ecuación anterior en régimen permanente

$$\frac{dP}{dx} + \frac{P g}{V_s^2} \operatorname{sen} \alpha + \frac{f V_s^2 w^2}{2D A^2 P} = 0$$

$$dP + \left(\frac{P g}{V_s^2} \operatorname{sen} \alpha + \frac{f V_s^2 w^2}{2D A^2 P} \right) dx = 0 \quad \text{integrando}$$

$$\int_{P_1}^{P_2} \frac{P dP}{\frac{P g}{V_s^2} \operatorname{sen} \alpha + \frac{f V_s^2 w^2}{2D A^2}} = - \int_{x_1}^{x_2} dx$$

$$u = \frac{P g \operatorname{sen} \alpha}{V_S^2} + \frac{f V_S^2 w^2}{2D A^2}$$

$$du = \frac{2 P dP g \operatorname{sen} \alpha}{V_S^2}$$

$$\frac{\frac{2}{V_S^2}}{2g \operatorname{sen} \alpha} \left(\frac{P_2}{P_1} \right)^{\frac{2 P dP g \operatorname{sen} \alpha}{V_S^2}} = - \Delta x$$

$$\frac{P_2^2}{g \operatorname{sen} \alpha} + \frac{f V_S^2 w^2}{2D A^2}$$

$$\left[\operatorname{Ln} \left(\frac{P_2^2}{V_S^2} \operatorname{sen} \alpha + \frac{f V_S^2 w^2}{2D A^2} \right) \right]_{P_1}^{P_2} = - \frac{2g \operatorname{sen} \alpha}{V_S^2} \Delta x$$

$$\operatorname{Ln} \left[\frac{\frac{P_2^2}{V_S^2} \operatorname{sen} \alpha + \frac{f V_S^2 w^2}{2D A^2}}{\frac{P_1^2}{V_S^2} \operatorname{sen} \alpha + \frac{f V_S^2 w^2}{2D A^2}} \right] = - \frac{2g \operatorname{sen} \alpha}{V_S^2} \Delta x$$

Si

$$S = \frac{2 \Delta x g \operatorname{sen} \alpha}{V_S^2}$$

$$\frac{\frac{P_2^2 g \operatorname{sen} \alpha}{V_s^2} + \frac{f V_s^2 w^2}{2D A^2}}{\frac{P_1^2 g \operatorname{sen} \alpha}{V_s^2} + \frac{f V_s^2 w^2}{2D A^2}} = e^{-s}$$

$$e^s = \frac{\frac{P_1^2 g \operatorname{sen} \alpha}{V_s^2} + \frac{f V_s^2 w^2}{2D A^2}}{\frac{P_2^2 g \operatorname{sen} \alpha}{V_s^2} + \frac{f V_s^2 w^2}{2D A^2}}$$

$$\frac{P_2^2 g \operatorname{sen} \alpha}{V_s^2} e^s + \frac{f V_s^2 w^2}{2D A^2} e^s = \frac{P_1^2 g \operatorname{sen} \alpha}{V_s^2} + \frac{f V_s^2 w^2}{2D A^2}$$

$$P_2^2 e^s + (e^s - 1) \frac{f V_s^2 w^2}{DA^2} \cdot \frac{V_s^2 \Delta x}{2g \operatorname{sen} \alpha \Delta x} = P_1^2$$

$$P_2^2 (e^s - 1) + \frac{(e^s - 1)}{s} \frac{f V_s^2 w^2 \Delta x}{A^2 D} = P_1^2 - P_2^2$$

$$\frac{P_2^2}{P_1^2 + P_2^2} (e^s - 1) + \frac{(e^s - 1)}{s} \frac{f V_s^2 w^2 \Delta x}{(P_1^2 + P_2^2) DA^2} = P_1^2 - P_2^2 \quad (22)$$

Donde el término de la izquierda es el valor de la integral de

$$\left(\frac{P_g}{V_s^2} \operatorname{sen} \alpha + \frac{f V_s^2 w^2}{2D A^2 P} \right) dx \quad \text{y el}$$

segundo miembro la integral de dP

Por otra parte reordenando las ecuaciones de continuidad y movimiento

$$L_2 = \frac{V_s^2}{A} \frac{\partial w}{\partial x} + \frac{\partial P}{\partial t} = 0$$

$$L_1 = \frac{1}{A} \frac{\partial w}{\partial t} + \frac{\partial P}{\partial x} + \frac{P_g}{V_s^2} \operatorname{sen} \alpha + \frac{f V_s^2 w^2}{2D A^2 P} = 0$$

combinando las ecuaciones anteriores en la siguiente forma:

$$L = L_1 + \lambda' L_2 = \frac{1}{A} \left[\frac{\partial w}{\partial t} + \lambda' V_s^2 \frac{\partial w}{\partial x} \right] + \lambda' \left[\frac{\partial P}{\partial t} + \frac{1}{\lambda'} \frac{\partial P}{\partial x} \right] + \frac{P_g}{V_s^2} \operatorname{sen} \alpha + \frac{f V_s^2 w^2}{2D A^2 P} = 0$$

si se asigna a λ' los siguientes valores

$$\frac{dx}{dt} = \lambda' V_s^2 = \frac{1}{\lambda'}$$

sustituyendo en

la ecuación anterior

$$L = \frac{1}{A} \left[\frac{\partial w}{\partial t} + \frac{dx}{dt} \frac{\partial w}{\partial x} \right] + \lambda' \left[\frac{\partial P}{\partial t} + \frac{\partial P}{\partial x} \frac{dx}{dt} \right] + \frac{Pq}{V_s^2} \text{sen } \alpha + \frac{f V_s^2 w^2}{2 D A^2 P} = 0 \quad (23)$$

recordando que:

$$dw = \frac{\partial w}{\partial x} dx + \frac{\partial w}{\partial t} dt \Rightarrow \frac{dw}{dt} = \frac{\partial w}{\partial x} \frac{dx}{dt} + \frac{\partial w}{\partial t} = V_s \frac{\partial w}{\partial x} + \frac{\partial w}{\partial t}$$

$$dp = \frac{\partial P}{\partial x} dx + \frac{\partial P}{\partial t} dt \Rightarrow \frac{dp}{dt} = \frac{\partial P}{\partial x} \frac{dx}{dt} + \frac{\partial P}{\partial t} = V_s \frac{\partial P}{\partial x} + \frac{\partial P}{\partial t}$$

sustituyendo en la ecuación (23)

$$L = \frac{1}{A} \frac{dw}{dt} + \lambda' \frac{dP}{dt} + \frac{Pq}{V_s^2} \text{sen } \alpha + \frac{f V_s^2 w^2}{2 D A^2 P} = 0 \quad (24)$$

como

$$\lambda' V_s^2 = \frac{1}{\lambda'} \Rightarrow \lambda'^2 = \frac{1}{V_s^2} \Rightarrow \lambda' = \pm \frac{1}{V_s}$$

y

$$\frac{dx}{dt} = \frac{1}{\lambda'} \Rightarrow \frac{dx}{dt} = \pm V_s$$

sustituyendo el valor de λ' se obtiene

para $\frac{dx}{dt} = V_S$

$$\frac{1}{A} \frac{dw}{dt} + \frac{1}{V_S} \frac{dP}{dt} + \frac{Pq}{V_S^2} \text{sen } \alpha + \frac{f V_S^2 w^2}{2D A^2 P} = 0 \quad (25)$$

para $\frac{dx}{dt} = -V_S$

$$\frac{1}{A} \frac{dw}{dt} - \frac{1}{V_S} \frac{dP}{dt} + \frac{Pq}{V_S^2} \text{sen } \alpha + \frac{f V_S^2 w^2}{2D A^2 P} = 0 \quad (26)$$

Las ecuaciones (25) y (26) se pueden expresar

como:

$$\frac{1}{A} \frac{dx}{dt} dw + \frac{1}{V_S} \frac{dx}{dt} dP + \left(\frac{Pq}{V_S^2} \text{sen } \alpha + \frac{f V_S^2 w^2}{2D A^2 P} \right) dx = 0$$

$$\frac{V_S}{A} dw + dP + \left(\frac{Pq}{V_S^2} \text{sen } \alpha + \frac{f V_S^2 w^2}{2D A^2 P} \right) dx = 0$$

de acuerdo con la ecuación (22) y aplicando diferencias finitas entre los puntos 1 y 3 se obtiene:

$$P_3 - P_1 + \frac{V_S}{A} (w_3 - w_1) + \frac{f V_S^2 w^2 \Delta x}{(P_1 + P_3) D A^2} \left(\frac{e^s - 1}{s} \right) + \frac{P_3^2}{P_3 + P_1} (e^s - 1) = 0 \quad (27)$$

donde P_3 y w_3 son la presión y el gasto en el tiempo $t + \Delta t$

$$w^2 = w \cdot |w| = \frac{w_3 |w_3| + w_1 |w_1|}{2}$$

de igual forma la ecuación (26) para los puntos 3 y 2

$$P_3 - P_2 - \frac{V_S}{A} (w_3 - w_2) + \frac{f V_S^2 w^2 \Delta x}{(P_2 + P_3) D A^2} \left(\frac{e^S - 1}{s} \right) + \frac{P_3^2}{P_3 + P_2} (e^S - 1) = 0 \quad (28)$$

Finalmente las ecuaciones del modelo quedan

$$C^+ \left\{ P_3^2 - P_1^2 + \frac{V_S}{A} (w_3 - w_1) (P_3 + P_1) + \frac{f V_S^2 \Delta x}{2 D A^2} \left(\frac{e^S - 1}{s} \right) (w_3 |w_3| + w_1 |w_1|) + P_3^2 (e^S - 1) = 0 \right. \quad (29)$$

$$C^- \left\{ P_3^2 - P_2^2 - \frac{V_S}{A} (w_3 - w_2) (P_3 + P_2) + \frac{f V_S^2 \Delta x}{2 D A^2} \left(\frac{e^S - 1}{s} \right) (w_3 |w_3| + w_2 |w_2|) + P_2^2 (e^S - 1) = 0 \right. \quad (30)$$

En la figura (6a) se considera que w y p son conocidos en los puntos 1 y 2. Por construcción la línea -- característica C^+ a través del punto 1 y la línea caracterís

tica C^- a través del punto 2 intersectan el punto 3 en el tiempo $t_0 + \Delta t$ y otra x .

Las ecuaciones (29) y (30) pueden resolverse simultáneamente por métodos iterativos por ejemplo: el de Newton Raphson para determinar los valores de w y P en el punto 3.

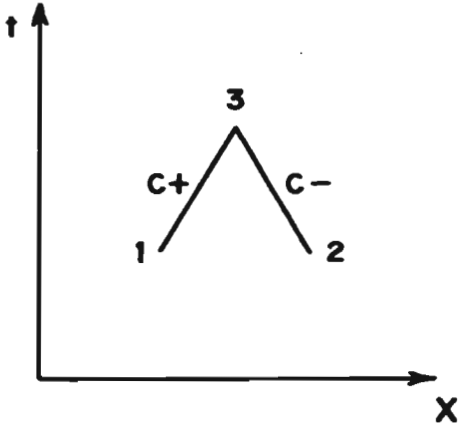
En la figura (6b) se construyen celdas de -- igual longitud de tubería Δx y tiempos iguales Δt . Si N es el número de intervalos de tubería.

$$\Delta t = \frac{L}{V_s N} \quad \text{y} \quad \Delta x = \frac{L}{N}$$

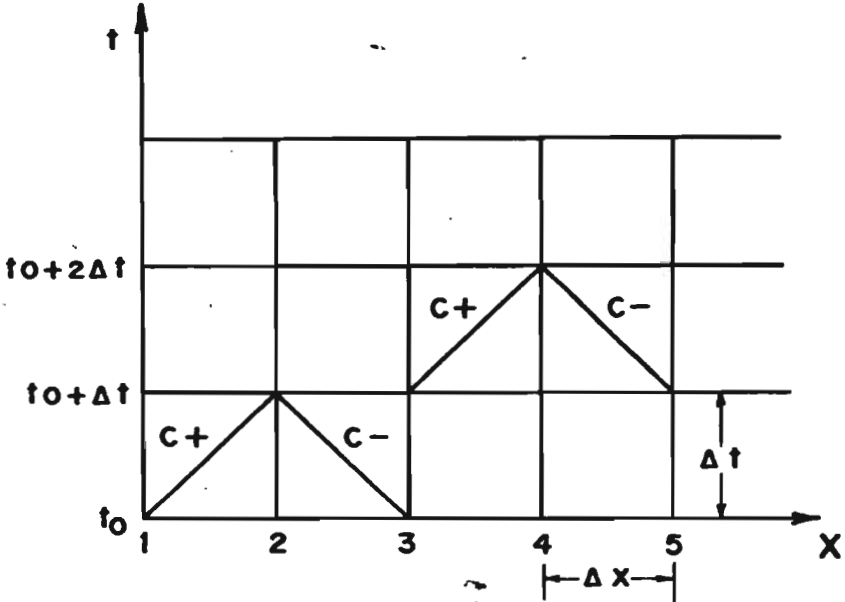
Al principio del cálculo se conocen P y w en el tiempo t_0 para las secciones 1, 2, 3... $N + 1$. P , w pueden ser calculadas para las secciones internas 2, 3, 4... N . En las secciones de frontera 1 y $N + 1$ se debe conocer un gasto o una presión.

El método de las características proporciona una solución exacta de las ecuaciones, pero tiene la desventaja de alto costo de computación para tiempos mayores de 20 hrs. y sistemas complicados. Por razones de estabilidad el incremento de tiempo no debe exceder el valor de la relación longitud de la tubería entre la velocidad acústica isotérmica.

METODO DE LAS CARACTERISTICAS



(a)



(b)

42-A

Fig. 6

4.- METODO EXPLICITO.

El método consiste en aproximar las ecuaciones generales de flujo mediante diferencias finitas aplicando la serie de Taylor.

$$P(x, t + \Delta t) = P(x, t) + \Delta t \frac{\partial P}{\partial t} + \frac{\Delta t^2}{2!} \frac{\partial^2 P}{\partial t^2} + \dots$$

despreciando los términos de la segunda derivada

$$\frac{\partial P}{\partial t} = \frac{P(x, t + \Delta t) - P(x, t)}{\Delta t} \quad (31)$$

de igual forma

$$\frac{\partial w}{\partial x} = \frac{w(x + \Delta x, t) - w(x, t)}{\Delta x} \quad (32)$$

sustituyendo (31) y (32) en la ecuación de continuidad

$$\frac{P(x, t + \Delta t) - P(x, t)}{\Delta t} + \frac{V_s^2}{A} \left[\frac{w(x + \Delta x, t) - w(x, t)}{\Delta x} \right] = 0$$

en la ecuación anterior únicamente se tiene una incógnita, que es la presión en el tiempo $t + \Delta t$ así despejando --

$P(x, t + \Delta t)$ se obtiene:

$$P(x, t + \Delta t) = P(x, t) - \frac{V_B^2}{A} \frac{\Delta t}{\Delta x} \left[w(x + \Delta x, t) - w(x, t) \right] \quad (33)$$

Así mismo para los términos de la ecuación de cantidad de movimiento se tiene:

$$P(x + \Delta x, t) = P(x, t) + \Delta x \frac{\partial P}{\partial x} + \frac{\Delta x^2}{2!} \frac{\partial^2 P}{\partial x^2} + \dots$$

$$\frac{\partial P}{\partial x} = \frac{P(x + \Delta x, t) - P(x, t)}{\Delta x}$$

$$\frac{\partial w}{\partial t} = \frac{w(x, t + \Delta t) - w(x, t)}{\Delta t}$$

además si
$$p = \frac{P(x + \Delta x, t) + p(x, t)}{2}$$

$$w^2 = w \cdot |w| = \left[\frac{w(x + \Delta x, t) + w(x, t)}{2} \right] \left| \left[\frac{w(x + \Delta x, t) + w(x, t)}{2} \right] \right|$$

sustituyendo las ecuaciones anteriores en la ecuación (2) de la conservación de cantidad de movimiento

$$\begin{aligned} & \frac{P(x + \Delta x, t) - P(x, t)}{\Delta x} + \frac{1}{A} \left[\frac{w(x, t + \Delta t) - w(x, t)}{\Delta t} \right] \\ & + \frac{g}{V_B^2} \operatorname{sen} \alpha \left[\frac{P(x + \Delta x, t) + P(x, t)}{2} \right] \end{aligned}$$

$$\frac{fV_s^2}{2DA^2} \left\{ \frac{[w(x+\Delta x, t) + w(x, t)] | [w(x+\Delta x, t) + w(x, t)]}{4 \frac{[p(x+\Delta x, t) + p(x, t)]}{2}} \right\} = 0$$

de igual manera que en la ec. de continuidad, en la expresión anterior únicamente se tiene una incógnita, que es w en el tiempo $t + \Delta t$

así despejando $w(x, t + \Delta t)$

$$\begin{aligned} w(x, t + \Delta t) - w(x, t) + \frac{A\Delta t}{\Delta x} [p(x + \Delta x, t) - P(x, t)] \\ + \frac{A \Delta t g \operatorname{sen} \alpha}{2 V_s^2} [P(x + \Delta x, t) + P(x, t)] + \\ + \frac{f V_s^2 \Delta t}{4 DA} \left\{ \frac{[w(x + \Delta x, t) + w(x, t)] | [w(x + \Delta x, t) + w(x, t)]}{P(x + \Delta x, t) + P(x, t)} \right\} = 0 \end{aligned}$$

finalmente

$$\begin{aligned} w(x, t + \Delta t) = w(x, t) - A \frac{\Delta t}{\Delta x} [P(x + \Delta x, t) - P(x, t)] \\ - \frac{g A \Delta t \operatorname{sen} \alpha}{2 V_s^2} [P(x + \Delta x, t) + P(x, t)] \\ - \frac{f V_s^2 \Delta t}{4 DA} \left\{ \frac{[w(x + \Delta x, t) + w(x, t)] | [w(x + \Delta x, t) + w(x, t)]}{P(x + \Delta x, t) + P(x, t)} \right\} = 0 \quad (34) \end{aligned}$$

40

Con este procedimiento se calculan todas las incógnitas en el tiempo $t + \Delta t$, posteriormente estas pasan a ser los datos para la siguiente etapa de tiempo.

5.- METODO IMPLICITO.

En este método también se aproxima la solución de las ecuaciones de flujo, mediante diferencias finitas de acuerdo al esquema siguiente:

$$P(x + \Delta x, t + \Delta t) = P(x, t) + \Delta x \frac{\partial P}{\partial x} + \Delta t \frac{\partial P}{\partial t} + \frac{\Delta x^2}{2!} \frac{\partial^2 P}{\partial x^2} + \frac{\Delta t^2}{2!} \frac{\partial^2 P}{\partial t^2} + \dots \quad (35)$$

$$P(x + \Delta x, t) = P(x, t) + \Delta x \frac{\partial P}{\partial x} + \frac{\Delta x^2}{2!} \frac{\partial^2 P}{\partial x^2} + \dots \quad (36)$$

$$P(x, t + \Delta t) = P(x, t) + \Delta t \frac{\partial P}{\partial t} + \frac{\Delta t^2}{2!} \frac{\partial^2 P}{\partial t^2} + \dots \quad (37)$$

sumando las ecuaciones (35) y (37), restando la ecuación (36) y despreciando los términos de la segunda derivada se obtiene:

$$P(x + \Delta x, t + \Delta t) + P(x, t + \Delta t) - P(x + \Delta x, t) = P(x, t) + 2\Delta t \frac{\partial P}{\partial t}$$

$$\frac{\partial P}{\partial t} = \frac{P(x + \Delta x, t + \Delta t) + P(x, t + \Delta t) - P(x + \Delta x, t) - P(x, t)}{2 \Delta t}$$

de igual forma

$$\frac{\partial w}{\partial x} = \frac{w(x + \Delta x, t + \Delta t) + w(x + \Delta x, t) - w(x, t + \Delta t) - w(x, t)}{2 \Delta x}$$

$$\frac{\partial P}{\partial x} = \frac{P(x + \Delta x, t + \Delta t) + P(x + \Delta x, t) - P(x, t + \Delta t) - P(x, t)}{2 \Delta x}$$

$$\frac{\partial w}{\partial t} = \frac{w(x + \Delta x, t + \Delta t) + w(x, t + \Delta t) - w(x + \Delta x, t) - w(x, t)}{2 \Delta t}$$

y se tiene que

$$w = \frac{w(x + \Delta x, t + \Delta t) + w(x, t + \Delta t) + w(x + \Delta x, t) + w(x, t)}{4}$$

$$p = \frac{P(x + \Delta x, t + \Delta t) + P(x + \Delta x, t) + P(x, t + \Delta t) + P(x, t)}{4}$$

sustituyendo las ecuaciones anteriores en las ecuaciones de continuidad y movimiento se obtiene:

ECUACION DE CONTINUIDAD.

$$\frac{P(x + \Delta x, t + \Delta t) + P(x, t + \Delta t) - P(x + \Delta x, t) - P(x, t)}{2 \Delta t} + \frac{V_S^2}{A} \left[\frac{w(x + \Delta x, t + \Delta t) + w(x + \Delta x, t) - w(x, t + \Delta t) - w(x, t)}{2 \Delta x} \right] = 0$$

$$P(x + \Delta x, t + \Delta t) + P(x, t + \Delta t) - P(x + \Delta x, t) - P(x, t) + \frac{V_S^2 \Delta t}{A \Delta x} \left[w(x + \Delta x, t + \Delta t) + w(x + \Delta x, t) - w(x, t + \Delta t) - w(x, t) \right] = 0 \quad (38)$$

ECUACION DE MOVIMIENTO.

$$\frac{p(x + \Delta x, t + \Delta t) + p(x + \Delta x, t) - p(x, t + \Delta t) - p(x, t)}{2 \Delta x} + \frac{1}{A} \left[\frac{w(x + \Delta x, t + \Delta t) + w(x, t + \Delta t) - w(x + \Delta x, t) - w(x, t)}{2 \Delta t} \right]$$

$$\left[\frac{P(x+\Delta x, t+\Delta t) + P(x, t+\Delta t) + P(x+\Delta x, t) + P(x, t)}{4} \right] \frac{g}{V_s^2} \sin \alpha$$

$$+ \frac{f V_s^2}{2 A^2 D} \frac{[w(x+\Delta x, t+\Delta t) + w(x+\Delta x, t) + w(x, t+\Delta t) + w(x, t)]^2}{16 \left[\frac{P(x+\Delta x, t+\Delta t) + P(x, t+\Delta t) + P(x+\Delta x, t) + P(x, t)}{4} \right]} = 0$$

$$32.1) P(x+\Delta x, t+\Delta t) + P(x+\Delta x, t) - P(x, t+\Delta t) - P(x, t)$$

$$+ \frac{\Delta x}{\Delta t A} [w(x+\Delta x, t+\Delta t) + w(x, t+\Delta t) - w(x+\Delta x, t) - w(x, t)]$$

$$+ \frac{g \Delta x}{2 V_s^2} [P(x+\Delta x, t+\Delta t) + P(x, t+\Delta t) + P(x+\Delta x, t) + P(x, t)] \sin \alpha$$

$$+ \frac{f V_s^2 \Delta x}{4 A^2 D} \left\{ \frac{[w(x+\Delta x, t+\Delta t) + w(x+\Delta x, t) + w(x, t+\Delta t) + w(x, t)] [w(x+\Delta x, t+\Delta t) + w(x, t+\Delta t) + w(x+\Delta x, t) + w(x, t)]}{P(x+\Delta x, t+\Delta t) + P(x+\Delta x, t) + P(x, t) + P(x, t+\Delta t)} \right.$$

$$\left. + w(x, t+\Delta t) + w(x+\Delta x, t) + w(x, t) \right\} = 0 \quad (39)$$

Tanto la ecuación (38) como la ecuación (39) contienen 4 incógnitas $P(x+\Delta x, t+\Delta t)$, $P(x, t+\Delta t)$, $w(x+\Delta x, t+\Delta t)$ y $w(x, t+\Delta t)$.

La aplicación de las ecuaciones anteriores a una red de tuberías triangular se detalla a continuación:

En la figura 7 contigua, se tiene un sistema de 3 tubos conectados entre sí por 3 nodos; en el nodo 1 se está inyectando gas al sistema y en los nodos 2 y 3 son salidas de gas. Hay dos variables por cada tubería ($w_{k1, j+1}$) y ($w_{k_{i+1}, j+1}$) y dos variables por cada nodo ($P_{1, j+1}$) y ($Q_{1, j+1}$). Entonces para un sistema de n nodos y m tuberías se tendrá $2(m + n)$ variables y $2m + n$ ecuaciones no lineales, por lo que es necesario fijar n variables para poder obtener una solución.

Así la aplicación de las ecuaciones (38) y (39) se lleva a cabo fijando las presiones o los gastos en los nodos 1, 2 y 3.

SUSTITUCION EN LAS ECUACIONES DE CONTINUIDAD Y MOVIMIENTO.

Tubería entre los nodos 1 y 2

$$P_{22} + P_{12} - P_{21} - P_{11} + \frac{V_{1s}^2}{A_1} \frac{\Delta t}{\Delta x_1} (w_{122} + w_{121} - w_{112} - w_{111}) = 0 \quad \checkmark$$

$$P_{22} + P_{21} - P_{12} - P_{11} + \frac{\Delta x_1}{\Delta t} \frac{1}{A_1} (w_{122} + w_{112} - w_{121} - w_{111})$$

$$+ \frac{g \Delta x_1}{2 V_{1s}^2} (P_{22} + P_{21} + P_{12} + P_{11}) \text{ sen } \alpha$$

$$+ \frac{f_1 V_{1s}^2 \Delta x_1 (w_{122}^1 + w_{121}^1 + w_{112}^1 + w_{111}^1)}{4 A_1^2 D_1 (P_{22} + P_{21} + P_{12} + P_{11})} \left| \frac{(w_{122}^1 + w_{121}^1 + w_{112}^1 + w_{111}^1)}{(P_{22} + P_{21} + P_{12} + P_{11})} \right| = 0$$

ECUACION EN EL NODO 2

$$- q_{22} + w_{122} - w_{212} = 0$$

y así sucesivamente para cada tubería y nodo hasta establecer un sistema de $2m + n$ ecuaciones. El sistema se puede resolver por el método de Newton-Raphson que es un procedimiento iterativo consistente en obtener un conjunto de valores 'x' que satisfagan las ecuaciones a partir de valores supuestos de x' es decir

$$x = x' + \Delta x'$$

donde x' son los valores supuestos y $\Delta x'$ son cantidades calculadas mediante un sistema de ecuaciones.

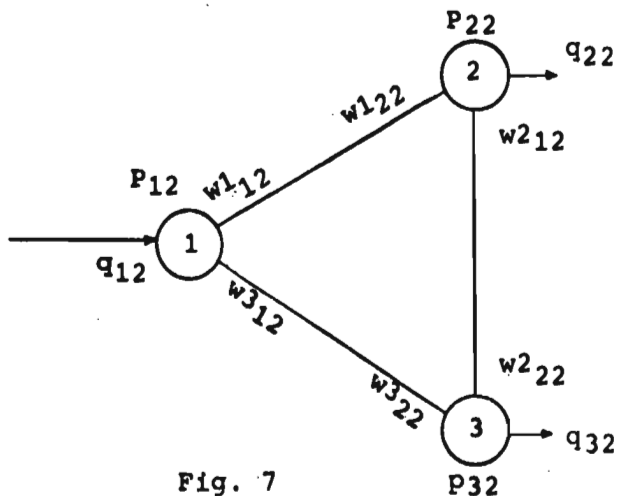


Fig. 7

El cálculo puede resumirse en los siguientes

puntos:

- 1) Suponer valores a las incógnitas.
- 2) Calcular F_1 , F_2 y F_3 con los valores su-
puestos .
- 3) Calcular las parciales de F_1 , F_2 y F_3 con
respecto a las incógnitas.
- 4) Calcular las cantidades $\Delta x'$ de cada incógni-
ta.
- 5) Calcular $x = X' + \Delta x'$ para cada incógnita
- 6) Calcular F_1 , F_2 y F_3 . Si cualquiera de F_1 ,
 F_2 y F_3 es mayor que la tolerancia fijada,
se repite el procedimiento a partir del --
punto 3.

EJEMPLO NUMERICO METODO IMPLICITO



DATOS:

$$\text{DIAMETRO} = 6 \text{ } \rho\text{g}$$

$$\text{LONGITUD} = 59040 \text{ pies}$$

$$P_{11} = 719 \text{ Psia}$$

$$P_{21} = 676 \text{ Psia}$$

$$P_{22} = 625 \text{ Psia}$$

$$Q_{12} = 7 \times 10^6 \text{ pies}^3/\text{día}$$

$$\rho_{rg} = 0.65$$

$$T = 30^\circ\text{C} = 546^\circ\text{R}$$

$$\Delta t = 600 \text{ seg.}$$

$$f = 0.0119$$

$$\alpha = 0$$

Calcular la presión y gasto a los 600 segundos de P_{12} y Q_{22} aplicando el método implícito

DESARROLLO:**ECUACION DE CONTINUIDAD**

$$P(x+\Delta x, t+\Delta t) + P(x, t+\Delta t) - P(x+\Delta x, t) - P(x, t) + \frac{v_s^2}{A} \frac{\Delta t}{\Delta x} \left[w(x+\Delta x, t+\Delta t) + w(x+\Delta x, t) - w(x, t+\Delta t) - w(x, t) \right] = 0$$

ECUACION DE MOVIMIENTO

$$P(x+\Delta x, t+\Delta t) + P(x+\Delta x, t) - P(x, t+\Delta t) - P(x, t) + \frac{\Delta x}{\Delta t A} \left[w(x+\Delta x, t+\Delta t) + w(x, t+\Delta t) - w(x+\Delta x, t) - w(x, t) \right] + \frac{g \Delta x}{2v_s^2} \left[P(x+\Delta x, t+\Delta t) + P(x, t+\Delta t) + P(x+\Delta x, t) + P(x, t) \right] \sin \alpha + \frac{FV_s^2 \Delta x \left[w(x+\Delta x, t+\Delta t) + w(x+\Delta x, t) + w(x, t+\Delta t) + w(x, t) \right] \left[w(x+\Delta x, t+\Delta t) + w(x+\Delta x, t) + w(x, t+\Delta t) + w(x, t) \right]}{4 A^2 d \left[P(x+\Delta x, t+\Delta t) + P(x+\Delta x, t) + P(x, t+\Delta t) + P(x, t) \right]}$$

PARA EL PROBLEMA ESPECIFICO**ECUACION DE CONTINUIDAD**

$$F_{11} = 4632.48 (P_{22} + P_{12} - P_{21} - P_{11}) + \frac{v_1 \Delta t}{A_1 \Delta x} (w_{22} + w_{21} - w_{12} - w_{11})$$

CALCULO DE DERIVADAS PARCIALES CON RESPECTO A LAS INCOGNITAS P_{12} , Q_{22} , w_{12} , w_{22}

$$\frac{\partial F_{11}}{\partial P_{12}} = 4632.48 \quad ; \quad \frac{\partial F_{11}}{\partial w_{12}} = - \frac{v_1 \Delta t}{A_1 \Delta x} \quad ; \quad \frac{\partial F_{11}}{\partial w_{22}} = \frac{v_1 \Delta t}{A_1 \Delta x}$$

ECUACION DE MOVIMIENTO PARA $\alpha = 0$

$$F_{12} = 4632.48(P_{22} + P_{21} - P_{12} - P_{11}) + \frac{\Delta x_1}{\Delta t A_1} (w_{22} + w_{12} - w_{21} - w_{11})$$

$$+ \frac{f_1 v_1^2 \Delta x_1 (w_{22} + w_{21} + w_{12} + w_{11}) | (w_{22} + w_{21} + w_{12} + w_{11}) |}{4632.48 \times 4 \times A_1^2 d_1 (P_{22} + P_{21} + P_{12} + P_{11})}$$

CÁLCULO DE LAS DERIVADAS PARCIALES

$$\frac{\partial F_{12}}{\partial P_{12}} = -4632.48 - \frac{f_1 v_1^2 \Delta x_1 (w_{22} + w_{21} + w_{12} + w_{11}) | (w_{22} + w_{21} + w_{12} + w_{11}) |}{4632.48 \times 4 \times A_1^2 d_1 (P_{22} + P_{21} + P_{12} + P_{11})^2}$$

$$\frac{\partial F_{12}}{\partial w_{12}} = \frac{\Delta x_1}{\Delta t A_1} + \frac{f_1 v_1^2 \Delta x_1 (w_{12} + w_{22} + w_{21} + w_{11})}{4632.48 \times 4 \times A_1^2 d_1 (P_{22} + P_{21} + P_{12} + P_{11})} +$$

$$+ \frac{f_1 v_1^2 \Delta x_1 | (w_{12} + w_{22} + w_{21} + w_{11}) |}{4632.48 \times 4 \times A_1^2 d_1 (P_{22} + P_{21} + P_{12} + P_{11})}$$

$$\frac{\partial F_{12}}{\partial w_{22}} = \frac{\Delta x_1}{\Delta t A_1} + \frac{f_1 v_1^2 \Delta x_1 (w_{12} + w_{22} + w_{21} + w_{11})}{4632.48 \times 4 \times A_1^2 d_1 (P_{22} + P_{21} + P_{12} + P_{11})} +$$

$$+ \frac{f_1 v_1^2 \Delta x_1 | (w_{12} + w_{22} + w_{21} + w_{11}) |}{4632.48 \times 4 \times A_1^2 d_1 (P_{22} + P_{21} + P_{12} + P_{11})}$$

ECUACION DE NODOS

$$F_{13} = Q_{12} - w_{12}$$

$$F_{23} = w_{22} - Q_{22}$$

CALCULO DE DERIVADAS PARCIALES

$$\frac{\partial F_{13}}{\partial w_{12}} = -1 ; \quad \frac{\partial F_{23}}{\partial w_{22}} = 1 , \quad \frac{\partial F_{23}}{\partial Q_{22}} = -1$$

SISTEMA DE ECUACIONES

$$\frac{\partial F_{11}}{\partial w_{12}} \Delta w_{12} + \frac{\partial F_{11}}{\partial w_{22}} \Delta w_{22} + \frac{\partial F_{11}}{\partial P_{12}} \Delta P_{12} + 0 \Delta Q_{22} + F_{11} = 0 \quad \text{I}$$

$$\frac{\partial F_{12}}{\partial w_{12}} \Delta w_{12} + \frac{\partial F_{12}}{\partial w_{22}} \Delta w_{22} + \frac{\partial F_{12}}{\partial P_{12}} \Delta P_{12} + 0 \Delta Q_{22} + F_{12} = 0 \quad \text{II}$$

$$\frac{\partial F_{13}}{\partial w_{12}} \Delta w_{12} + 0 \Delta w_{22} + 0 \Delta P_{12} + 0 \Delta Q_{22} + F_{13} = 0 \quad \text{III}$$

$$0 \Delta w_{12} + \frac{\partial F_{23}}{\partial w_{22}} \Delta w_{22} + 0 \Delta P_{12} + \frac{\partial F_{23}}{\partial Q_{22}} \Delta Q_{22} + F_{23} = 0 \quad \text{IV}$$

CALCULO DE LA VELOCIDAD DEL SONIDO.

$$\rho = \frac{p M}{ZRT} \quad (A)$$

$$M = \rho_{rg} \times 28.97 = 18.83 \frac{\text{Lb}}{\text{Lb-mol}}$$

$$p_{Tc} = 375^\circ\text{R} \quad , \quad p_{Pc} = 672 \text{ Psia}$$

$$P_{Pr} = \frac{697.6}{672} = 1.038$$

$$Z = 0.880$$

$$p_{Tr} = \frac{546}{375} = 1.456 \quad \text{sustituyendo en la ec. (A)}$$

$$\rho = \frac{697.6 \times 18.83}{0.88 \times 10.73 \times 546} = 2.547 \text{ Lb/pies}^3$$

$$V_s^2 = 32.17 \frac{p}{\rho} \frac{\text{Lb}}{\text{pies}^2} \frac{\text{Lb-pies}}{\text{Lb-seg}^2} \frac{\text{pies}^3}{\text{Lb}} = x \frac{\text{pies}^2}{\text{seg}^2}$$

$$V_s^2 = \frac{32.17 \times 144 \times 697.6}{2.547} = 1,268,794 \frac{\text{pies}^2}{\text{seg}^2}$$

DATOS SUPUESTOS

$$P_{12} = 668 \text{ Psia}$$

$$Q_{22} = 3.899 \text{ Lb/seg.}$$

$$w_{12} = 4.022 \text{ Lb/seg.}$$

$$w_{22} = 3.899 \text{ Lb/seg}$$

Los cálculos iterativos se llevaron a cabo mediante un programa de computación, ver apéndice "C", utilizando el método de GAUSS en la solución del sistema de ecuaciones. El arreglo de los coeficientes de la matriz y de los términos independientes para completar la matriz aumentada son como sigue:

$$C(1,1) = \frac{\partial F_{11}}{\partial w_{12}}, \quad C(1,2) = \frac{\partial F_{11}}{\partial w_{22}}, \quad C(1,3) = \frac{\partial F_{11}}{\partial P_{12}}, \quad C(1,4) = 0, \quad C(1,5) = -F_{11}$$

$$C(2,1) = \frac{\partial F_{12}}{\partial w_{12}}, \quad C(2,2) = \frac{\partial F_{12}}{\partial w_{22}}, \quad C(2,3) = \frac{\partial F_{12}}{\partial P_{12}}, \quad C(2,4) = 0, \quad C(2,5) = -F_{12}$$

$$C(3,1) = \frac{\partial F_{13}}{\partial w_{12}}, \quad C(3,2) = 0, \quad C(3,3) = 0, \quad C(3,4) = 0, \quad C(3,5) = -F_{13}$$

$$C(4,1) = 0, \quad C(4,2) = \frac{\partial F_{23}}{\partial w_{22}}, \quad C(4,3) = 0, \quad C(4,4) = \frac{\partial F_{23}}{\partial Q_{22}}, \quad C(4,5) = -F_{23}$$

6.- METODO VARIACIONAL.

A partir del balance de cantidad de movimiento, sobre un elemento de gas en una tubería de área constante se obtiene la siguiente ecuación

$$\frac{g_c R}{M} \frac{\partial \rho z T}{\partial x} + \frac{\partial G^2 / \rho}{\partial x} + \frac{f G |G|}{2D\rho} + g \rho \frac{\partial h}{\partial x} + \frac{\partial G}{\partial t} = 0 \quad (40)$$

Y en el balance de masa se obtiene

$$\frac{\partial G}{\partial x} + \frac{\partial \rho}{\partial t} = 0 \quad (41)$$

en el presente desarrollo T se asume constante

A.- CONDICIONES INICIALES Y DE FRONTERA.

En un instante, digamos para $t_0 = 0$, se deberá conocer una distribución de gasto y densidad a lo largo de la tubería es decir:

$$\begin{aligned} G_0(x) &, \quad 0 \leq x \leq L \\ \rho_0(x) &, \quad 0 \leq x \leq L \end{aligned}$$

donde G_0 y ρ_0 son las funciones conocidas en el tiempo $t_0 = 0$.

Será el objetivo conocer $G(x,t)$ y $\rho(x,t)$ para $0 < t \leq \theta$

que satisfagan las ecuaciones (40) y (41) y las siguientes relaciones:

$$G(x,0) = G_0(x) \quad , \quad 0 \leq x \leq L$$

y

$$\rho(x,0) = \rho_0(x) \quad , \quad 0 \leq x \leq L$$
(42)

sujeto a las condiciones de frontera

$$G(0,t) = \phi_0(t) \quad , \quad 0 < t \leq \theta$$

y

$$G(L,t) = \phi_L(t) \quad 0 < t \leq \theta$$
(43)

donde ϕ_0 y ϕ_L son las funciones conocidas del tiempo para $0 < t \leq \theta$.

B.- SOLUCION DE LAS ECUACIONES MEDIANTE EL METODO DE GALERKIN

Este método consiste en aproximar una solución a ecuaciones de tipo parabólico, elíptico e hiperbólico etc. y fué desarrollado por B.G. GALERKIN en el año de 1915. Rachford y Todd¹⁰ en el año de 1972 aplican el método de Galerkin para resolver el sistema de ecuaciones diferenciales representativas del flujo de gas en tuberías, el cual consiste en aproximar una solución en la forma siguiente:

Multiplicando las ecuaciones (40) y (41) por una función continua $w(x)$ para $0 \leq x \leq L$ e integrando a lo largo de la tubería

$$\int_0^L \left[v_s^2 \frac{\partial \rho}{\partial x} + \frac{\partial G^2}{\partial x} + \frac{f|G|G}{2D\rho} + g\rho \frac{\partial h}{\partial x} + \frac{\partial G}{\partial t} \right] w(x) dx = 0 \quad (44)$$

$$\int_0^L \left[\frac{\partial G}{\partial x} + \frac{\partial \rho}{\partial t} \right] w(x) dx = 0 \quad (45)$$

donde

$$v_s^2 = \frac{gCRT}{M} \left(z + \rho \frac{dz}{d\rho} \right)$$

Si $\rho(x,t)$ y $G(x,t)$ satisfacen las ecuaciones (40) y (41) sujetas a las condiciones iniciales y de frontera, también satisfarán a las ecuaciones (44) y (45) para una adecuada función $w(x)$

Sin embargo la aproximación de Galerkin supone que $\hat{\rho}(x,t)$ y $\hat{G}(x,t)$ que satisfacen las ecuaciones (44) y (45) para ciertas funciones $w(x)$, restringidas al espacio de Hermite en el intervalo $[0, L]$ y sujetas a

$$\int_0^L \hat{\rho}(x,0) w(x) dx = \int_0^L \rho_0(x) w(x) dx \quad y$$

$$\int_0^L \hat{G}(x,0) w(x) dx = \int_0^L G_0(x) w(x) dx$$

Las funciones forman una base para el espacio de los polinomios cúbicos de Hermite. El hecho de que un -- conjunto de funciones $\{w_i\}$ formen una base para el espacio, significa que cualquier función F puede ser escrita como

$$F = \sum_{i=1}^n C_i w_i$$

por lo tanto

$$\left. \begin{aligned} \beta(x,t) &= \sum_{i=1}^n \alpha_i(t) w_i(x) \\ \hat{G}(x,t) &= \sum_{i=1}^n \beta_i(t) w_i(x) \end{aligned} \right\} \begin{array}{l} \text{y} \\ (46) \\ \text{donde} \end{array}$$

n es el número de nodos usados en la partición $[0, L]$, $\{\alpha(t)\}$, y $\{\beta_i(t)\}$ son funciones diferenciables de (t) y $\{w_i\}$, es la base del espacio.

De acuerdo a la notación Matriz-Vector y siendo w_j también funciones de Hermite se define:

$$A_{ij} = \int_0^L \left\{ \left[v_s^2(\beta) - \left(\frac{\hat{G}}{\beta} \right)^2 \right] \frac{dw_j}{dx} + g \frac{\partial h}{\partial x} w_j \right\} w_i dx$$

$$B_{ij} = \int_0^L \left(\frac{\hat{G}}{\hat{\rho}} \right) \frac{dw_j}{dx} w_i dx$$

$$C_{ij} = \int_0^L w_j w_i dx$$

$$E_{ij} = \int_0^L \frac{dw_j}{dx} w_i dx$$

$$d_i = \frac{1}{2D} \int_0^L \frac{f(\hat{G}) |\hat{G}| \hat{G}}{\hat{\rho}} w_i dx$$

usando la notación anterior y representando el vector de las derivadas del tiempo $\alpha_i(t)$ y $\beta_i(t)$ como $\alpha'(t)$ y $\beta'(t)$ se obtiene la equivalencia de (44) y (45)

$$A \alpha + 2 B \beta + C \beta' + d = 0 \quad (47)$$

y

$$E \beta + C \alpha' = 0 \quad (48)$$

Las ecuaciones anteriores forman un sistema no lineal de ecuaciones diferenciales ordinarias en α y β .

Puesto que estas funciones dependen del tiempo se pueden discretizar de la siguiente manera:

Sean α_n y β_n vectores de coeficientes
 $\alpha_{i,n}$, $\beta_{i,n}$ para el sistema de ecuaciones
 (46) correspondiendo al tiempo $t_n \equiv n\Delta t$.

Evaluación de Términos en $(n + 1/2)$

$$\alpha_{n+1/2} = \frac{\alpha_n + \alpha_{n+1}}{2}, \quad \beta_{n+1/2} = \frac{\beta_n + \beta_{n+1}}{2}$$

y la solución aproximada para $\rho(x, t_n)$ y $G(x, t_n)$

$$\hat{\rho}_n = \sum_{i=1}^n \alpha_{i,n} w_i \quad (49)$$

$$\hat{G}_n = \sum_{i=1}^n \beta_{i,n} w_i$$

$$\hat{\rho}_{n+1/2} = 1/2 (\hat{\rho}_n + \hat{\rho}_{n+1}) \quad y$$

$$\hat{G}_{n+1/2} = 1/2 (\hat{G}_n + \hat{G}_{n+1})$$

Se define:

$$(A_{n+1/2})_{i,j} = \int_0^L \left\{ \left[v_s^2 (\hat{\rho}) - \left(\frac{\hat{G}}{\hat{\rho}} \right)^2 \right]_{n+1/2} \frac{dw_j}{dx} + g \frac{\partial h}{\partial x} w_j \right\} w_i dx$$

$$(B_n + 1/2)_{i,j} = \int_0^L \left(\frac{\hat{G}}{\rho} \right)_{n+1/2} \frac{dw_j}{dx} w_i dx$$

$$(d_n + 1/2)_i = \frac{1}{2D} \int_0^L \left(\frac{f(\hat{G}) |\hat{G}| \hat{G}}{\hat{\rho}} \right)_{n+1/2} w_i dx$$

Entonces el sistema queda como sigue:

$$(A\alpha)_{n+1/2} + (2 B\beta)_{n+1/2} + C \frac{\beta_{n+1} - \beta_n}{\Delta t} + d_{n+1/2} = 0$$

y

$$(E\beta)_{n+1/2} + C \frac{\alpha_{n+1} - \alpha_n}{\Delta t} = 0 \quad (50)$$

Así se tiene un sistema de ecuaciones simultáneas lineales con incógnitas α_{n+1} y β_{n+1} .

IV.- SOLUCION A LAS ECUACIONES DE FLUJO TRANSITORIO, MEDIANTE
EL METODO DE GALERKIN, EN TERMINOS DE PRESIONES Y GASTOS.

1.- EJEMPLO ILUSTRATIVO DEL METODO DE GALERKIN

El método de aproximación introducido en 1915 por B.G. Galerkin¹ para resolver ecuaciones de tipo elíptico, hiperbólico y parabólico ha tenido amplia aplicación en recientes años.

Con el fin de ilustrar el método de Galerkin se presenta una aplicación en problemas de conducción de calor para regiones finitas bidimensionales.

$$T(x,y) \equiv \frac{\partial^2 T}{\partial x^2} + \frac{\partial^2 T}{\partial y^2} + \frac{q_m}{k} = 0 \quad (51)$$

en una región cerrada R_c y sujeta a

$$T = 0 \quad \delta \quad \frac{\partial T}{\partial \eta} = 0 \quad \delta \quad \frac{\partial T}{\partial \eta} + HT = 0 \quad (52)$$

sobre la frontera S de la región. Donde $\frac{\partial}{\partial \eta}$ = diferenciación a lo largo de la frontera exterior. La base del método de Galerkin a la solución de la ecuación (51) es buscar una solución aproximada en la forma siguiente:

$$T_n(x,y) = \sum_{i=1}^n C_i \phi_i(x,y) \quad (53) \text{ donde}$$

$T_n(x,y)$ = Función de aproximación.

$\phi_i(x,y)$ = Conjunto de funciones conocidas que se escogen y deben satisfacer las condiciones de frontera (52).

C_i = Coeficientes incógnitas que se determinan en el método de Galerkin, los cuales satisfacen la ecuación (51) dentro de cierta tolerancia.

$i = 1, 2, 3 \dots n$

A fin de que $T_n(x,y)$ sea solución de la ecuación diferencial (51) es necesario que la función sea igual a cero. Si $T_n(x,y)$ es considerada como continúa es entonces -- equivalente a requerir la ortogonalidad a todas las funciones del sistema

$\phi_i(x,y)$, $i = 1, 2, \dots n$

se obtiene por lo tanto n condiciones de ortogonalidad de donde n ecuaciones algebraicas son obtenidas para determinar n coeficientes como incógnitas $C_1, C_2 \dots C_n$. Una vez determinados estos coeficientes se sustituyen en (53) y una solución aproximada es obtenida para distribución de temperatura en la región.

La declaración anterior es demostrada como sigue:

$$\sum_{i=1}^n C_i \phi_i(x,y) = 0$$

multiplicando la ecuación anterior por $\phi_j(x,y)$ e integrando sobre la región R_C

$$\iint_{R_C} \sum_{i=1}^n [C_i \phi_i(x,y)] \phi_j(x,y) dx dy = 0 \quad \text{para } j=1,2,\dots,n \quad (54)$$

El sistema (54) conduce a un sistema de n ecuaciones algebraicas para determinar n coeficientes C_1, C_2, \dots, C_n como incógnitas. Una vez obtenidos se sustituyen en (53) para dar una solución aproximada al problema.

CONSTRUCCION DE FUNCIONES $\phi_i(x,y)$.

La construcción de las funciones $\phi_i(x,y)$ para aproximar la solución de la ecuación (51) sujeta a las condiciones de frontera (52), se lleva a cabo escogiendo diferentes combinaciones de polinomios o funciones trigonométricas.

Escogiendo la condición frontera de primera clase.

$T(x,y)=0$ sobre la frontera s de la región. Supóngase que se escoge una función $w(x,y)$ la cual es continua en la región cerrada R_C , teniendo derivadas continuas $\frac{\partial w}{\partial x}$ y $\frac{\partial w}{\partial y}$

y satisfaciendo la condición frontera $T(x,y) = 0$

$$w(x,y) = 0$$

Entonces el sistema de funciones $\phi_1(x,y)$ puede ser escogido como el sistema que consiste de los productos de $w(x,y)$ y varias potencias de x e y en la forma

$$\phi_1(x,y) = w(x,y)$$

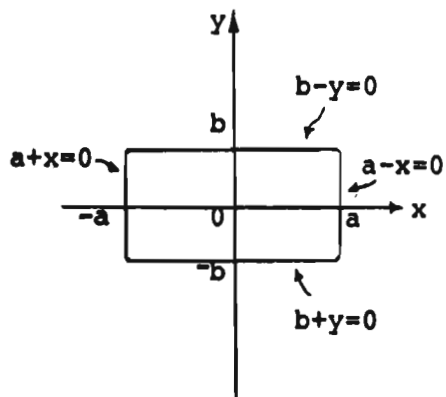
$$\phi_2(x,y) = x.w(x,y)$$

$$\phi_3(x,y) = y.w(x,y)$$

$$\phi_4(x,y) = x^2.w(x,y)$$

$$\phi_5(x,y) = x.y.w(x,y)$$

Si se considera una región rectangular $(-a, a, -b, b)$ como se muestra en la figura siguiente:



sujeto a la temperatura cero en la frontera y con generación de calor dentro del sólido en un gasto uniforme de g_m --- BTU/hr-pies². La distribución de la temperatura estacionaria en la región satisface.

$$\frac{\partial^2 T}{\partial x^2} + \frac{\partial^2 T}{\partial y^2} + \frac{g_m}{k} = 0$$

sujeta a

$$T = 0 \text{ en } x = \pm a$$

$$T = 0 \text{ en } y = \pm b$$

la función para la condición de frontera de 1^a clase

$$w(x,y) = (a^2 - x^2)(b^2 - y^2)$$

y el sistema es escogido como el producto de $w(x,y)$ y potencias pares de x y y

$$\phi_1(x,y) = (a^2 - x^2)(b^2 - y^2)$$

$$\phi_2(x,y) = x^2(a^2 - x^2)(b^2 - y^2)$$

$$\phi_3(x,y) = y^2(a^2 - x^2)(b^2 - y^2)$$

$$\phi_4(x,y) = x^2 y^2 (a^2 - x^2)(b^2 - y^2)$$

$$\vdots$$

$$\phi_n(x,y) = x^{2i} y^{2j} (a^2 - x^2)(b^2 - y^2) \quad i \text{ y } j = 1, 2, \dots, n$$

de aquí la forma de aproximar el perfil de temperatura

$$T_n(x,y) = (a^2 - x^2)(b^2 - y^2) \left[C_1 + C_2 x^2 + C_3 y^2 + C_4 x^2 y^2 + \dots + C_n x^{2i} y^{2j} \right]$$

Si se aproxima la función con un solo término

$n=1$

$$T_1(x,y) = C_1 \cdot (a^2 - x^2)(b^2 - y^2) \equiv C_1 \cdot \phi_1(x,y)$$

y se desea determinar C_1 por el método de Galerkin

$$\int_{x=-a}^{x=a} \int_{y=-b}^{y=b} \left[C_1 \frac{\partial^2 \phi_1}{\partial x^2} + C_1 \frac{\partial^2 \phi_1}{\partial y^2} + \frac{gm}{k} \right] \phi_1 dx \cdot dy = 0$$

$$\phi_1 = (a^2 - x^2)(b^2 - y^2)$$

efectuando las derivadas parciales se obtiene

$$\int_{x=0}^a \int_{y=0}^b \left[-2C_1 (a^2 - x^2)(b^2 - y^2)^2 - 2C_1 (b^2 - y^2)(a^2 - x^2)^2 + \frac{gm}{k} (a^2 - x^2)(b^2 - y^2) \right] dx dy = 0$$

resolviendo la doble integración para C_1

$$C_1 = \frac{5}{8} \frac{gm/k}{a^2 + b^2}$$

por lo tanto

la aproximación para la distribución de temperatura esta dada por la forma

$$T_1(x,y) = \frac{5}{8} \frac{gm/k}{a^2+b^2} (a^2-x^2)(b^2-y^2) \quad (55)$$

Comparando esta solución aproximada con la solución exacta por series de Fourier

$$T(x,y) = \frac{gm}{k} \left[\frac{(a^2-x^2)}{2} - 2a^2 \sum_{n=0}^{\infty} \frac{(-1)^n}{\beta_n^3} \frac{\cosh(\beta_n \frac{y}{b}) \cos(\beta_n \frac{x}{a})}{\cosh(\beta_n \frac{b}{a})} \right]$$

donde

$$\beta_n = \frac{(2n+1)\pi}{2}$$

La temperatura en el centro $x = 0$, $y = 0$ para el caso particular de una región $a = b$

$$T_1(0,0) = \frac{5}{16} \frac{gma^2}{k} = 0.3125 \frac{gma^2}{k}$$

$$T(0,0) = \frac{gma^2}{k} \left[\frac{1}{2} - 2 \sum_{n=0}^{\infty} \frac{(-1)^n}{\beta_n^3 \cosh \beta_n} \right] = 0.293 \frac{gma^2}{k}$$

el error involucrado para la aproximación con un solo término es menor que 7%. La exactitud se mejora conforme aumenta el número de términos, con que se aproxima la función $t_n(x,y)$.

2.- APROXIMACION DE LA SOLUCION A LAS ECUACIONES DE FLUJO TRANSITORIO, POR EL METODO DE GALERKIN EN TERMINOS DE PRESIONES Y GASTOS.

Las ecuaciones generales de flujo están expresadas como sigue:

$$\frac{\partial(\rho V_x)}{\partial x} + \frac{\partial \rho}{\partial t} = 0 \quad (56)$$

$$g\rho \frac{\partial h}{\partial x} + \frac{R}{M} \left[\rho Z \frac{\partial T}{\partial x} + T \frac{\partial \rho Z}{\partial x} \right] + \frac{\partial \rho V_x}{\partial t} + \frac{f \rho V_x^2}{2D} = 0 \quad (57)$$

Es común en los problemas de flujo transitorio en sistemas de gas, el despreciar algunos términos de la ecuación (57), como son, los correspondientes al perfil de elevación, al gradiente de temperatura y al de energía cinética.

Por lo tanto se obtiene:

$$\frac{\partial \rho Z}{\partial x} + \frac{Mf}{2DRT} \rho V_x^2 = 0 \quad (58)$$

efectuando el siguiente cambio de variables, con el fin de normalizar

$$X = Ly$$

donde L es la

longitud de la tubería y "y" varia entre 0 y 1 las ecuaciones (56) y (58) llegan a ser

$$\frac{\partial \rho V_x}{\partial y} + L \frac{\partial \rho}{\partial t} = 0 \tag{59}$$

$$\frac{z}{2} \frac{\partial \rho^2}{\partial y} + \frac{MfL}{2DRT} (\rho V_x)^2 = 0 \tag{60}$$

La relación entre (ρV_x) y el gasto en millones de pies³ por día a condiciones estandar esta dada como sigue:

$$\rho V_x = \frac{1667 M \cdot P_B}{RT_B A Z_B} Q \quad \text{sustituyendo esta relación}$$

en las ecuaciones (59) y (60) se obtiene

$$\frac{\partial Q}{\partial y} + \frac{A LRT_B Z_B}{1667 M P_B} \frac{\partial \rho}{\partial t} = 0 \tag{61}$$

$$z \frac{\partial \rho^2}{\partial y} + \frac{M^3 f L^2 P_B^2 1667^2 Q^2}{D R^3 T A^2 T_R^2} = 0 \tag{62}$$

mediante la ecuación de estado se pueden expresar las ecuaciones anteriores en términos de P y Q

$$\frac{\partial Q}{\partial y} + \frac{0.0863 AL Z_B T_B}{T P_B Z} \frac{\partial P}{\partial t} = 0 \tag{63}$$

$$\frac{\partial P^2}{\partial Y} + \frac{Z f L P_B^2 M}{D A^2 T_B^2 Z_B^2 R} \frac{134}{R} Q^2 = 0 \quad (64)$$

Si

$$K_1 = \frac{0.0863 \Lambda Z_B T_B L}{T P_B Z} \quad \text{y} \quad K_2 = \frac{Z f L P_B^2 M}{D A^2 T_B^2 Z_B^2 R} \frac{134}{R}$$

las ecuaciones (63) y (64) se reducen a

$$\frac{\partial Q}{\partial Y} + K_1 \frac{\partial P}{\partial t} = 0 \quad (65)$$

$$\frac{\partial P^2}{\partial Y} + K_2 Q^2 = 0 \quad (66)$$

CONDICIONES INICIALES Y DE FRONTERA.

CONDICIONES INICIALES.- En algún instante se de
berá conocer la distribución de presiones y gastos, digamos a
 $t_0 = 0$

$$Q_0(y) , 0 \leq y \leq 1$$

$$P_0(y) , 0 \leq y \leq 1$$

o bien

$$Q(y, 0) = Q_0(y) , 0 \leq y \leq 1 \quad \text{y}$$

$$P(y, 0) = P_0(y) , 0 \leq y \leq 1$$

CONDICIONES DE FRONTERA.

$$\begin{aligned}
 Q(0, t) &= \phi_0(t) , \quad 0 < t \leq \theta && \text{y} \\
 Q(1, t) &= \phi_L(t) \quad 0 < t \leq \theta && \text{donde}
 \end{aligned}$$

ϕ_0 y ϕ_L son dos funciones conocidas del tiempo

Se usan las siguientes funciones de aproximación para el método de Galerkin

$$\hat{P}(y, t) = \sum_{i=1}^n \alpha_i(t) w_i(y) \quad (67)$$

$$\hat{Q}(y, t) = \sum_{i=1}^n \beta_i(t) w_i(y) \quad (68)$$

Si Q y P son soluciones exactas, la función error

$$\xi(Q, P) \equiv 0$$

Para la ecuación (65)

$$\xi(\hat{Q}, \hat{P}) = \sum_{i=1}^n \beta_i(t) \frac{dw_i(y)}{dy} + k_1 \sum_{i=1}^n \frac{d\alpha_i(t)}{dt} w_i(y) \quad (69)$$

Bajo condición de Ortogonalidad y para $k=1, 2, \dots, n$

$$\int_0^1 \xi(\hat{Q}, \hat{P}) w_k(y) dy = 0$$

sustituyendo la ecuación (69)

$$\int_0^1 \left[\sum_{i=1}^n \beta_i(t) \frac{dw_i(y)}{dy} + k_1 \sum_{i=1}^n \frac{da_i}{dt} w_i(y) \right] w_k(y) dy = 0$$

$$\int_0^1 \left[\sum_{i=1}^n \beta_i(t) \frac{dw_i(y)}{dy} w_k(y) \right] dy + k_1 \int_0^1 \left[\sum_{i=1}^n \frac{da_i}{dt} w_i(y) w_k(y) \right] dy$$

$$\sum_{i=1}^n \beta_i(t) \int_0^1 \frac{dw_i(y)}{dy} w_k(y) dy + k_1 \sum_{i=1}^n \frac{da_i}{dt} \int_0^1 w_i(y) w_k(y) dy \quad (70)$$

Para la ecuación (66)

$$\hat{P}(y, t) = \sum_{i=1}^n \alpha_i(t) w_i(y)$$

$$\hat{P}^2(y, t) = \sum_{j=1}^n \sum_{i=1}^n \alpha_i(t) \alpha_j(t) w_i(y) w_j(y)$$

$$\frac{\partial \hat{P}^2}{\partial y} = \sum_{j=1}^n \sum_{i=1}^n \alpha_i(t) \alpha_j(t) \left[w_i(y) \frac{dw_j}{dy} + \frac{dw_i}{dy} w_j \right] \quad (71)$$

$$\left. \begin{aligned} \hat{Q}(y, t) &= \sum_{i=1}^n \beta_i(t) w_i(y) \\ \hat{Q}^2(y, t) &= \sum_{j=1}^n \sum_{i=1}^n \beta_i(t) \beta_j(t) w_i w_j \end{aligned} \right\} \quad (72)$$

Para w_i y w_j como funciones de y

Si Q_y y p son soluciones exactas la función error

$$\xi(Q, P) \equiv 0$$

La aproximación por el método de Galerkin y la sustitución de (71) y (72) en la ecuación (69)

$$\xi(\hat{Q}, \hat{P}) = \sum_{j=1}^n \sum_{i=1}^n \alpha_i(t) \alpha_j(t) \left[w_i \frac{dw_j}{dy} + \frac{dw_i}{dy} w_j \right] + k_2 \left[\sum_{j=1}^n \sum_{i=1}^n \beta_i(t) \beta_j(t) w_i w_j \right]$$

$$\int_0^1 \xi(\hat{Q}, \hat{P}) w_k dy = 0 \quad \text{condición de ortogonalidad}$$

lidad

$$\int_0^1 \left\{ \sum_{j=1}^n \sum_{i=1}^n \alpha_i(t) \alpha_j(t) \left[w_i(y) \frac{dw_j}{dy} + \frac{dw_i}{dy} w_j \right] + k_2 \left[\sum_{j=1}^n \sum_{i=1}^n \beta_i(t) \beta_j(t) w_i w_j \right] \right\} w_k dy = 0$$

$$\sum_{j=1}^n \sum_{i=1}^n \alpha_i(t) \alpha_j(t) \left\{ \int_0^1 \left[w_i \frac{dw_j}{dy} + \frac{dw_i}{dy} w_j \right] w_k dy \right\} + k_2 \left\{ \sum_{j=1}^n \sum_{i=1}^n \beta_i(t) \beta_j(t) \left[\int_0^1 w_i w_j w_k dy \right] \right\} = 0 \quad (73)$$

Haciendo en las ecuaciones (70) y (73)

$$A_{ki} = \int_0^1 w_k \frac{dw_i}{dy} dy \quad (74)$$

$$B_{ki} = k_1 \int_0^1 w_i w_k dy \quad (75)$$

$$C_{ijk} = \int_0^1 \left[w_i \frac{dw_j}{dy} + \frac{dw_i}{dy} w_j \right] w_k dy \quad (76)$$

$$D_{ijk} = k_2 \int_0^1 w_i w_j w_k dy \quad (77)$$

las ecuaciones (70) y (73) se transforman en:

$$\sum_{i=1}^n A_{ki} \beta_i(t) + \sum_{i=1}^n B_{ki} \frac{d\alpha_i}{dt} = 0 \quad (78)$$

$$\sum_{j=1}^n \sum_{i=1}^n \alpha_i \alpha_j C_{ijk} + \sum_{j=1}^n \sum_{i=1}^n \beta_i \beta_j D_{ijk} = 0 \quad (79)$$

$$k = 1, 2, \dots, n$$

El sistema anterior se puede expresar en forma matricial, vectores columna y vector renglón de la manera siguiente:

$$A \beta + B \frac{d\alpha}{dt} = 0 \quad (80)$$

→

$$\alpha^T C\alpha + \beta^T D\beta = 0 \quad (81)$$

Donde T significa que se esta hablando de la matriz transpuesta.

Este sistema en forma desarrollada puede escribirse en la forma siguiente:

$$\begin{bmatrix} A_{11} & + & A_{12} & \dots & A_{1n} \\ \cdot & & & & \cdot \\ \cdot & & & & \cdot \\ \cdot & & & & \cdot \\ \cdot & & & & \cdot \\ A_{n1} & \dots & \dots & \dots & A_{n,n} \end{bmatrix} \begin{bmatrix} \beta_1 \\ \beta_2 \\ \cdot \\ \cdot \\ \cdot \\ \beta_n \end{bmatrix} + \begin{bmatrix} B_{1,1} & \dots & B_{1,2} & \dots & B_{1n} \\ \cdot & & & & \cdot \\ \cdot & & & & \cdot \\ \cdot & & & & \cdot \\ \cdot & & & & \cdot \\ B_{n1} & \dots & \dots & \dots & B_{nn} \end{bmatrix} \begin{bmatrix} (\frac{d\alpha}{dt})_1 \\ \cdot \\ \cdot \\ \cdot \\ \cdot \\ (\frac{d\alpha}{dt})_n \end{bmatrix} = 0$$

$$\begin{bmatrix} \alpha_1 & \alpha_2 & \dots & \alpha_n \end{bmatrix} \begin{bmatrix} C_{11} & \dots & C_{1n} \\ \cdot & \cdot & \cdot \\ \cdot & \cdot & \cdot \\ C_{n1} & \dots & C_{nn} \end{bmatrix} \begin{bmatrix} \alpha_1 \\ \cdot \\ \cdot \\ \alpha_n \end{bmatrix} + \begin{bmatrix} \beta_1 & \beta_2 & \dots & \beta_n \end{bmatrix} \begin{bmatrix} D_{11} & \dots & D_{1n} \\ \cdot & \cdot & \cdot \\ \cdot & \cdot & \cdot \\ D_{n1} & \dots & D_{nn} \end{bmatrix} \begin{bmatrix} \beta_1 \\ \beta_2 \\ \cdot \\ \beta_n \end{bmatrix} = 0$$

Como puede observarse este sistema de ecuaciones es mucho más sencillo que el presentado por H.H.Rachford Jr.⁽¹⁰⁾ el cual se expresa en las ecuaciones (47) y (48).

V.- REPRESENTACION DEL FLUJO DE GAS TRANSITORIO, MEDIANTE
CONDICIONES DE FLUJO EN REGIMEN PERMANENTE, APLICADO AL
SISTEMA DE DISTRIBUCION DE GAS DEL D.F.N.E.

1.- ANTECEDENTES.-

Petróleos Mexicanos tiene en operación un sistema de ductos denominados "GASODUCTOS REYNOSA-MONTERREY-TORREON-CHIHUAHUA", con el cual se abastece de gas natural a usuarios de tipodoméstico e industrial que se localizan en la zona de influencia de este sistema (ver plano No.1). Los ductos principales son los siguientes:

- a) Gasoducto Reynosa-Monterrey de 22"Ø y 249 Km. de longitud.
- b) Loop Reynosa-Monterrey de 24"Ø y 172 Km. de longitud, el cual se fué construyendo y poniendo en operación por tramos, según las necesidades.
- c) Gasoducto Ojo Caliente-Chávez de 16"Ø y 250 Km. de longitud.
- d) Gasoducto Chávez-Chihuahua de 12"Ø y 434 Km. de longitud.
- e) Gasoducto Escobedo-Monclova de 10"Ø y 172 Km. de longitud Loop de 10" Ø y misma -- longitud

Con el objeto de incrementar la capacidad de transporte de este sistema, se encargó a la Hudson Engineering Corporation elaborar un estudio, para determinar la localización y capacidad de estaciones de compresión, basándose en estimaciones de consumo para la zona. Se llegó a la conclusión de instalar por etapas diez estaciones de compresión. Hasta la fecha únicamente se instalaron seis de las diez estaciones proyectadas las cuales se mencionan a continuación:

Estación Número	Número de Compresoras	Potencia Hp/Unidad	Potencia total Hp	Modelo
1	4	1800	7200	Cooper-Bessemer
2	4	1100	4400	Cooper-Bessemer
4	3	2400	7200	Copper-Bessemer
5	3	1440	4320	Cooper-Bessemer
8	3	1100	3300	Cooper-Bessemer
9	3	1100	3300	Cooper-Bessemer

Dadas las condiciones de flujo de este sistema de distribución, es obvio su régimen transitorio, debido principalmente a las variaciones de la demanda. Bajo estas circunstancias, se hace necesario establecer normas específicas de operación con el fin de mantener un balance adecuado de presiones y gastos en todo el sistema. Para lograr el objetivo anterior, se elaboró un procedimiento de cálculo bajo

régimen permanente, que permite representar el flujo variable, aún en las condiciones más críticas de variación en la demanda del consumo de gas.

2.- TEORIA Y FORMULACION DEL MODELO EN REGIMEN PERMANENTE.

La teoría está basada en un modelo presentado por M. Stoner en Febrero de 1970 el cual a su vez es una extensión del trabajo efectuado con anterioridad sobre el análisis de sistemas de distribución de agua realizado por Shamir U. y Howard en Enero de 1968. En el año de 1974 el I.M.P.⁶ presentó un modelo matemático que simula el flujo de gas natural bajo régimen permanente a través de sistemas de recolección o distribución de gas. El modelo anterior se consideró factible para aplicarlo al sistema de distribución del D.F.N.E., con el fin de representar el régimen variable.

Cualquier red de tuberías de este tipo puede ser descrita en términos de "nodos" y "conectores de nodos". Los nodos representan físicamente puntos donde convergen -- dos o más tuberías o donde se desea determinar la presión como en la succión o descarga de una compresora. Los conectores de los nodos representan elementos a través de los - cuales hay intercambios de masa de un nodo a otro. Al conjunto de conectores se le denominará con "C" y el de nodos con "N".

En un sistema como el descrito, pero con flujo de de gas en régimen permanente, se debe satisfacer la ley de

la conservación de masa en cada uno de los nodos; por lo tanto se debe cumplir la ecuación siguiente:

$$F_i = \sum_{j/(i,j) \in C} S_{ij} q_{ij} + Q_i = 0 \quad (82) \text{ en donde}$$

S_{ij} es una variable que indica el sentido del flujo
 $S_{ij} = 1$ cuando el flujo es del nodo i al nodo j
 y $S_{ij} = -1$ cuando el flujo es del nodo j al nodo i
 q_{ij} es el gasto de gas que pasa a través del conector.

Q_i es un término que indica la adición o extracción de masa al sistema a través del nodo i .

Estas ecuaciones establecen simplemente que la masa que entra al nodo es igual a la que sale y describen convenientemente la interacción de los diferentes elementos del sistema.

También para cada tipo de conector existe una ecuación característica que relaciona el gasto q_{ij} con la presión del fluido en sus extremos. Para tuberías existen diferentes ecuaciones, tales como la de Weymouth, Pandhandle etc. pero en general, éstas se pueden reducir algebraicamente a la forma:

$$q_{ij} = K_{ij} \left| P_1^2 - P_j^2 \right|^n \quad (83) \text{ en donde}$$

k_{ij} es un coeficiente de transmisión de la tubería que depende de la geometría, de las condiciones de flujo y de la composición del gas.

P_i y P_j es la presión del fluido en el nodo i y j respectivamente.

n es un exponente que depende de la forma de la ecuación

Para otros tipos de conectores, tales como compresoras, se pueden establecer ecuaciones semejantes a la ecuación (83).

Sustituyendo la ecuación (83) en la (82) se obtiene:

$$F_i = \sum_{j/(i,j) \in C} S_{ij} K_{ij} \left| P_i^2 - P_j^2 \right|^n + Q_i = 0 \quad (84)$$

Cuando el sistema está balanceado, F_i será cero. Los gastos entrando y saliendo de los nodos también se pueden expresar como:

$$\sum_{i=1}^N Q_i = 0 \quad (85)$$

Entonces el problema consiste en determinar un conjunto de valores Q_i y P_i para toda i en N que satisfaga las ecuaciones (84) y (85).

En este caso se tienen N ecuaciones con $2N$ incógnitas (N valores de P y N valores de Q), por lo que se requiere asignar valores a N variables, siendo las N variables restantes las incógnitas. La asignación de valores debe hacerse de tal modo que las ecuaciones resultantes sean linealmente independientes. Como la suma algebraica de los gastos exteriores debe ser igual a cero, solamente se pueden asignar gastos a $N-1$ nodos, quedando al menos un gasto como incógnita.

SOLUCION AL SISTEMA DE ECUACIONES.

Las ecuaciones que resultan de aplicar la ecuación (84) a cada uno de los nodos son no lineales. Actualmente el mejor método para resolver este sistema es el procedimiento iterativo de Newton Raphson. Para su aplicación se requiere asignar valores iniciales a las incógnitas. Usando estos valores como base, el método proporciona un conjunto de correcciones que, sumadas algebraicamente a los valores anteriores harán que estos se acerquen a la solución del sistema. Las iteraciones se continúan hasta que

los valores calculados de las incógnitas satisfagan las --
ecuaciones (84) dentro de cierta tolerancia.

Para un sistema de N ecuaciones no lineales
del tipo $F_i(x_1, x_2, \dots, x_N) = 0$ para $i = 1, 2, \dots, N$ con incógnitas x_1, x_2, \dots, x_N , el valor de las incógnitas al nivel de la iteración $k + 1$ esta dado por

$$x_i^{k+1} = x_i^k + \Delta x_i^{k+1} \quad (86)$$

de acuerdo con Newton

$$x_i^{k+1} = x_i^k - \frac{F_i(x_i^k)}{F'_i(x_i^k)}$$

$$\Delta x_i^{k+1} F'_i(x_i^k) = - F_i(x_i^k) \quad \text{o bien}$$

$$\sum_{j=1}^N \left(\frac{\partial F_i}{\partial x_j^k} \Delta x_j^{k+1} \right) = - F_i(x_1^k, x_2^k, \dots, x_n^k), \quad i = 1, 2, \dots, N \quad (87)$$

Este sistema de ecuaciones se puede expresar
en forma matricial y vectores columna como:

$$\begin{bmatrix}
 \frac{\partial F_1}{\partial x_1} & \frac{\partial F_1}{\partial x_2} & \dots & \frac{\partial F_1}{\partial x_N} \\
 \frac{\partial F_2}{\partial x_1} & \frac{\partial F_2}{\partial x_2} & \dots & \frac{\partial F_2}{\partial x_N} \\
 \cdot & \cdot & \cdot & \cdot \\
 \cdot & \cdot & \cdot & \cdot \\
 \cdot & \cdot & \cdot & \cdot \\
 \frac{\partial F_N}{\partial x_1} & \frac{\partial F_N}{\partial x_2} & \dots & \frac{\partial F_N}{\partial x_N}
 \end{bmatrix}
 \begin{bmatrix}
 \Delta x_1^{k+1} \\
 \Delta x_2^{k+1} \\
 \cdot \\
 \cdot \\
 \cdot \\
 \Delta x_N^{k+1}
 \end{bmatrix}
 =
 \begin{bmatrix}
 -F_1 \\
 -F_2 \\
 \cdot \\
 \cdot \\
 \cdot \\
 -F_N
 \end{bmatrix}$$

Y se puede resolver usando el método de eliminación de Gauss.

3.- APLICACION AL SISTEMA DE DISTRIBUCION "REYNOSA MONTERREY TORREON CHIHUAHUA".

En los sistemas complejos de distribución de gas el régimen transitorio se presenta debido a las variaciones en el consumo de gas. La aseveración anterior se comprueba en usuarios que por sus condiciones de operación, consumen gastos constantes, mantienen el flujo bajo régimen permanente, tal es el caso del gasoducto Reynosa Monterrey de 14" ϕ propiedad de la Cía. Gas Industrial de Monterrey, que mantienen un gasto constante de 75 MMSCFD el cual permanece inalterable por transcurso de meses. Si se observan las gráficas de manómetros a la entrada y salida del gasoducto se puede ver la presión constante con respecto al tiempo.

Es más conveniente la operación en sistemas de régimen permanente, pero en el sistema de distribución del D.F.N.E. se observan variaciones de demanda en diferentes consumidores. Para desarrollar el procedimiento tendiente a representar el régimen transitorio a partir de condiciones permanentes, se hicieron variar en forma crítica los gastos a -- consumidores de importancia, como son Monterrey, Monclova, Chihuahua en período de 24 horas, quedando la distribución de gastos en todo el sistema en la forma vista en la tabla 1

TABLA 1 EJEMPLO: DE VARIACION DE LOS GASTOS DE GAS EN EL SISTEMA DE DISTRIBUCION D.F.N.E.

TIEMPO EN HORAS	MONTERREY MMSCFD	MONCLOVA MMSCFD	SALTILLO MMSCFD	PARRAS MMSCFD	TORREON MMSCFD	LAGUNA DEL REY MMSCFD	DEL CAMARGO MMSCFD	DELICIAS MMSCFD	CHIHUAHUA MMSCFD	TOTAL MMSCFD
1	127.5	31.5	15.0	1.0	6.0	7.0	23.0	1.0	11.6	223.6
2	130.0	33.0	15.0	1.0	6.0	7.0	23.0	1.0	13.0	229.0
3	135.0	34.4	15.0	1.0	6.0	7.0	23.0	1.0	15.0	237.4
4	139.0	35.9	15.0	1.0	6.0	7.0	23.0	1.0	16.8	244.7
5	143.0	37.3	15.0	1.0	6.0	7.0	23.0	1.0	18.0	251.3
6	148.0	39.0	15.0	1.0	6.0	7.0	23.0	1.0	19.4	259.4
7	152.5	41.0	15.0	1.0	6.0	7.0	23.0	1.0	20.6	267.1
8	157.0	43.2	15.0	1.0	6.0	7.0	23.0	1.0	21.8	275.0
9	161.5	44.8	15.0	1.0	6.0	7.0	23.0	1.0	22.6	281.9
10	165.5	46.5	15.0	1.0	6.0	7.0	23.0	1.0	23.4	288.4
11	170.0	48.3	15.0	1.0	6.0	7.0	23.0	1.0	23.8	295.1
12	175.5	50.3	15.0	1.0	6.0	7.0	23.0	1.0	21.4	300.2
13	179.5	51.5	15.0	1.0	6.0	7.0	23.0	1.0	21.9	305.9
14	187.5	52.8	15.0	1.0	6.0	7.0	23.0	1.0	29.1	315.4
15	185.0	54.0	15.0	1.0	6.0	7.0	23.0	1.0	21.5	313.5
16	184.0	55.1	15.0	1.0	6.0	7.0	23.0	1.0	20.7	312.8
17	182.0	54.8	15.0	1.0	6.0	7.0	23.0	1.0	19.7	309.5
18	179.0	54.4	15.0	1.0	6.0	7.0	23.0	1.0	18.3	304.7
19	176.0	54.0	15.0	1.0	6.0	7.0	23.0	1.0	16.8	299.8
20	173.0	52.5	15.0	1.0	6.0	7.0	23.0	1.0	15.3	293.8
21	168.0	50.7	15.0	1.0	6.0	7.0	23.0	1.0	14.0	285.7
22	163.0	48.6	15.0	1.0	6.0	7.0	23.0	1.0	12.7	277.3
23	158.0	46.2	15.0	1.0	6.0	7.0	23.0	1.0	11.3	268.5
24	151.0	43.2	15.0	1.0	6.0	7.0	23.0	1.0	19.6	256.8

A partir de esta información se generaron 24 distribuciones de presiones, gastos y potencias las cuales fueron delimitadas a ciertos rangos de operación. Parte de los resultados se puede ver en los esquemas del 1 al 8 para distribuciones cada 3 horas.

Con el fin de observar la tendencia de variación de las presiones y gastos contra el tiempo, se construyeron, mediante un programa de computación, una serie de gráficas para los puntos de mayor importancia, las cuales se pueden ver en el esquema núm. 9. Este conjunto de gráficas nos indica, que es posible predecir qué condiciones de operación se obtendrían al efectuarse cualquier variación en el consumo de gas, para cortos o largos períodos. De lo anterior se formuló un procedimiento para obtener este tipo de resultados, el cual se detalla en el diagrama de flujo No.1

Por otra parte, es bien conocido que en todos los grandes sistemas de distribución de gas como es el caso de los gasoductos "Reynosa, Monterrey, Torreón, Chihuahua", el volumen de gas almacenado participa en el consumo de la demanda de gas, principalmente cuando la variación es máxima.

Mediante el procedimiento que se plantea, es factible conocer la tendencia de variación del volumen de gas almacenado con respecto al tiempo. Dado que $V = F(\bar{P}, \bar{Z})$ y de

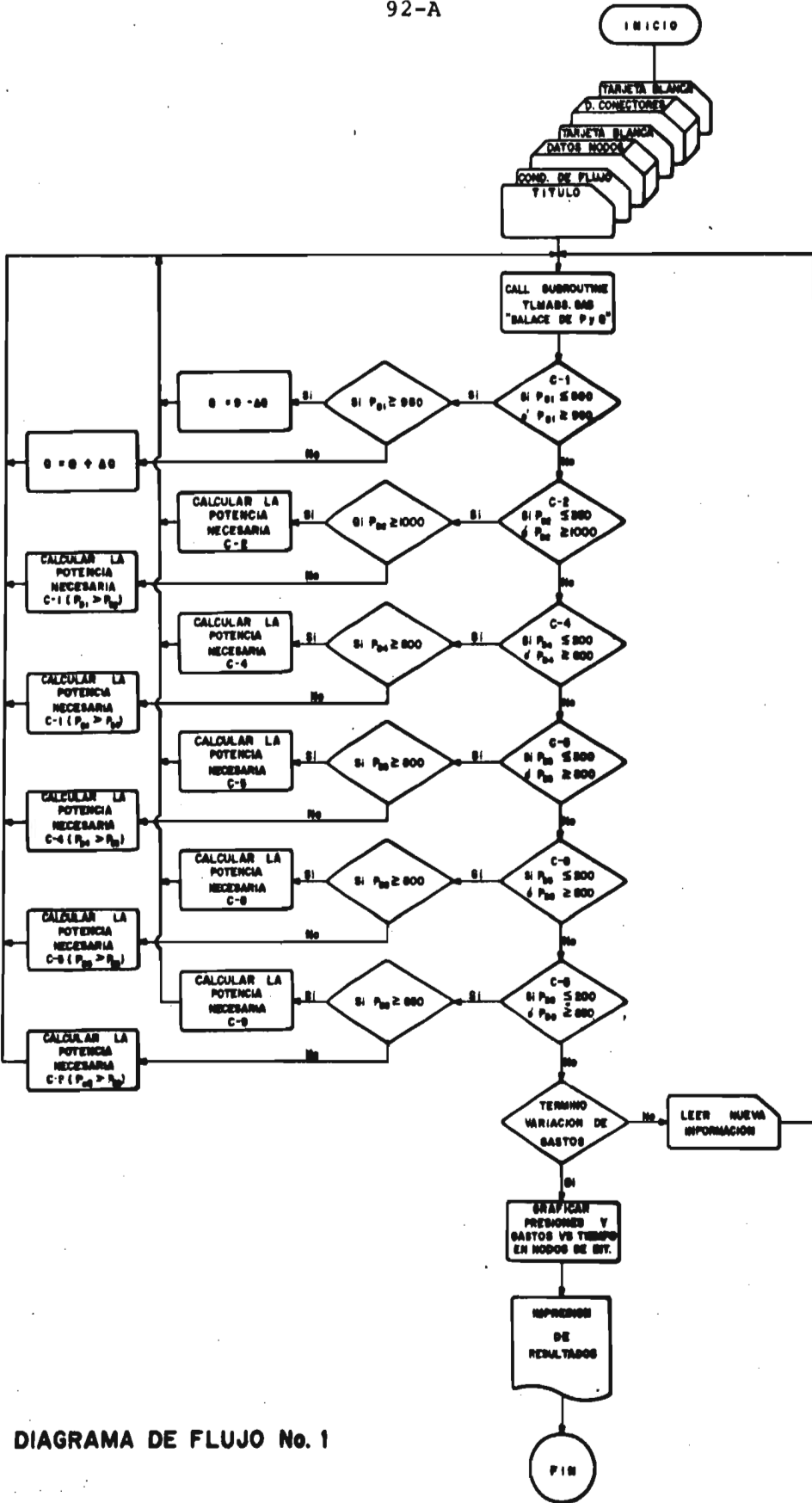


DIAGRAMA DE FLUJO No. 1

quese conoce la distribución de presiones en cada intervalo de tiempo, se puede calcular el volumen de gas almacenado utilizando las ecuaciones siguientes:

$$\bar{Z} = 1 + \left(0.257 - \frac{0.533 T_C}{T}\right) \frac{\bar{P}}{P_C}$$

$$V = 1.9 d^2 L_m \bar{P} \left(\frac{1}{\bar{Z}}\right)$$

Si se consideran nodos ficticios de inyección de gas en el sistema de distribución para determinada --sección que se quiera analizar, se obtiene la entrada total de gas constante y el gasto consumido en forma adicional debido al nodo ficticio de inyección procederá del volumen de gas almacenado.

El ejemplo ilustrativo del procedimiento anterior se llevó a cabo haciendo variar en forma ascendente el consumo de gas en Camargo, correspondiendo estos incrementos de gasto al nodo ficticio. Los resultados se pueden ver en los esquemas 10 y 11, donde se encuentra la distribución de presiones, gastos y potencias como parte de un período de 4 hrs. En el esquema 12 se ven las variaciones de presión, gasto, volumen almacenado contra el tiempo para puntos de interés.

Así es posible colocar diferentes nodos ficticios de inyección en secciones de interés. Otro ejemplo ilustrativo se muestra en el esquema número 13 para el mismo nodo ficticio colocado en el gasoducto de Camargo y otro situado en el nodo número 22. El gas inyectado mediante los nodos ficticios es extraído en Camargo y Delicias.

VI.- CONCLUSIONES.

De los métodos expuestos, tendientes a aproximar una solución a las ecuaciones generales de flujo transitorio, según los autores de los mismos, presentan una serie de desventajas que los limitan en su aplicación a problemas generales. Con el fin de poder aplicar estas soluciones en forma más extensa, los mismos investigadores han relacionado algunos de estos métodos; tal es el caso de una solución combinada entre los métodos de las Características e Implícito. (7) Aún más, por otra parte se ha incluido una modificación a la ecuación general de "Conservación de la Cantidad de Movimiento", consistente en introducir un factor al término de la aceleración con el fin de ampliar la aplicación del método de las Características. (8).

Dentro de las principales desventajas que se tiene en estos métodos de solución, se pueden enumerar las siguientes:

- 1.- Los métodos por integración numérica y funciones de transferencia no son aplicables a ningún sistema de recolección o distribución de gas debido al inmenso trabajo que generan.
- 2.- Método de las Características.- Debido a los pequeños incrementos de tiempo que se aplican en este método, los cuales no deben exceder por razones de estabilidad al

valor $\Delta x/V_s$, se genera un alto costo en cálculos por computadora, principalmente para tiempos grandes y sistemas complejos. La referencia de estos índices queda comprendida entre tiempos mayores de 20 Hrs. y un sistema complejo puede ser el "Sistema de Distribución de Gas del D.F.N.E."

- 3.- Método Explícito.- Presenta análoga desventaja que el método de las Características, sin embargo se han podido aumentar los incrementos de tiempo sujeto a ciertas restricciones empíricas, las cuales han sido impuestas con el fin de mantener la estabilidad del sistema.
- 4.- Método Implícito.- Se logra cierta estabilidad dependiendo del sistema para valores mayores de $\frac{\Delta x}{V_s}$, pero presenta una seria desventaja debido a que su solución requiere de un sistema de ecuaciones simultáneas no lineales, que deben resolverse por métodos iterativos para cada incremento de tiempo. Para sistemas complejos se incrementa notablemente el costo por computadora.
- 5.- Método Variacional.- Su modelo de simulación es el más reciente y el de menor divulgación, pero se considera que para sistemas complejos presentará la misma anomalía que el método implícito, ya que también se genera en su solución un sistema de ecuaciones no lineales y de solución matemática aún más complicada.

En el estudio de los diferentes modelos -

para régimen variable aplicados a sistemas de recolección o distribución de gas, se observan períodos comprendidos entre 12 a 27 Hrs. con incrementos de tiempo desde 0.5 a 5 min. Puede concluirse que es completamente impráctico aplicar algunos de los métodos anteriores, para fijar condiciones de operación en sistemas como el de los gasoductos "Reynosa-Monterrey, Torreón, Chihuahua", en virtud de no poderse realizar en forma simultánea los cálculos con esos incrementos de tiempo - tan pequeños y las variaciones de gasto correspondientes. - Por lo tanto, se considera que los estudios realizados sobre flujo de gas en régimen variable y su aplicación a sistemas complejos, únicamente pueden ser utilizados para predecir un comportamiento aproximado del sistema a partir de datos estadísticos en la variación de demanda. La afirmación anterior es obvia, si se considera que para aplicar alguno de los métodos descritos al "Sistema de Distribución de Gas del D.F.N.E." se tendría que instalar equipo de telemedición y señales a control remoto en puntos de variación de demanda y estaciones de compresión respectivamente; y conectarlos a un centro de computación para desarrollar continuamente los cálculos por medio del método escogido en forma simultánea, para que una vez obtenidos los resultados se enviarán a un centro de control de operación.

Por otra parte el procedimiento planteado -

mediante régimen permanente es de carácter predictivo exclusivamente con apoyo en datos estadísticos y se pueden obtener:

- a) Aproximación de las condiciones de operación diaria del gasoducto "Reynosa-Monterrey-Torreón-Chihuahua".
- b) Predicciones futuras para diseño basadas en producción y demanda.

La justificación para aplicar este procedimiento se basa en los conceptos siguientes:

- 1.- En todos los métodos expuestos para flujo variable el factor de fricción es el mismo que se utiliza en régimen permanente.
- 2.- El método de las Características, de amplia divulgación, utiliza en el desarrollo de sus ecuaciones el régimen permanente como base.
- 3.- Sólomente en las variaciones bruscas de demanda difiere el comportamiento de régimen transitorio y régimen permanente, lo cual generalmente no ocurre en el "Sistema de distribución de gas del D. F.N.E."
- 4.- Mediante este procedimiento se pueden lograr ajustes muy exactos con las condiciones de flujo reales, en virtud de que el modelo matemático en régimen permanente desarrollado en el I.M.P., involucra factores de eficiencia por cada tubería y para cada cálculo de potencia.

N O M E N C L A T U R A .

- D- Diámetro de la Tubería en pies.
- d- Diámetro de la Tubería en pulgadas.
- E- Voltaje.
- f- Factor de Fricción el cual se ajusta por ensaye y error a las condiciones de flujo real.
- g_c - Factor de Conversión $\frac{\text{Lb-pies}}{\text{Lb-seg.}^2}$
- g- Aceleración de la Gravedad pies/seg.²
- h- Elevación de la Tubería en pies.
- I- Corriente Eléctrica
- L- Longitud de la Tubería en pies
- L_m - Longitud de la Tubería en millas
- Δx - Incremento de Longitud en pies
- n- Un multiplicador que denota el componente de enésima frecuencia en una serie armónica.
- P- Presión Absoluta del gas en Lb/pg².
- P_b - Presión Base en Psia.
- P_c - Presión Crítica en Psia.
- Q- Gasto de gas MM pies³st./día.
- R- Constante Universal de los gases. $\frac{\text{Lb-pie}}{\text{mol-}^\circ\text{R}}$
- t- Tiempo en segundos trabajando con ecuaciones diferenciales. Tiempo en horas en funciones de transferencia.
- Δt - Incremento de tiempo en segundos.
- θ - El período de variación en segundos cuando se trabaja

con ecuaciones diferenciales. En horas en funciones de transferencia .

V_x - Velocidad de transporte del gas en pies/seg.

V_p - Velocidad de propagación en pies/seg.

V_c - Una constante igual o menor que V_p en pies/seg.

V_s - Velocidad del sonido en el gas en pies/seg.

V - Volumen de gas en pies³.

ρ - Densidad de gas Lb/pies³

M - Peso molecular del gas en Lb/Lb-mol.

A - Area de la sección transversal en pies²

T - Temperatura del gas °R.

T_c - Temperatura crítica del gas °R.

Z - Factor de supercompresibilidad

B - Impedancia

G - Gasto másico masa/(t-L²).

g_m - Gasto calorífico BTU/(hora-pie³)

K - Conductividad Térmica BTU/(hora-pies-°F)

τ - Esfuerzo Cortante

BIBLIOGRAFIA

1. L.V. Kantorovich y V.I. Krylov 1964
APROXIMATE METHODS OF HIGHER ANALYS
2. J.F. Wilkinson D.V. Holliday, E.H. Batey
K.W. Hannah 1965
TRANSIENT FLOW IN NATURAL GAS TRANSMISSION
SYSTEMS
3. Ralph M. Rotly 1968
INTRODUCTION TO GAS DYNAMICS
4. M. Necati Ozisik 1972
BOUNDARY VALUE PROBLEMS OF HEAT CONDUCTION
5. R.Byron Bird, Warren E Stewart
Edwin N. Lightfoot 1973
TRANSPORT PHENOMENA
6. Tomás Limón Hernández 1975
TRANSPORTE DE GAS EN REGIMEN PERMANENTE
(PROYECTOS I.M.P.)
7. V.L. Streeter y E.B. Wylie
Transactions Vol 249 Dic 1970
"NATURAL GAS PIPELINE TRANSIENTS"
8. E.B. Wylie, M.A. Stoner, V.L. Streeter
Soc. Pet. Eng. Dic 1971
"NETWORK SYSTEM TRANSIENT CALCULATIONS
BY IMPLICIT METHODS"

9. E.B. Wylie, V.L. Streeter, M.A. Stoner
Soc. Pet. Eng. 1972
"UNSTEADY NATURAL GAS CALCULATIONS IN
COMPLEX PIPING SYSTEMS"
10. H.H. Rachford Jr. y Todd Dupont
Transactions Vol 257 Abril 1974
"A FAST HIGHLY ACCURATE MEANS OF MODELING
TRANSIENT FLOW IN GAS PIPELINE SYSTEMS BY
VARIATIONAL METHODS"
11. Francisco Sánchez Arredondo 1975
"APUNTES" OPTIMIZACION DE REDES DE RECOLECCION.
12. Angel Quintero Romo 1975
"APUNTES" DEL METODO DE GALERKIN

APENDICE A

CONSERVACION DE MASA

$$\left\{ \begin{array}{l} \text{Gasto de masa} \\ \text{acumulado} \end{array} \right\} = \left\{ \begin{array}{l} \text{Gasto de masa} \\ \text{entrando} \end{array} \right\} - \left\{ \begin{array}{l} \text{Gasto de masa} \\ \text{saliendo} \end{array} \right\} \quad (\text{A-1})$$

$$\begin{array}{l} \text{Gasto de masa entrando} = \Delta t \rho V_x \pi \Delta r^2 \Big|_x \\ \text{Gasto de masa saliendo} = \Delta t \rho V_x \pi \Delta r^2 \Big|_{x + \Delta x} \\ \text{Acumulación de masa} = \pi \Delta r^2 \Delta x \rho \Big|_{t + \Delta t} - \pi \Delta r^2 \Delta x \rho \Big|_t \end{array}$$

Sustituyendo en la ecuación (A-1)

$$\pi \Delta r^2 \Delta x \rho \Big|_{t + \Delta t} - \pi \Delta r^2 \Delta x \rho \Big|_t = \Delta t \rho V_x \pi \Delta r^2 \Big|_x - \Delta t \rho V_x \pi \Delta r^2 \Big|_{x + \Delta x}$$

dividiendo por $\pi \Delta r^2 \Delta x \Delta t$

$$\frac{\rho \Big|_{t + \Delta t} - \rho \Big|_t}{\Delta t} = - \frac{\rho V_x \Big|_{x + \Delta x} - \rho V_x \Big|_x}{\Delta x}$$

Tomando límites cuando Δt y $\Delta x \Rightarrow$ a cero

$$\frac{\partial \rho}{\partial t} = - \frac{\partial \rho V_x}{\partial x}$$

$$\frac{\partial \rho}{\partial t} + \frac{\partial \rho V_x}{\partial x} = 0$$

(A-2)

de la ecuación de estado gaseoso

$$PV = n Z R T$$

$$n = \frac{\text{MASA}}{M}, \quad \rho = \frac{\text{MASA}}{V} \quad \text{sustituyendo en la ecuación anterior}$$

$$\frac{P}{\rho} = \frac{Z R T}{M} = V_s^2 \quad \text{sustituyendo en la ecuación (A-2)}$$

$$\frac{\partial \frac{P}{V_s^2}}{\partial t} + \frac{A \partial \rho V_x}{A \partial x} = 0$$

$$p \frac{\partial \frac{1}{V_s^2}}{\partial t} + \frac{1}{V_s^2} \frac{\partial p}{\partial t} + \frac{1}{A} \frac{\partial A \rho V_x}{\partial x} = 0 \quad (\text{A-3})$$

como

$$\frac{\partial \frac{1}{V_s^2}}{\partial t} = \frac{\partial \frac{M}{ZRT}}{\partial t} = \frac{M}{RT} \frac{\partial \frac{1}{Z}}{\partial t} = - \frac{M}{Z^2 RT} \frac{\partial Z}{\partial t}$$

ya que

$$\frac{\partial Z}{\partial t} = 0 \quad \text{entonces}$$

$$p \frac{\partial}{\partial t} \frac{1}{v_s^2} = 0 \text{ y } w = A \rho v_x$$

sustituyendo en la ecuación (A-3)

$$\frac{1}{v_s^2} \frac{\partial p}{\partial t} + \frac{1}{A} \frac{\partial w}{\partial x} = 0$$

finalmente

$$\frac{\partial p}{\partial t} + \frac{v_s^2}{A} \frac{\partial w}{\partial x} = 0$$

APENDICE B

CONSERVACION DE CANTIDAD DE MOVIMIENTO

A partir de la figura (1-B), la cantidad de movimiento entra y sale del elemento de volumen en virtud de dos mecanismos:

- a) Por convección, debido al flujo global del fluido
- b) Por transporte molecular a causa de los gradientes de velocidad

Se puede establecer un balance de gasto de cantidad de movimiento.

$$\left. \begin{array}{l} \text{velocidad} \\ \text{de canti-} \\ \text{dad de mo} \\ \text{vimiento} \\ \text{acumulado} \end{array} \right\} = \left. \begin{array}{l} \text{velocidad} \\ \text{de canti-} \\ \text{dad de mo} \\ \text{vimiento} \\ \text{entrando} \end{array} \right\} - \left. \begin{array}{l} \text{velocidad} \\ \text{de canti-} \\ \text{dad de mo} \\ \text{vimiento} \\ \text{saliendo} \end{array} \right\} + \left. \begin{array}{l} \text{suma de} \\ \text{fuerzas que} \\ \text{actuan so--} \\ \text{bre el sis-} \\ \text{tema} \end{array} \right\} \quad (\text{B-1})$$

a) Mecanismo de convección

$$\left. \begin{array}{l} \text{Velocidad de cantidad de} \\ \text{movimiento} \end{array} \right\} \left. \begin{array}{l} \text{Entrando} = \Delta t \pi \Delta r^2 \rho V_x^2 \Big|_x \\ \text{Saliendo} = \Delta t \pi \Delta r^2 \rho V_x^2 \Big|_{x + \Delta x} \end{array} \right\}$$

VOLUMEN DE CONTROL

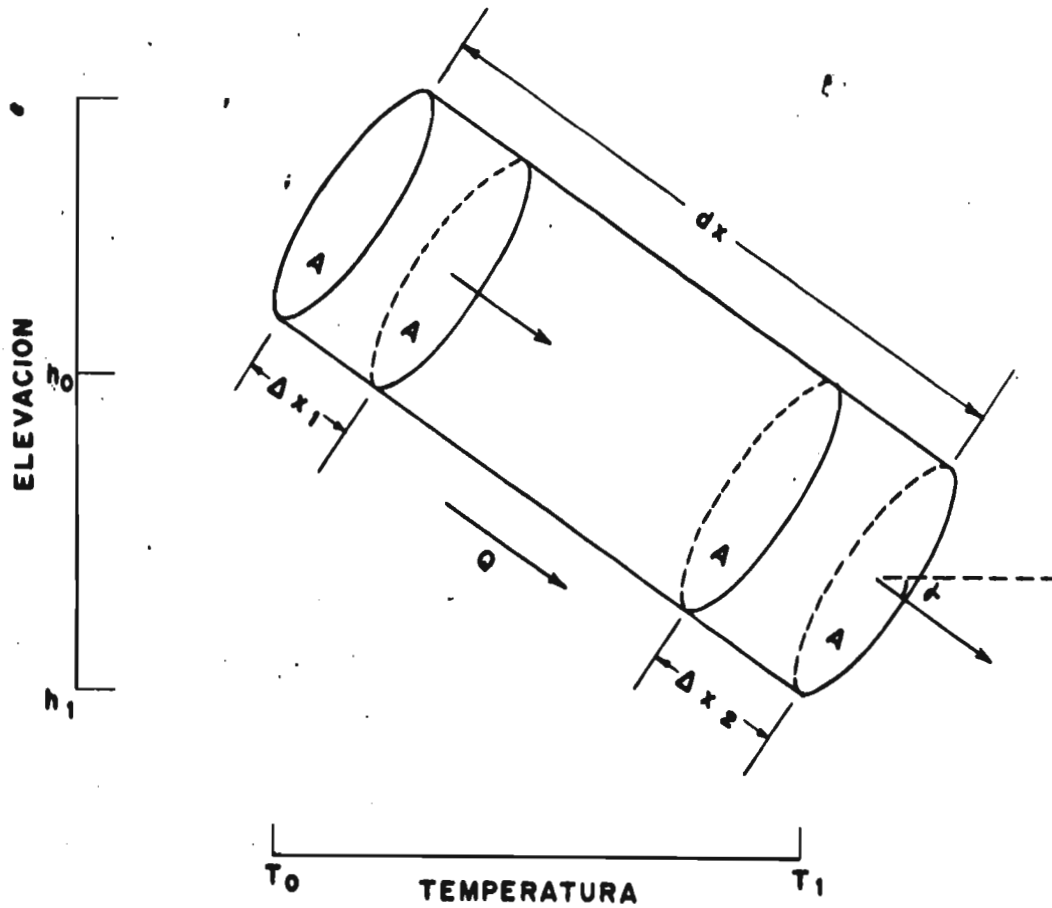


Fig. 1-B

b) Mecanismo por transporte molecular

$$\text{Velocidad de cantidad de movimiento} \left\{ \begin{array}{l} \text{Entrando} = \Delta t 2\pi \Delta r \Delta x \tau_{rx} \Big|_r \\ \text{Saliendo} = \Delta t 2\pi \Delta r \Delta x \tau_{rx} \Big|_{r + \Delta r} \end{array} \right.$$

Fuerzas que actúan sobre el sistema.

$$\text{a) Presión} \left\{ \begin{array}{l} \text{Entrando} = \Delta t \pi \Delta r^2 P \Big|_x \\ \text{Saliendo} = \Delta t \pi \Delta r^2 P \Big|_{x + \Delta x} \end{array} \right.$$

$$\text{b) Gravedad} = \Delta t \rho \pi g \Delta r^2 \Delta x \text{ sen } \alpha$$

La acumulación de cantidad de movimiento es:

$$\pi \Delta r^2 \Delta x \rho V_x \Big|_{t + \Delta t} - \pi \Delta r^2 \Delta x \rho V_x \Big|_t$$

sustituyendo en la ecuación (B-1) y ordenando

$$\begin{aligned} \pi \Delta r^2 \Delta x (\rho V_x \Big|_{t + \Delta t} - \rho V_x \Big|_t) &= \Delta t \Delta r^2 \pi (\rho V_x^2 \Big|_x - \rho V_x^2 \Big|_{x + \Delta x}) \\ &+ \Delta t 2\pi \Delta r \Delta x (\tau_{rx} \Big|_r - \tau_{rx} \Big|_{r + \Delta r}) \\ &+ \Delta t \pi \Delta r^2 (P \Big|_x - P \Big|_{x + \Delta x}) - \Delta t g \rho \pi \Delta r^2 \Delta x \text{ sen } \alpha \end{aligned}$$

$$\frac{\rho V_x |_{t + \Delta t} - \rho V_x |_{t}}{\Delta t} = - \frac{\rho V_x^2 |_{x + \Delta x} - \rho V_x^2 |_{x}}{\Delta x}$$

$$- \frac{2(\tau_{rx} |_{r + \Delta r} - \tau_{rx} |_{r})}{\Delta r} - \frac{P |_{x + \Delta x} - P |_{x}}{\Delta x}$$

$$- g \rho \sin \alpha$$

tomando límites cuando $\Delta t, \Delta x, \Delta r \rightarrow 0$

$$\frac{\partial \rho V_x}{\partial t} = - \frac{\partial \rho V_x^2}{\partial x} - 2 \frac{\partial \tau_{rx}}{\partial r} - \frac{\partial P}{\partial x} - g \rho \sin \alpha$$

$$\frac{\partial \rho V_x}{\partial t} + \frac{\partial \rho V_x^2}{\partial x} + 2 \frac{\partial \tau_{rx}}{\partial r} + \frac{\partial P}{\partial x} + g \rho \sin \alpha = 0 \quad (\text{B-2})$$

Por otra parte de la ecuación de estado de los gases

$$PV = n Z R T \quad (\text{B-3})$$

$$n = \frac{\text{MASA}}{M}, \quad \rho = \frac{\text{MASA}}{V} \quad \text{sustituyendo en}$$

(B-3)

$$\frac{PV}{M} = \frac{Z R T}{M} = \frac{P}{\rho}$$

$$V_s^2 = \frac{P}{\rho} = \frac{Z R T}{M} \quad (\text{B-4})$$

haciendo

$w = A V_x \rho$ la ecuación (B-2) se transforma

$$\frac{1}{A} \frac{\partial w}{\partial t} + \frac{\partial \rho V_x^2}{\partial x} + \frac{2}{\partial r} \frac{\partial \pi r x}{\partial r} + \frac{\partial P}{\partial x} + g \rho \sin \alpha = 0 \quad (\text{B-5})$$

$$\frac{\partial \rho V_x^2}{\partial x} = 2 \rho V_x \frac{\partial V_x}{\partial x} + V_x^2 \frac{\partial \rho}{\partial x} \quad (\text{B-6})$$

$$\frac{\partial \rho V_x}{\partial x} = \rho \frac{\partial V_x}{\partial x} + V_x \frac{\partial \rho}{\partial x} \quad \text{de donde}$$

$$\frac{\partial V_x}{\partial x} = \frac{1}{\rho} \frac{\partial \rho V_x}{\partial x} - \frac{V_x}{\rho} \frac{\partial \rho}{\partial x} \quad \text{sustituyendo en (B-6)}$$

$$\frac{\partial \rho V_x^2}{\partial x} = 2 \rho V_x \left(\frac{1}{\rho} \frac{\partial \rho V_x}{\partial x} - \frac{V_x}{\rho} \frac{\partial \rho}{\partial x} \right) + V_x^2 \frac{\partial \rho}{\partial x}$$

$$\frac{\partial \rho V_x^2}{\partial x} = 2 V_x \frac{\partial \rho V_x}{\partial x} - 2 V_x^2 \frac{\partial \rho}{\partial x} + V_x^2 \frac{\partial \rho}{\partial x}$$

$$\frac{\partial \rho V_x^2}{\partial x} = 2 V_x \frac{\partial \rho V_x}{\partial x} - V_x^2 \frac{\partial \rho}{\partial x} \quad \text{sustituyendo en la}$$

ecuación (B-5)

$$\frac{1}{A} \frac{\partial w}{\partial t} + 2 V_x \frac{\partial \rho V_x}{\partial x} - V_x^2 \frac{\partial \rho}{\partial x} + 2 \frac{\partial \tau r x}{\partial r} + \frac{\partial P}{\partial x} + g \rho \sin \alpha = 0 \quad (B-7)$$

sustituyendo la ec.(B-4) en la ec.(B-7)

$$\frac{1}{A} \frac{\partial w}{\partial t} + \frac{2 V_x}{A} \frac{\partial w}{\partial x} - V_x^2 \frac{\partial P/V_s^2}{\partial x} + 2 \frac{\partial \tau r x}{\partial r} + \frac{\partial P}{\partial x} + g \rho \sin \alpha = 0$$

como V_s es practicamente constante

$$\frac{\partial \frac{P}{V_s^2}}{\partial x} = \frac{1}{V_s^2} \frac{\partial P}{\partial x} \quad \text{por lo tanto la ecuación}$$

anterior se reduce

$$\frac{\partial P}{\partial x} \left(1 - \frac{V_x^2}{V_s^2}\right) + \frac{1}{A} \left(\frac{\partial w}{\partial t} + 2 V_x \frac{\partial w}{\partial x}\right) + 2 \frac{\partial \tau r x}{\partial r} + g \rho \sin \alpha = 0$$

como

$$\frac{V_x^2}{V_s^2} = 0 \quad \text{y} \quad \frac{\partial w}{\partial x} \quad \text{es muy pequeño}$$

comparado con $\frac{\partial w}{\partial t}$ y se puede despreciar, la ecuación anterior

se reduce a:

$$\frac{\partial p}{\partial x} + \frac{1}{A} \frac{\partial w}{\partial t} + \frac{2}{\partial r} \frac{\partial \tau_{rx}}{\partial r} + g \rho \operatorname{sen} \alpha = 0 \quad (\text{B-8})$$

Para establecer τ_{rx} en función de la presión se utilizan las siguientes ecuaciones.

La densidad de flujo de cantidad de movimiento en una tubería queda expresado por

$$\tau_{rx} = \frac{(P_1 - P_2)r}{2L} \quad \text{derivando con respecto a } r$$

$$\frac{\partial \tau_{rx}}{\partial r} = \frac{(P_1 - P_2)}{2L} \quad \text{sustituyendo la fórmula}$$

de DARCY WEISBACH

$$(P_1 - P_2) = \frac{f \rho L V_x^2}{2D}$$

$$\frac{\partial \tau_{rx}}{\partial r} = \frac{f \rho L V_x^2}{4 DL} \quad (\text{B-9})$$

como

$$V_x = \frac{q}{A}, \quad q = \frac{w}{\rho}, \quad V_x = \frac{w}{A\rho}$$

$$V_x^2 = \frac{w^2}{A^2 \rho^2} \quad \text{sustituyendo en la ecuación (B-9)}$$

$$\frac{\partial \tau r x}{\partial r} = \frac{f w^2}{4 D A^2 \rho} \Rightarrow \frac{\partial \tau r x}{\partial r} = \frac{f w^2 V_S^2}{4 D A^2 \rho} \quad \text{sustituyen}$$

do en la ecuación (B-8)

$$\frac{\partial P}{\partial x} + \frac{1}{A} \frac{\partial w}{\partial t} + \frac{g \rho}{V_S^2} \text{sen } \alpha + \frac{f w^2 V_S^2}{2 D A^2 \rho} = 0 \quad (\text{B-10})$$

Otra forma de escribir esta ec. (B-10) se obtiene partiendo de la ec. (B-2):

$$\frac{\partial \rho V_x}{\partial t} + \frac{\partial \rho V_x^2}{\partial x} + \frac{2 \partial \tau r x}{\partial r} + \frac{\partial P}{\partial x} + g \rho \text{sen } \alpha = 0$$

$$\frac{2 \partial \tau r x}{\partial r} = \frac{f \rho V_x^2}{2 D}$$

y $\text{sen } \alpha = \frac{\partial h}{\partial x}$ por lo que la ecuación (B-2) se reduce a

$$g \rho \frac{\partial h}{\partial x} + \frac{\partial P}{\partial x} + \frac{\partial \rho V_x}{\partial t} + \frac{\partial \rho V_x^2}{\partial x} + \frac{f \rho V_x^2}{2 D} = 0$$

EJEMPLO NUMERICO METODO IMPLICITO

```

PROGRAM MODOS (INPUT,OUTPUT,TAPPE=INPUT,TAPPE=OUTPUT)
DIMENSION F(20)
COMMON C(20,21),A(20)
READ(5,1)A,II
1 FORMAT(21F)
TOL=0.5
SAL=0.0
VCG=1255794.0
VC=25440.0
P11=710.05 - DATA
P21=470.2 - DATA
P22=425.0 - DATA
P12=660.0 SUP
Q12=4.022 - DATA
Q22=2.500 SUP
X11=2.375 DATA
X12=4.022 SUP
X21=2.375 DATA
X22=2.500 - SUP
DS=50040.0 - DATA ZONE
PEI=600.0 - DATA ZONE
DI=0.5104 - DATA
A=0.2046 - DATA
F=1.0115 - DATA
WRITE(6,16)
16 FORMAT(1X,///,4)X,FORMAT(70,///)
20 CP=32.17*(P22+P12-P21-P11)*144.0
C1=P22+P21-P12-P11
F(1)=C1*VCG/A*PEI/DEX*DS
CP1=32.17*(P22+P21-P12-P11)*144.0
C1=P22+P12+P21+P11
CP2=P22+P12+P21+P11
F(2)=C1*DS/(PEI+A)*VC*(1+2*ABS(CP2)/(4.0*A*A*DI*CP2)*
122.17/432.04
F(3)=P12+P12
F(4)=P22+P22
IF (ABS(F(1)).LT.TOL.AND.ABS(F(2)).LT.TOL.AND.ABS(F(3)).LT.TOL.AND.
165(F(4)).LT.TOL)GO TO 90
C(1,1)=-VCG*F(1)/(A*DS)
C(1,2)=VCG*PEI/(A*DS)
C(1,3)=4632.48
C(1,4)=0.0
CC=P22+P21+A*11
IF (P22.CE.CC)GO TO 11
C(2,1)=DS*(PEI+A)-FR*VCG*DEX*CP2/(18530.0*A*A*CP2*DI)+FR*VCG*DEX
1*ABS(CP2)/(18530.0*A*A*CP2*DI)
GO TO 12
11 C(2,1)=DS*(PEI+A)+FR*VCG*DEX*CP2/(18530.0*A*A*CP2*DI)+FR*VCG*DEX
1*ABS(CP2)/(18530.0*A*A*CP2*DI)
13 CC=P21+A*12+A*11
IF (P22.CE.CC)GO TO 12
C(2,2)=DS*(PEI+A)-FR*VCG*DEX*CP2/(18530.0*A*A*CP2*DI)+FR*VCG*DEX
1*ABS(CP2)/(18530.0*A*A*CP2*DI)
GO TO 14
12 C(2,2)=DS*(PEI+A)+FR*VCG*DEX*CP2/(18530.0*A*A*CP2*DI)+FR*VCG*DEX
1*ABS(CP2)/(18530.0*A*A*CP2*DI)

```

```

14 C(2,3)=-4632.00-FR*VCG*DEX*CX2*ABS(CP2)/(18530.0*ASA*DI*CP2*CP2)
   C(2,4)=0.0
   C(3,1)=-1.0
   C(3,2)=0.0
   C(3,3)=0.0
   C(3,4)=0.0
   C(4,1)=0.0
   C(4,2)=1.0
   C(4,3)=0.0
   C(4,4)=-1.0
   DO 40 I=1,4
   C(I,M)=-F(I)
40 CONTINUE
   WRITE(6,17)((C(I,J),J=1,4),I=1,4)
17 FORMAT(5F16.3)
   WRITE(6,10)
10 FORMAT(///,2X,90(1H*),///)
   CALL CHARR(N,4)
   SAK=SAK+1.0
   IF(SAK.GT.30.0)GO TO 15
   W12=W12+X(1)
   W22=W22+X(2)
   P12=P12+X(3)
   Q22=Q22+X(4)
   GO TO 40
20 Q22=Q22*8400.0/0.04966
   WRITE(6,12)
12 FORMAT(1F1.7///,50X,90(1H*)TAPES*,///)
   WRITE(6,19)P12,Q22,12,Q22
19 FORMAT(10X,*,P12=*,F7.2,*,PSTA *,///,2X,*,Q22=*,F12.0,*,PIFS
187/OTA *,///,62X,*,P12=*,F7.2,*,LRS/SEG *,///,62X,*,W22=*,F7.2
20 LRS/SEG *,///)
   WRITE(6,300)
300 FORMAT(///,5X,52(1H*),///,12X,*,PROGRAMA EFECTUADO POR IGNACIO OSORIO
1 *,///,5X,52(1H*))
15 CALL EXIT
END

```

```

SUBROUTINE CHARR(N,M)
COMMON C(20,21),X(20)
C SOLUCION DE ECUACIONES SIMULTANEAS
C POR EL METODO DE ELIMINACION DE GAUSS
5 C
C CONSIDERANDO PIVOTEO
C
REAL MER,ME
C
10 C NUMERO DE CAMBIOS PARA ENCONTRAR
C EL ELEMENTO DE LA COLUMNA (I)
C
C I=M-1
C DO 10 I=1,M-1
15 C IK=I
C ME=ABS(C(I,I))
C
C VALOR DEL PUNTO DE PARTIDA (MIN)
C MIN=I+1
20 C
C BUSQUEDA DEL MAYOR ELEMENTO PIVOTE ←
C
C DO 20 K=MIN,N
C ME=ABS(C(K,I))
25 C IF (ME>ME) 3,20,20
C ME=ME
C IK=K
20 CONTINUE
C
30 C DECISION SOBRE EL INTERCAMBIO DE FILAS
C
C IF (IK-I) 5,6,5
C
C INTERCAMBIO DE FILAS
25 C
C DO 30 J=1,M
C F1=C(IK,J)
C C(IK,J)=C(I,J)
40 C C(I,J)=F1
C
C CALCULO DE LOS NUEVOS ELEMENTOS
C
C DO 40 K=MIN,N
C C=C(K,I)/C(I,I)
45 C DO 40 J=MIN,N
C C(K,J)=C(K,J)-C*C(I,J)
C DO 10 K=MIN,N
10 C(K,I)=0.
C
C CALCULO
C X(N)=C(N,M)/C(N,N)
C DO 50 NN=1,N-1
C SUM=0.
C I=N-NN
55 C IM=I+1
C DO 60 J=IM,N
C SUM=SUM+C(I,J)*X(J)
60

```

a_{11}	a_{12}	a_{13}
a_{21}	a_{22}	a_{23}
a_{31}	a_{32}	a_{33}

a_{11}	a_{12}	a_{13}
a_{21}	a_{22}	a_{23}
a_{31}	a_{32}	a_{33}

40 Y(T) = (C(T.M) - SUM) / C(T.T)

RETURN

END

40



000.0	-1.000	000.0	000.0	000.0
000.0	0.000	000.0	0.000	-1.000
-271.350	0.000	-4784.144	17230.402	37230.402
000.0	0.000	4632.480	63021.760	-63021.760

000.0	-1.000	000.0	000.0	000.0
000.0	0.000	000.0	0.000	-1.000
-52925.244	0.000	-4752.064	38922.301	38922.301
000.0	0.000	4632.480	63021.760	-63021.760

000.0	-1.000	000.0	000.0	000.0
000.0	0.000	000.0	0.000	-1.000
216715.596	0.000	-4650.595	25066.760	25066.760
481422.754	0.000	4632.480	63021.760	-63021.760

RESULTADOS

P12 = 471.13 PSTA

G22 = 10673833. PIFS 3/DIA

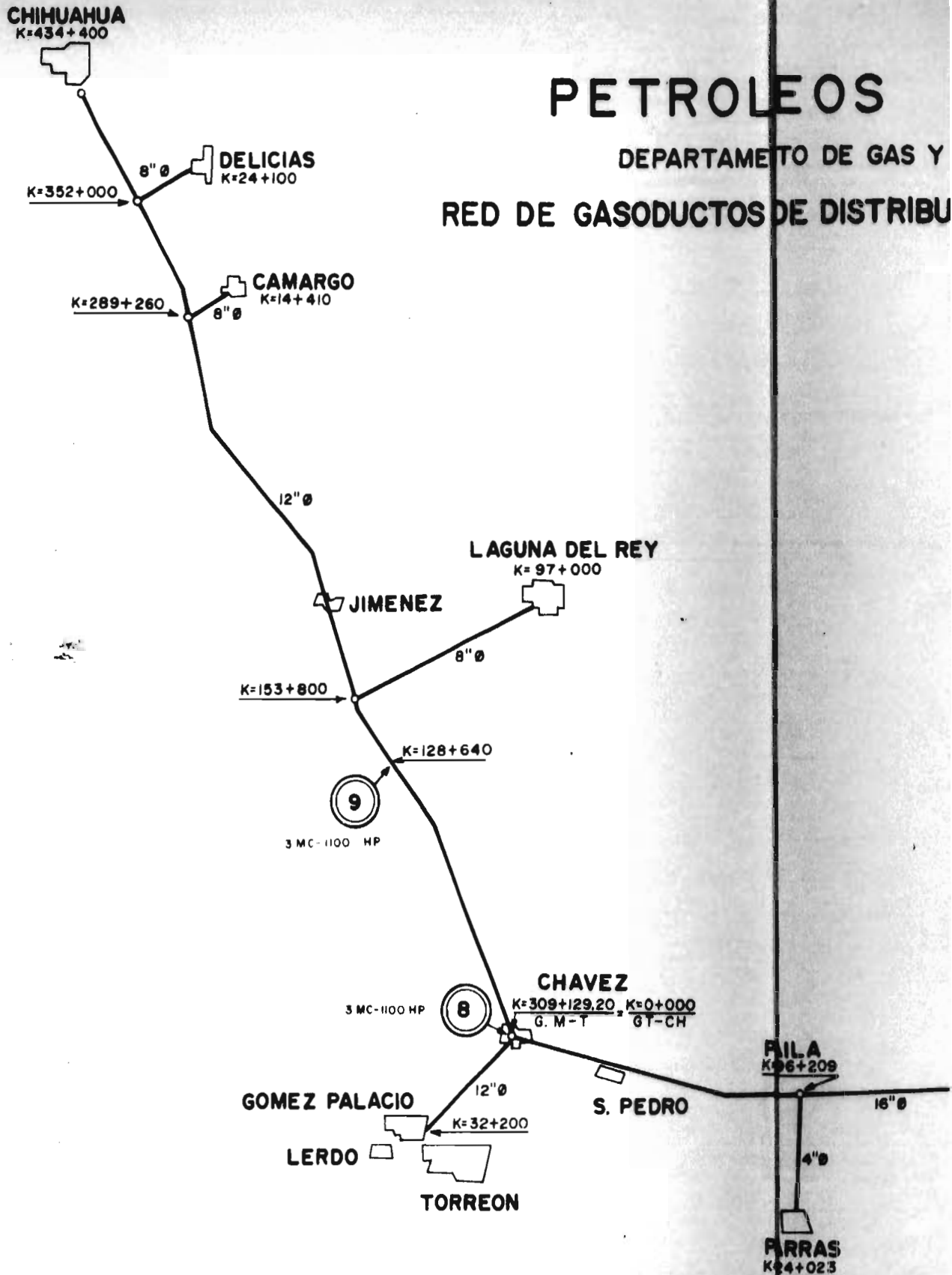
W12 = 4.02 LRS/SEG

W22 = 11.31 LRS/SEG

PROGRAMA EFECTUADO POR IGNACIO OSCHIO

PETROLEOS

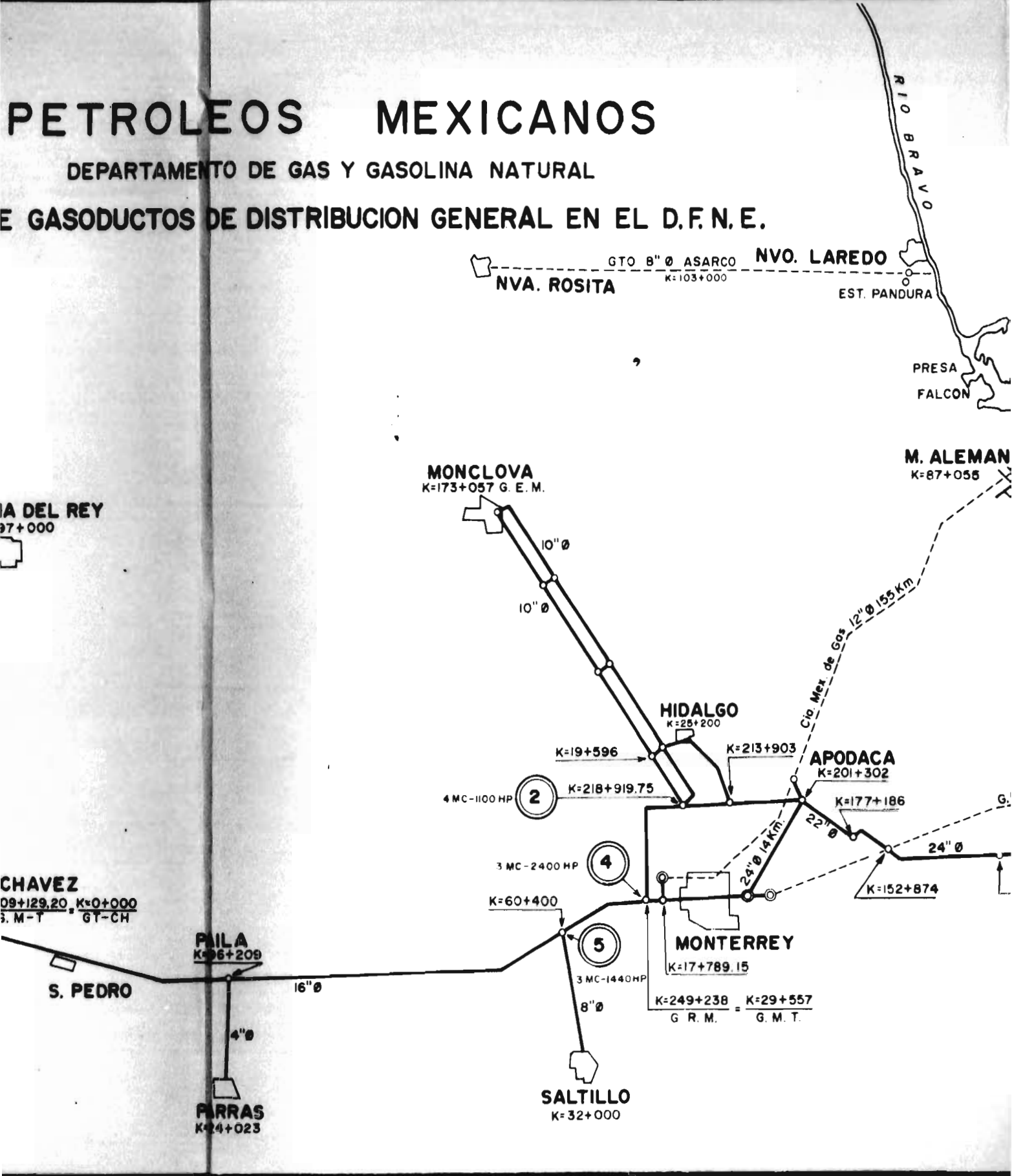
DEPARTAMENTO DE GAS Y
RED DE GASODUCTOS DE DISTRIBU



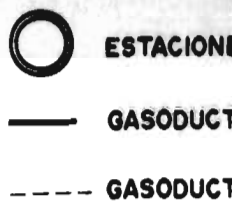
PETROLEOS MEXICANOS

DEPARTAMENTO DE GAS Y GASOLINA NATURAL

E GASODUCTOS DE DISTRIBUCION GENERAL EN EL D.F. N.E.



SIGNOS

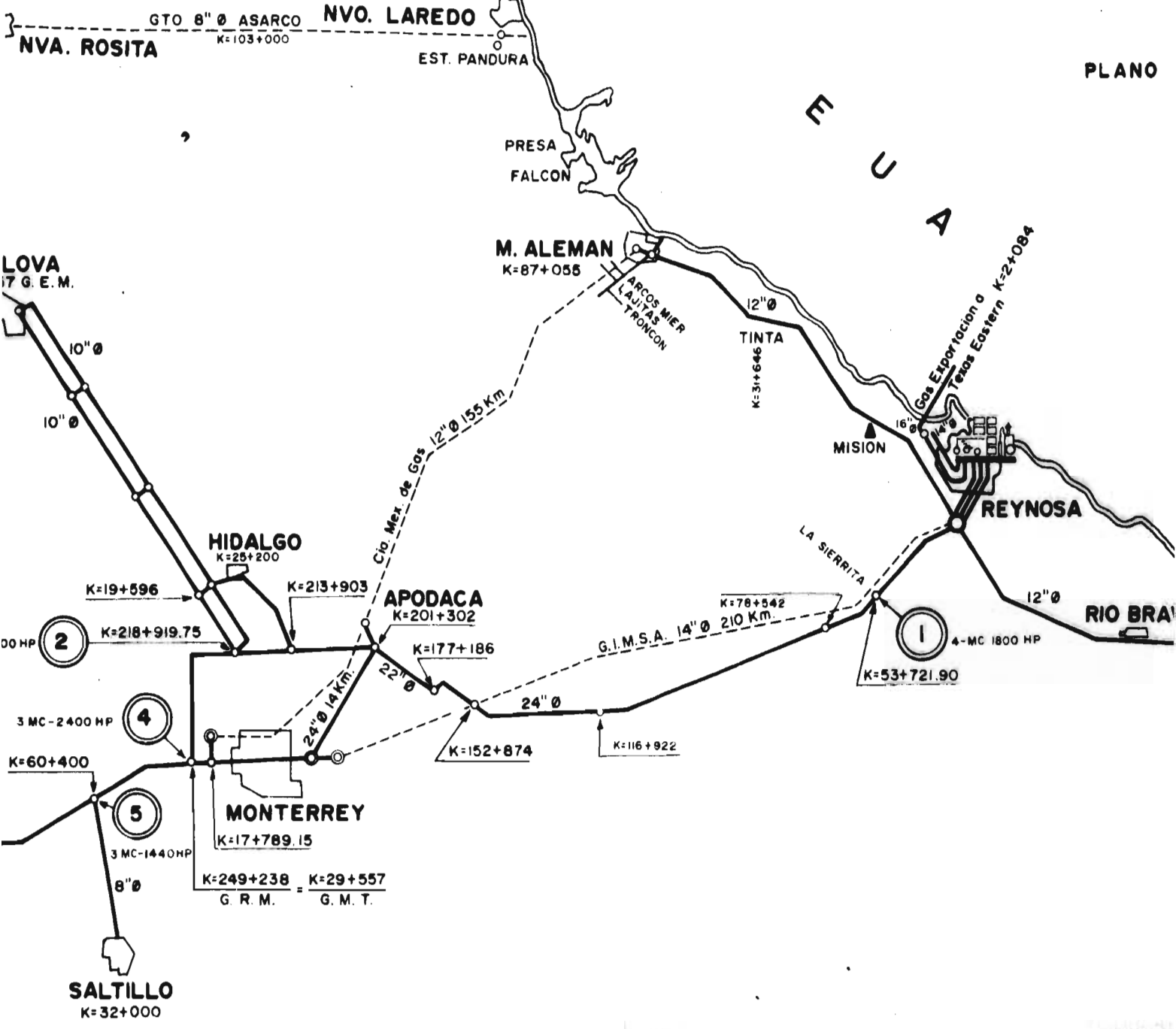


PLANO

CANOS

NATURAL

ERAL EN EL D.F.N.E.



SIGNOS CONVENCIONALES



ESTACIONES DE COMPRESION

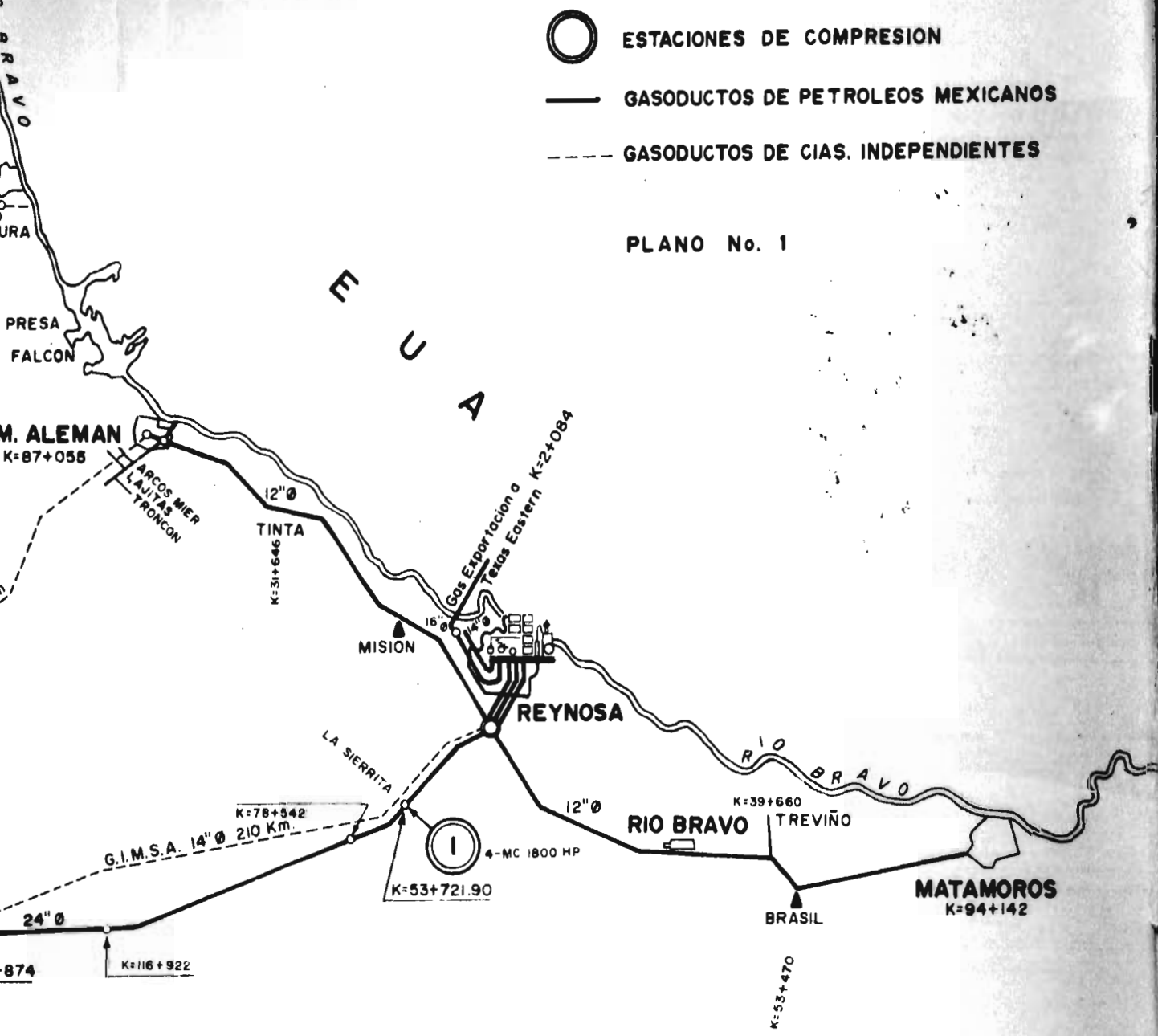


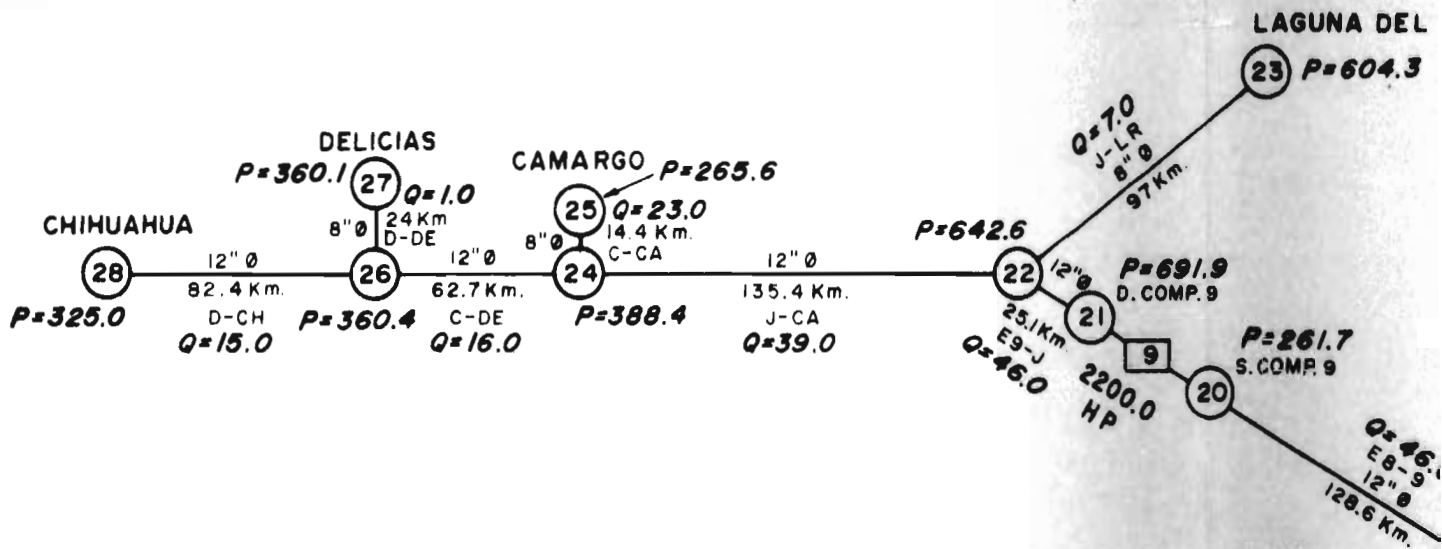
GASODUCTOS DE PETROLEOS MEXICANOS

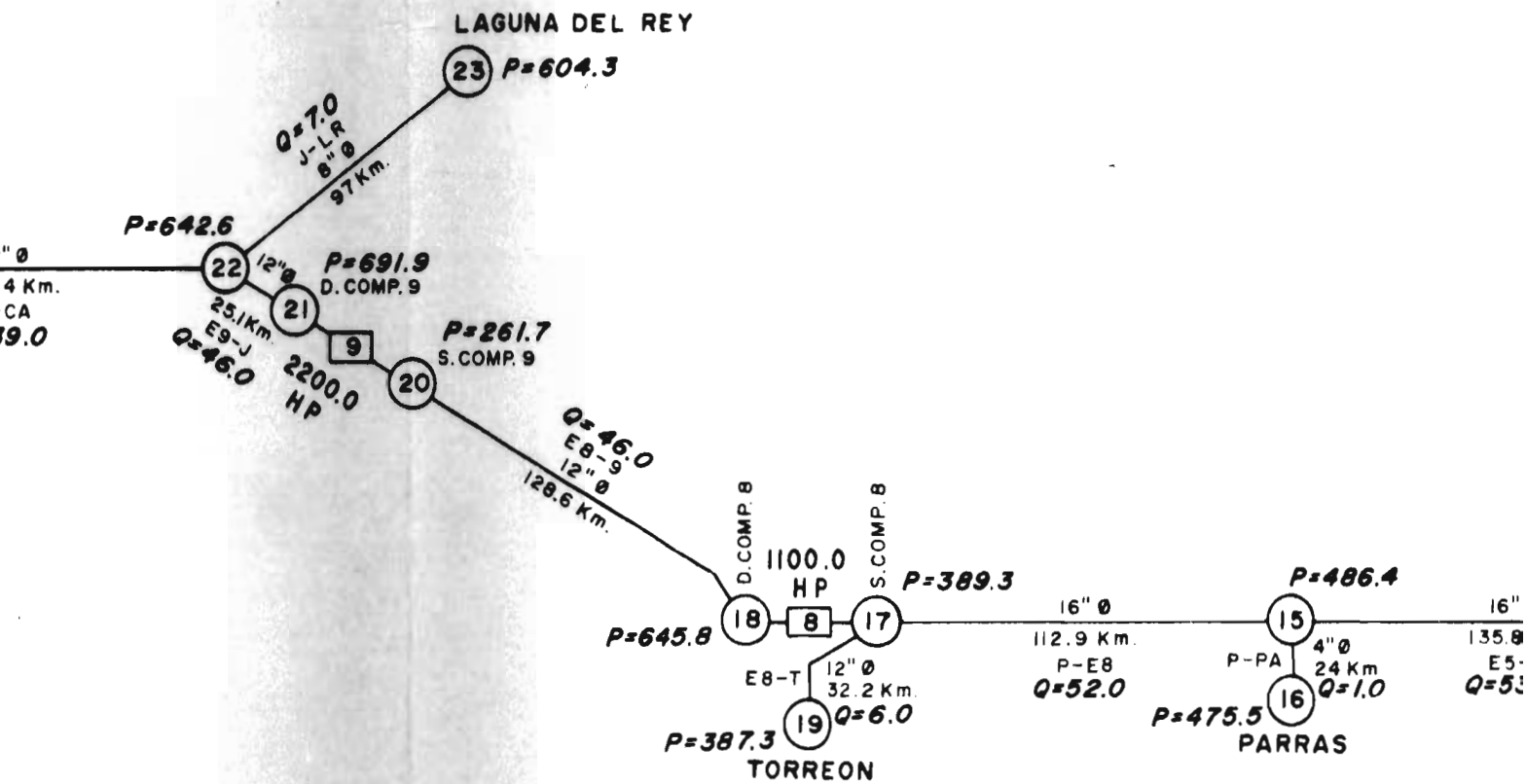


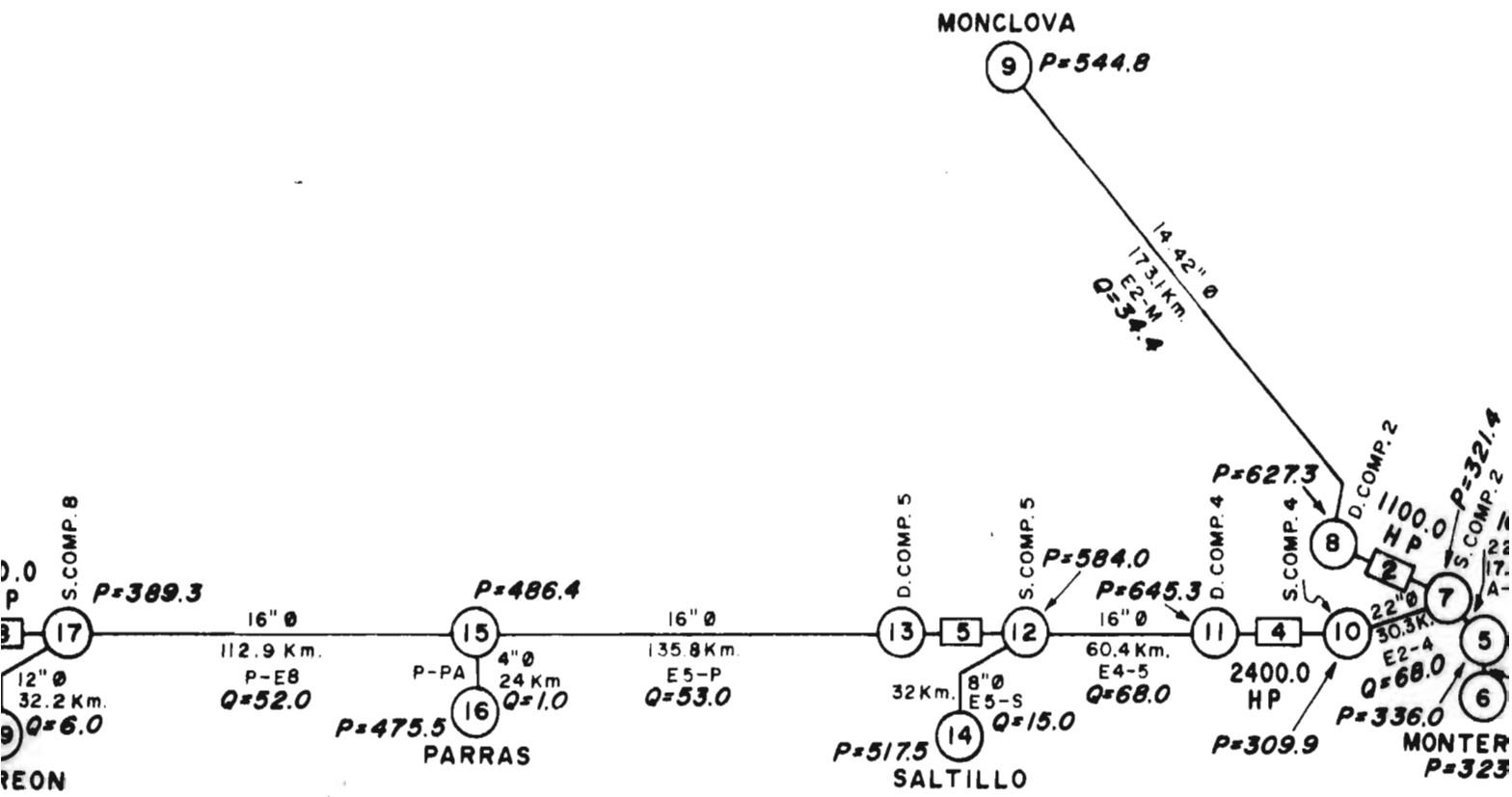
GASODUCTOS DE CIAS. INDEPENDIENTES

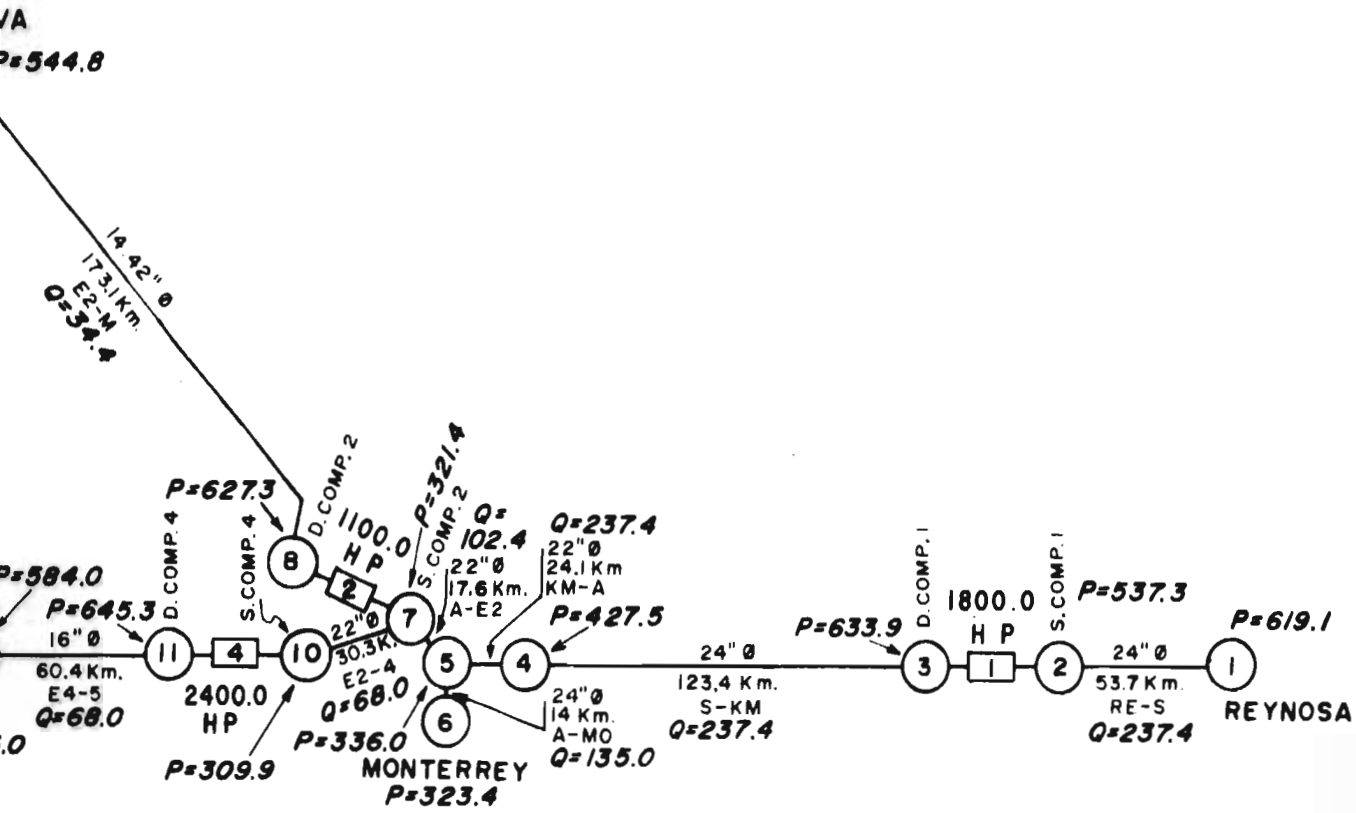
PLANO No. 1









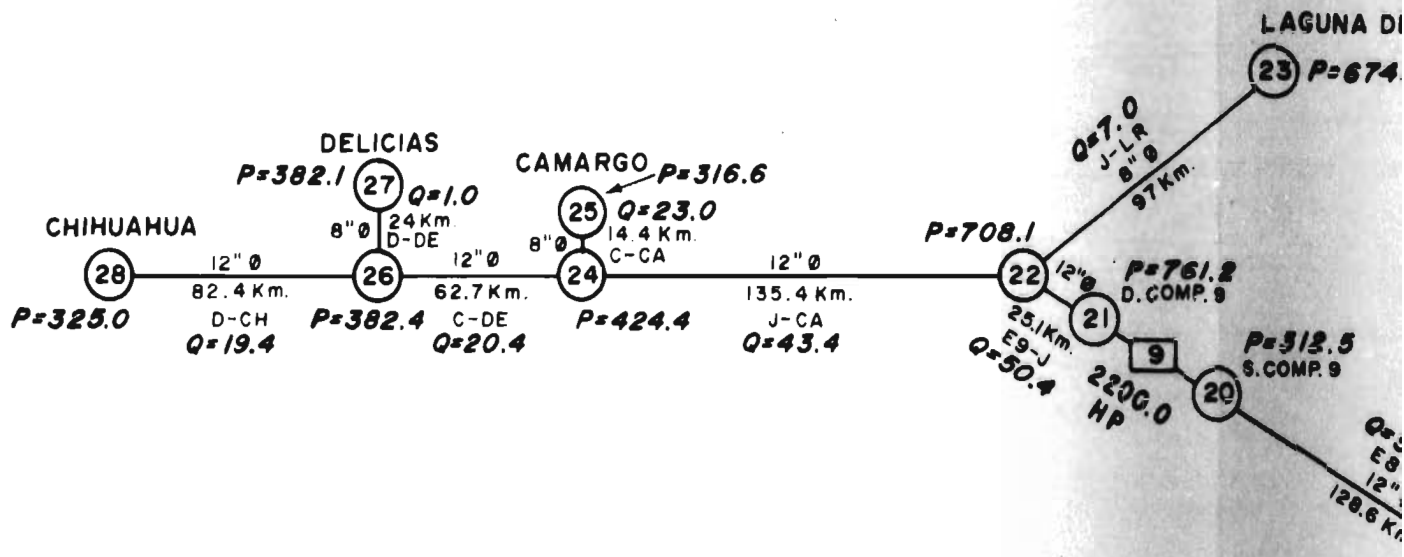


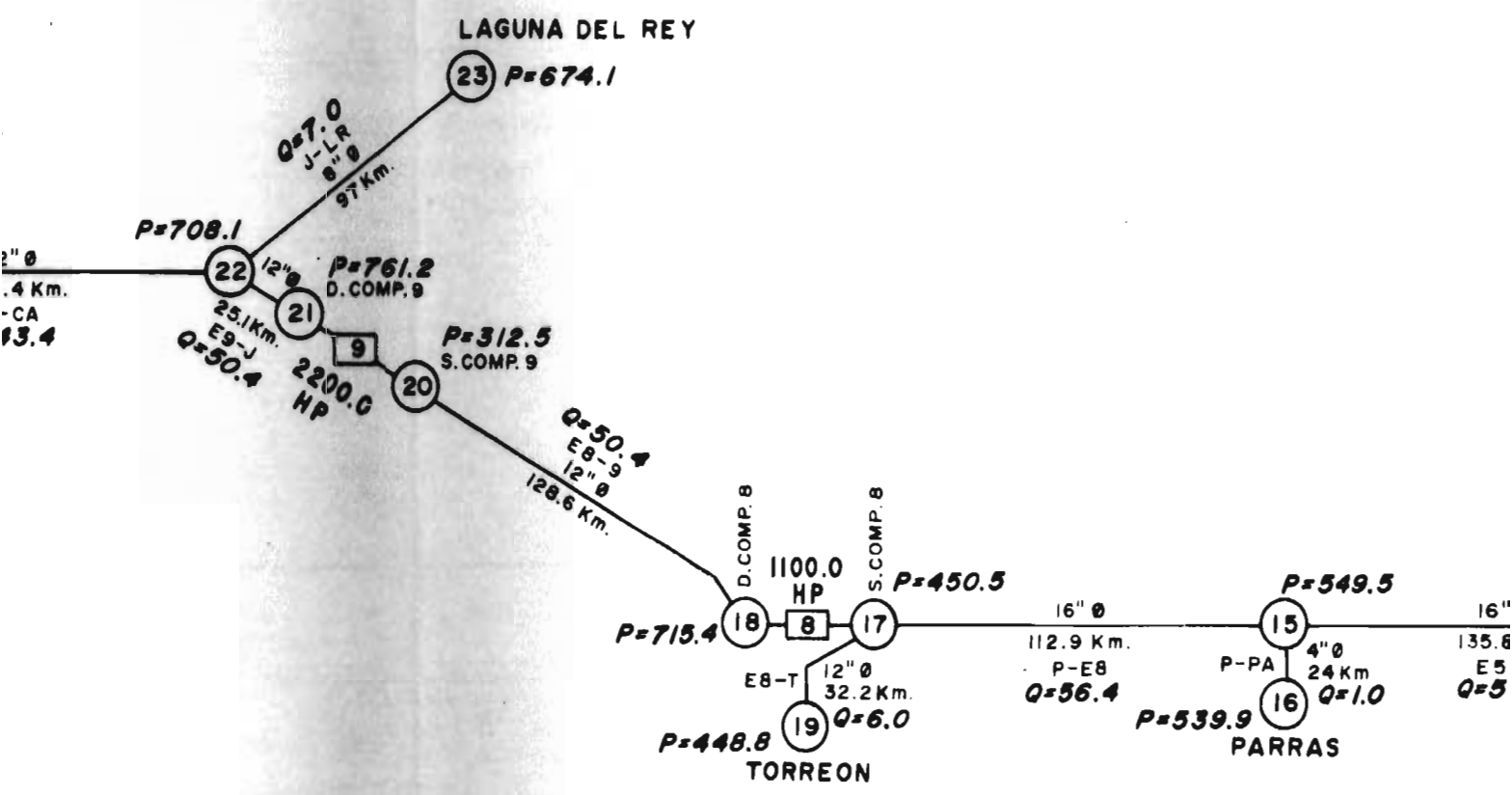
**SISTEMA DE DISTRIBUCION
DE GAS D.F.N.E.**

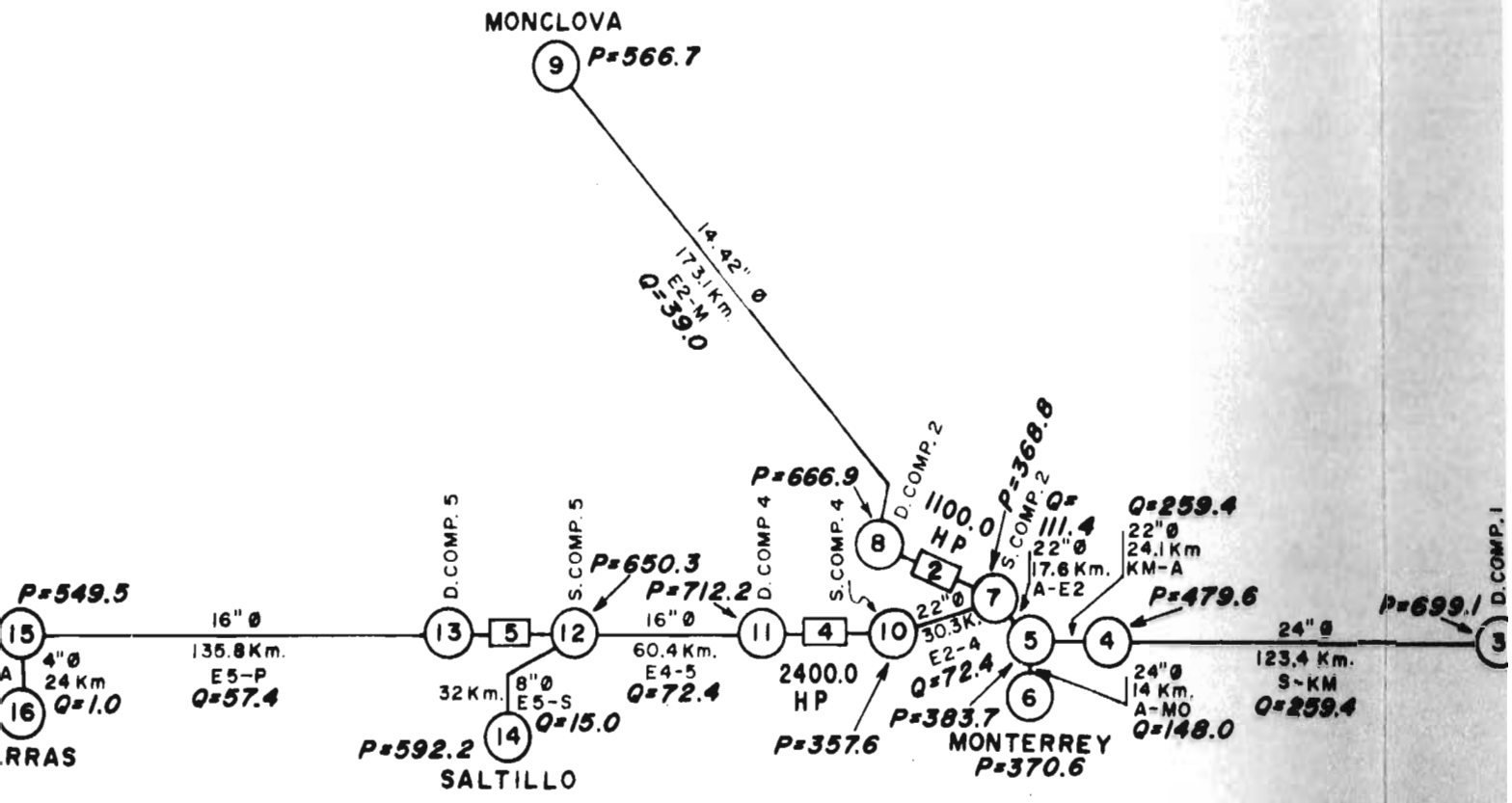
**(BALANCE DE PRESIONES,
GASTOS Y POTENCIA)**

Q-EN MMSCFD P-EN PSI

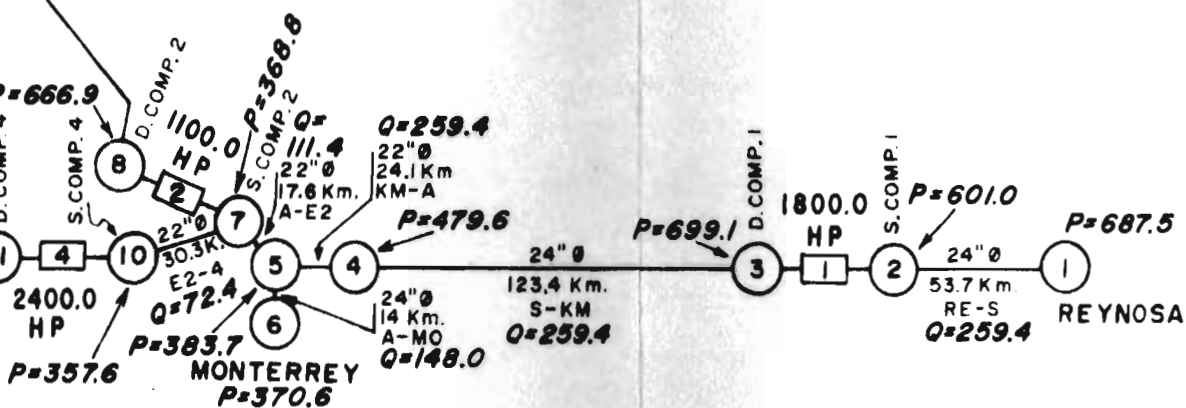
FECHA MARZO 1976 ESQUEMA No. 1







O-A
 FEC



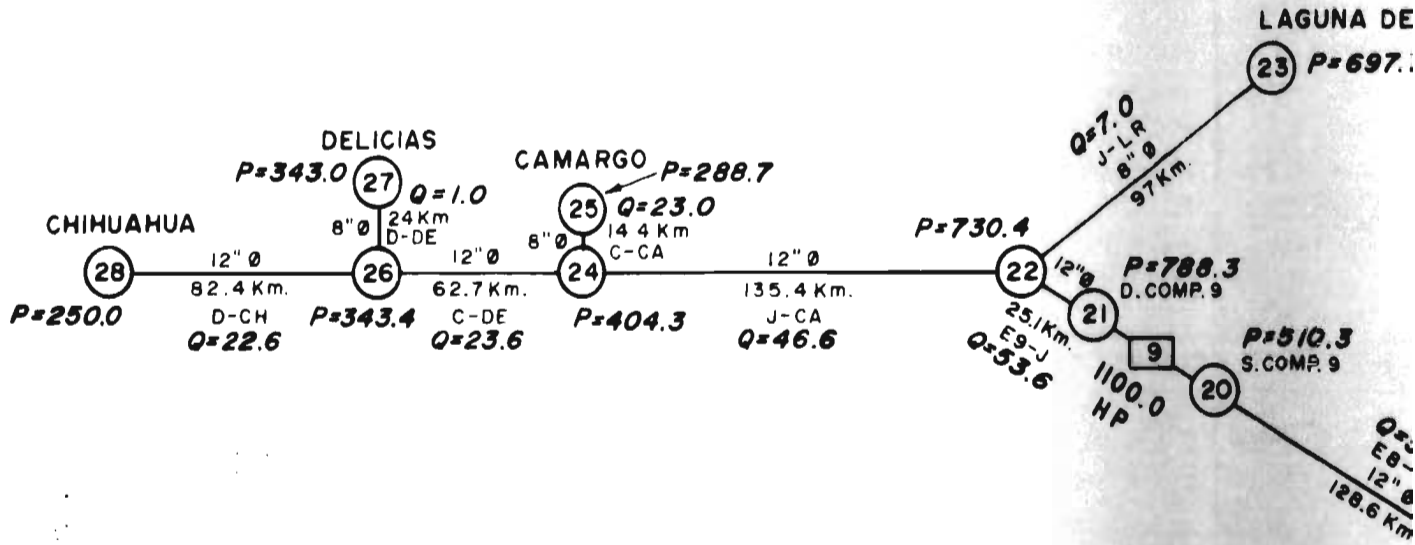
SISTEMA DE DISTRIBUCION
DE GAS D.F. N. E.

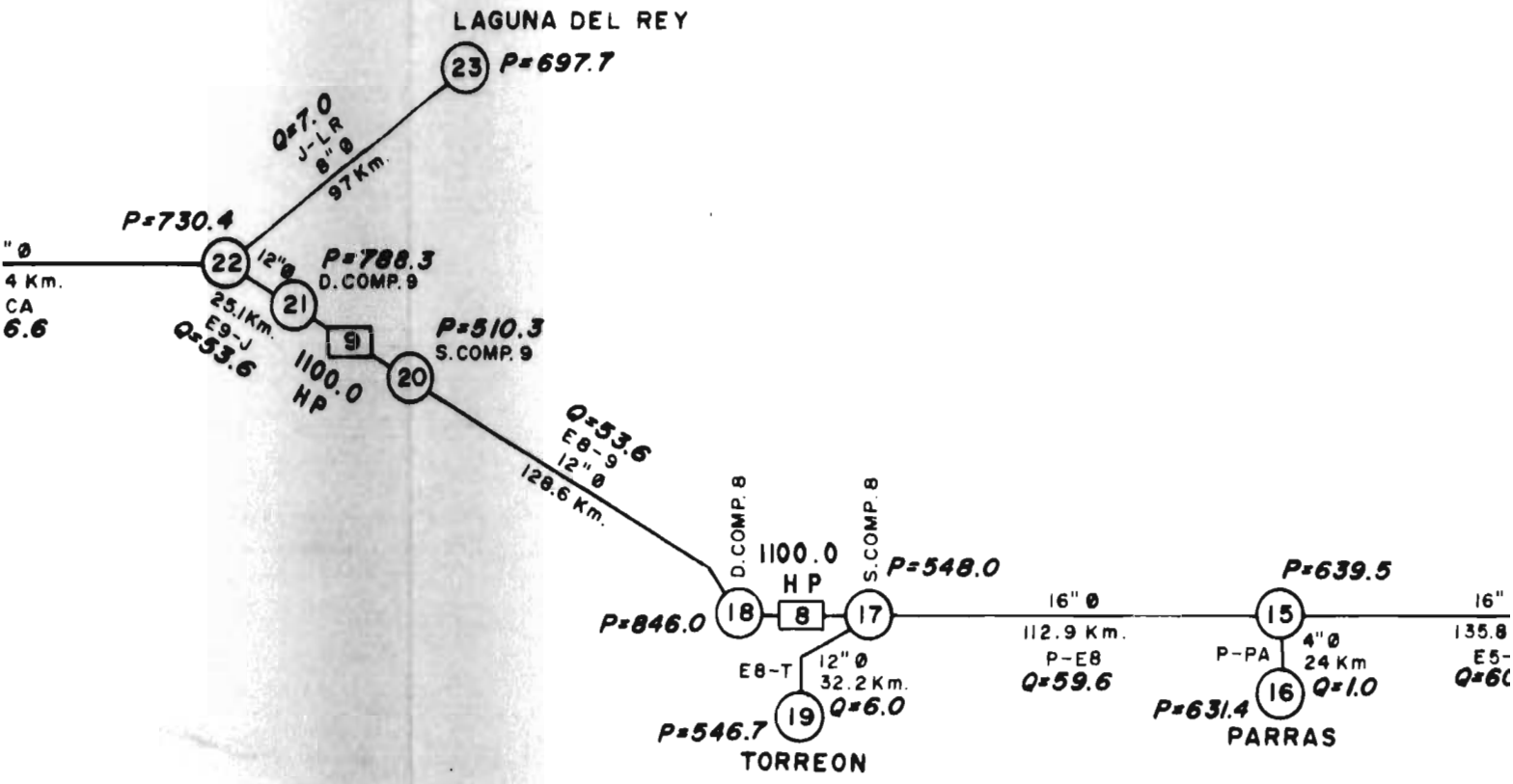
(BALANCE DE PRESIONES,
GASTOS Y POTENCIA)

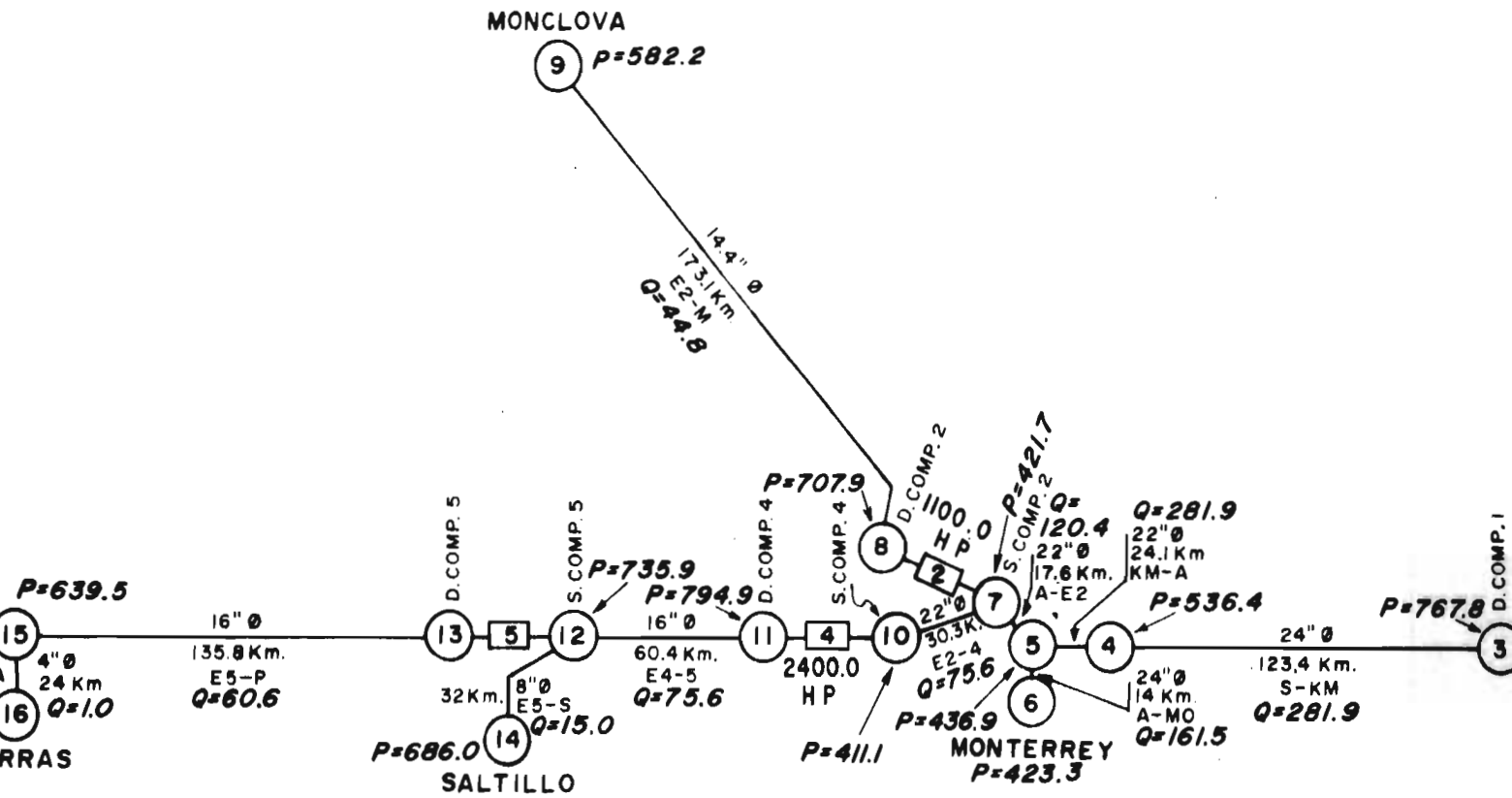
Q-EN MMSCFD P-EN PSI

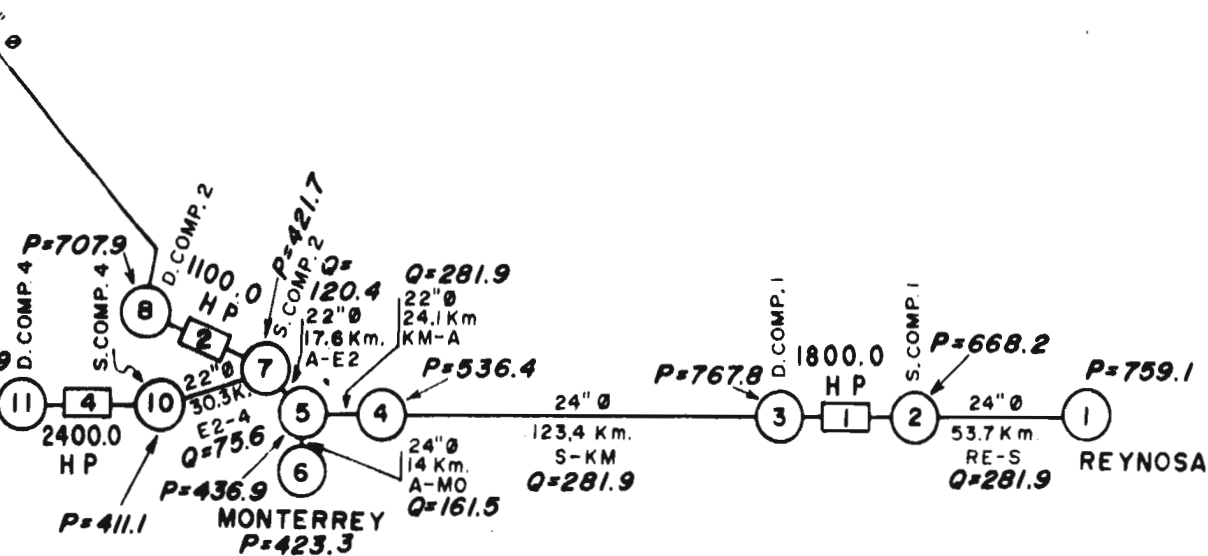
FECHA MARZO 1976

ESQUEMA No. 2









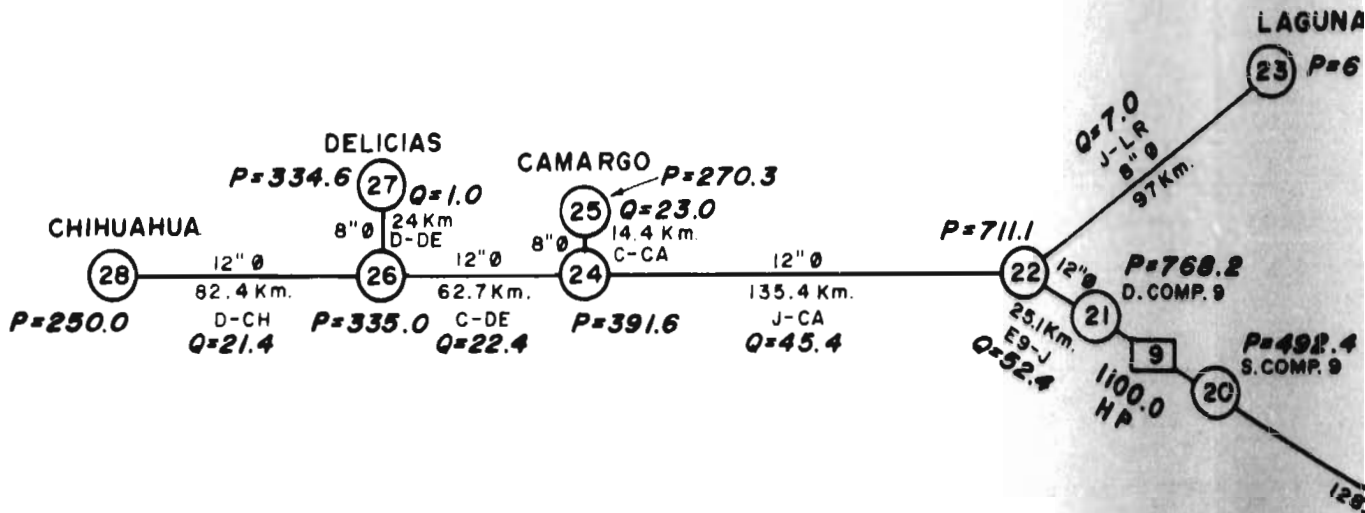
SISTEMA DE DISTRIBUCION
DE GAS D.F.N.E.

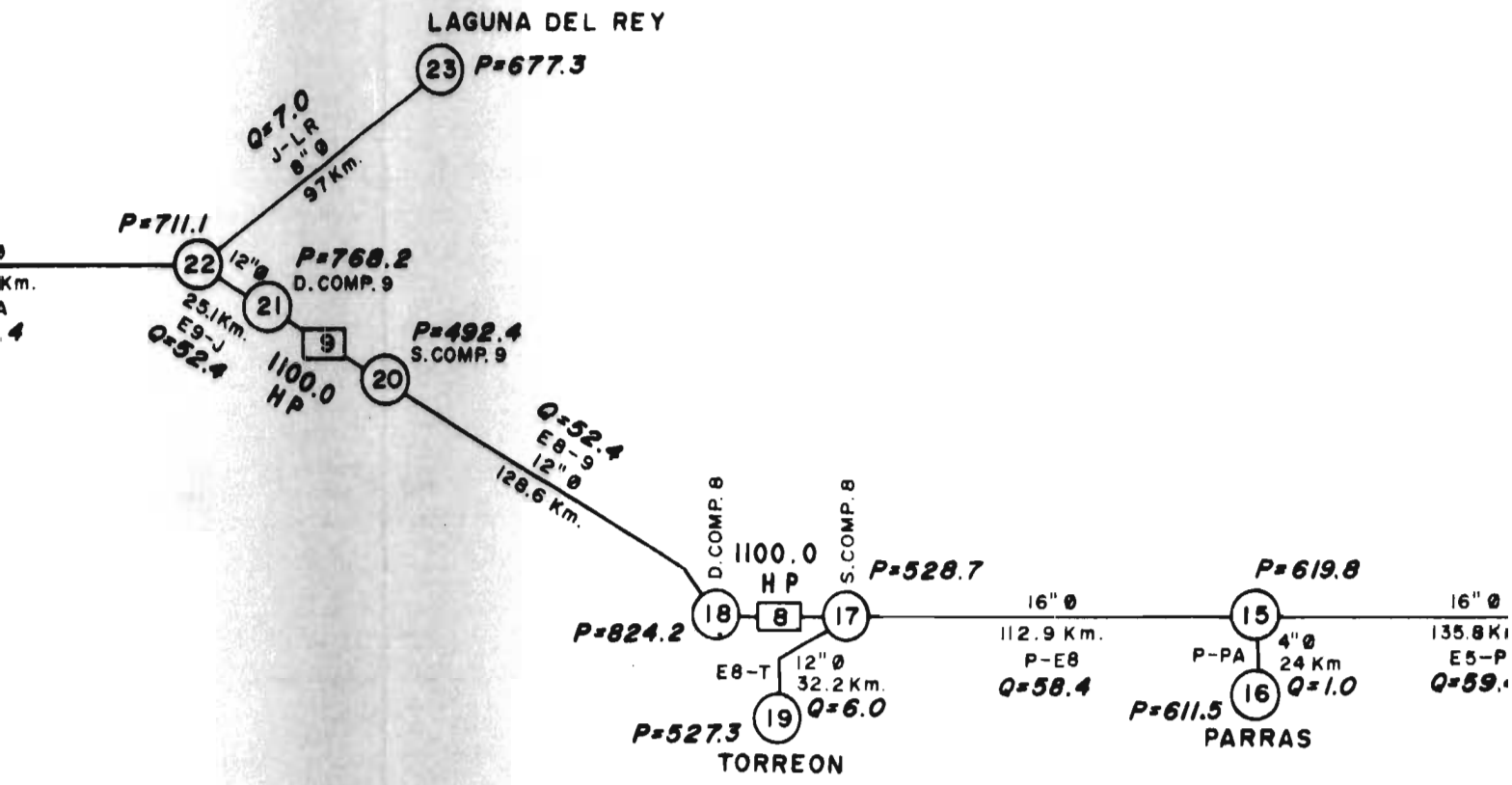
(BALANCE DE PRESIONES,
GASTOS Y POTENCIA)

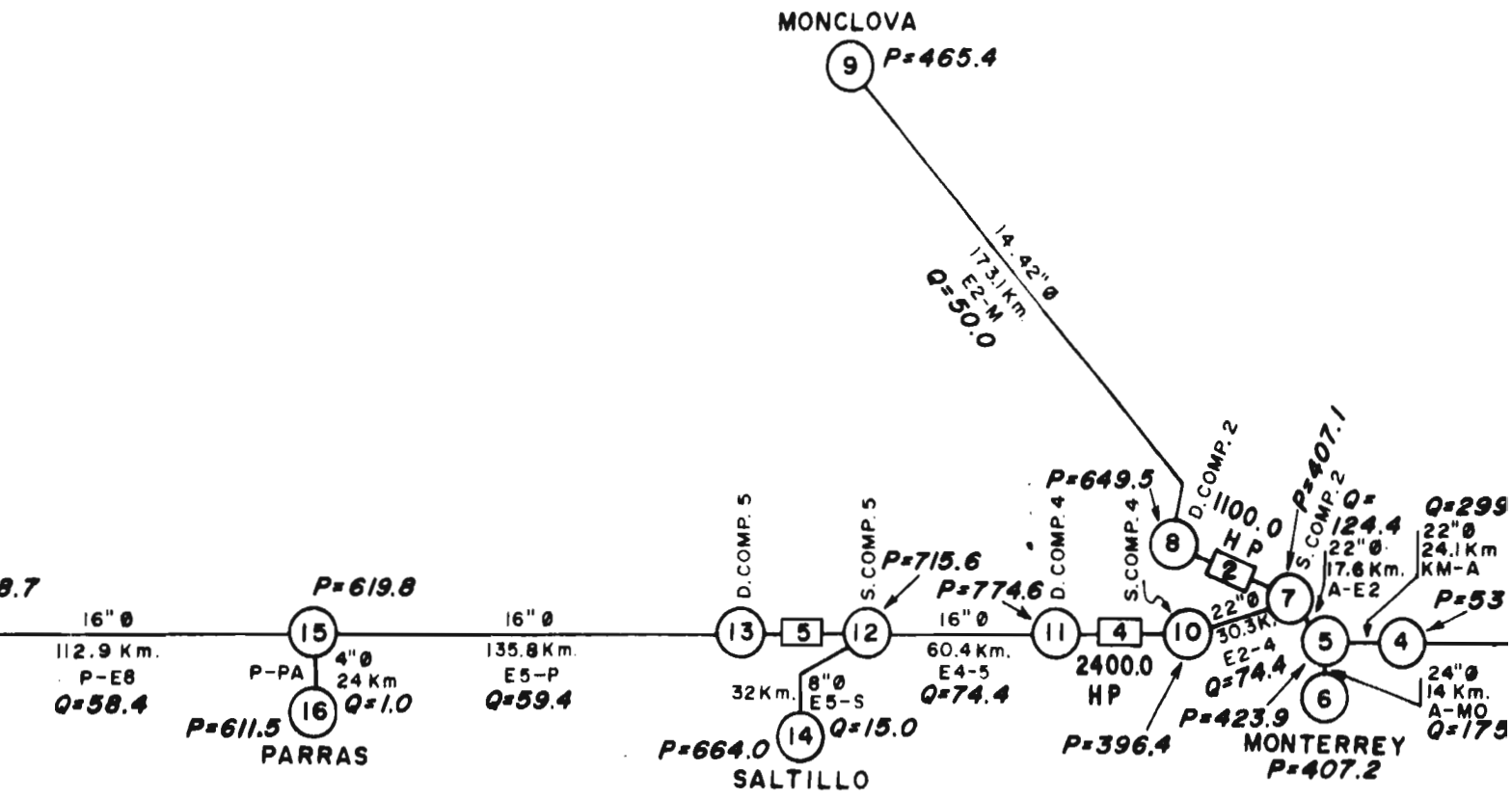
Q-EN MMSCFD P-EN PSI

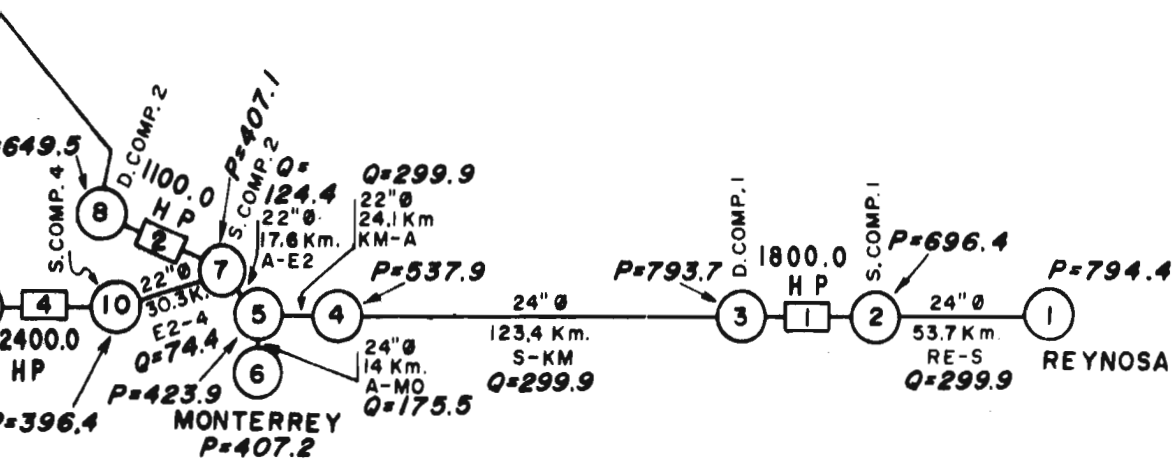
FECHA MARZO 1976

ESQUEMA No. 3









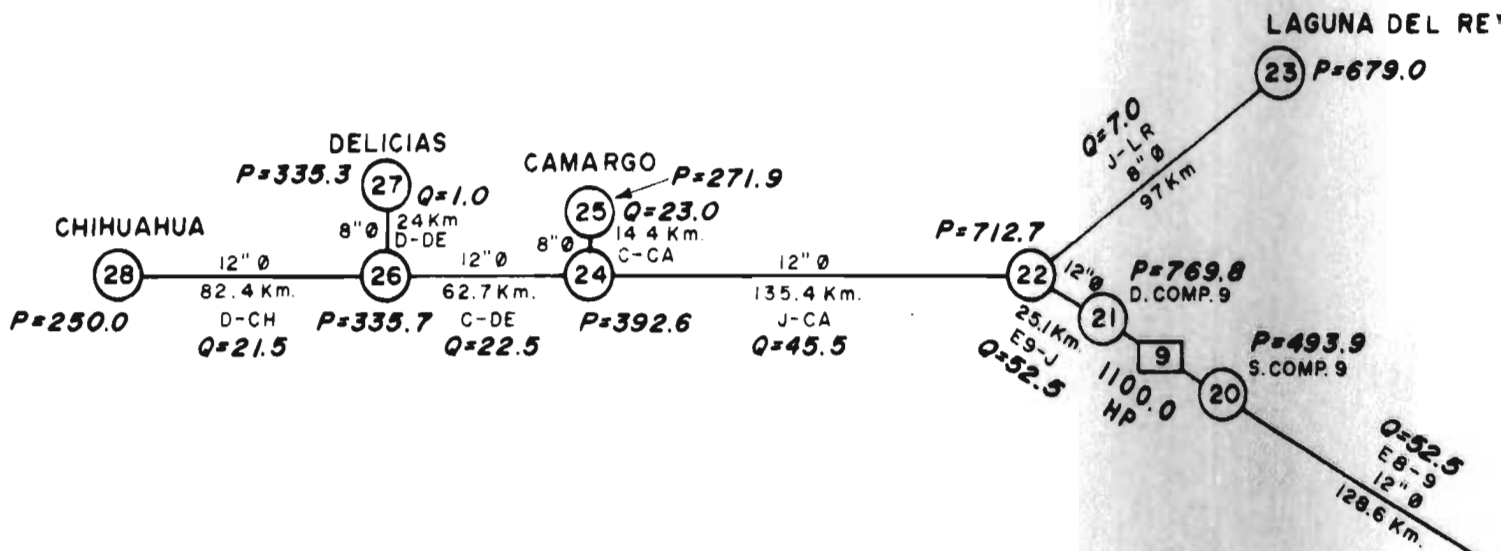
SISTEMA DE DISTRIBUCION
DE GAS D.F.N.E.

(BALANCE DE PRESIONES,
GASTOS Y POTENCIA)

Q-EN MMSCFD P-EN PSI

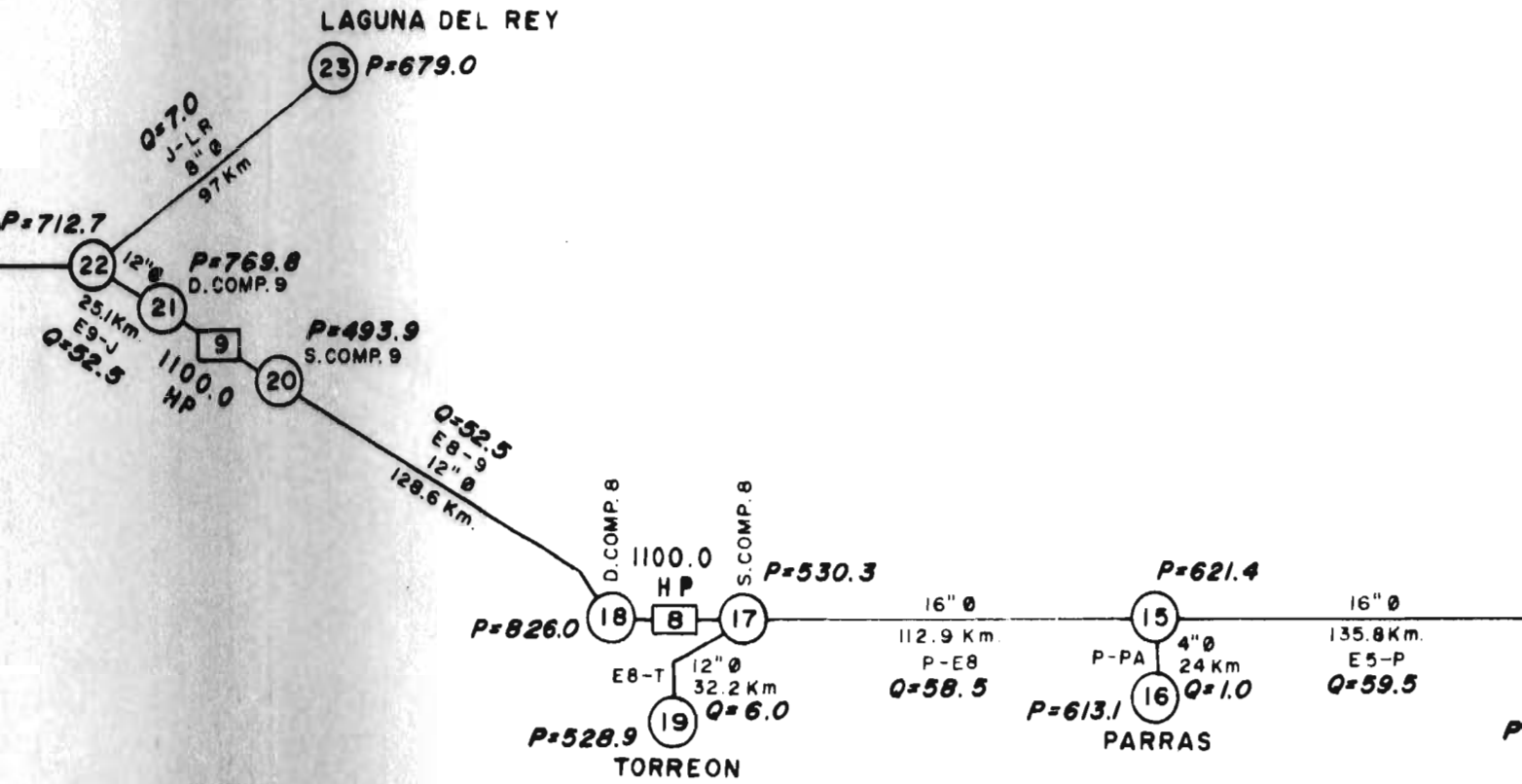
FECHA MARZO 1976

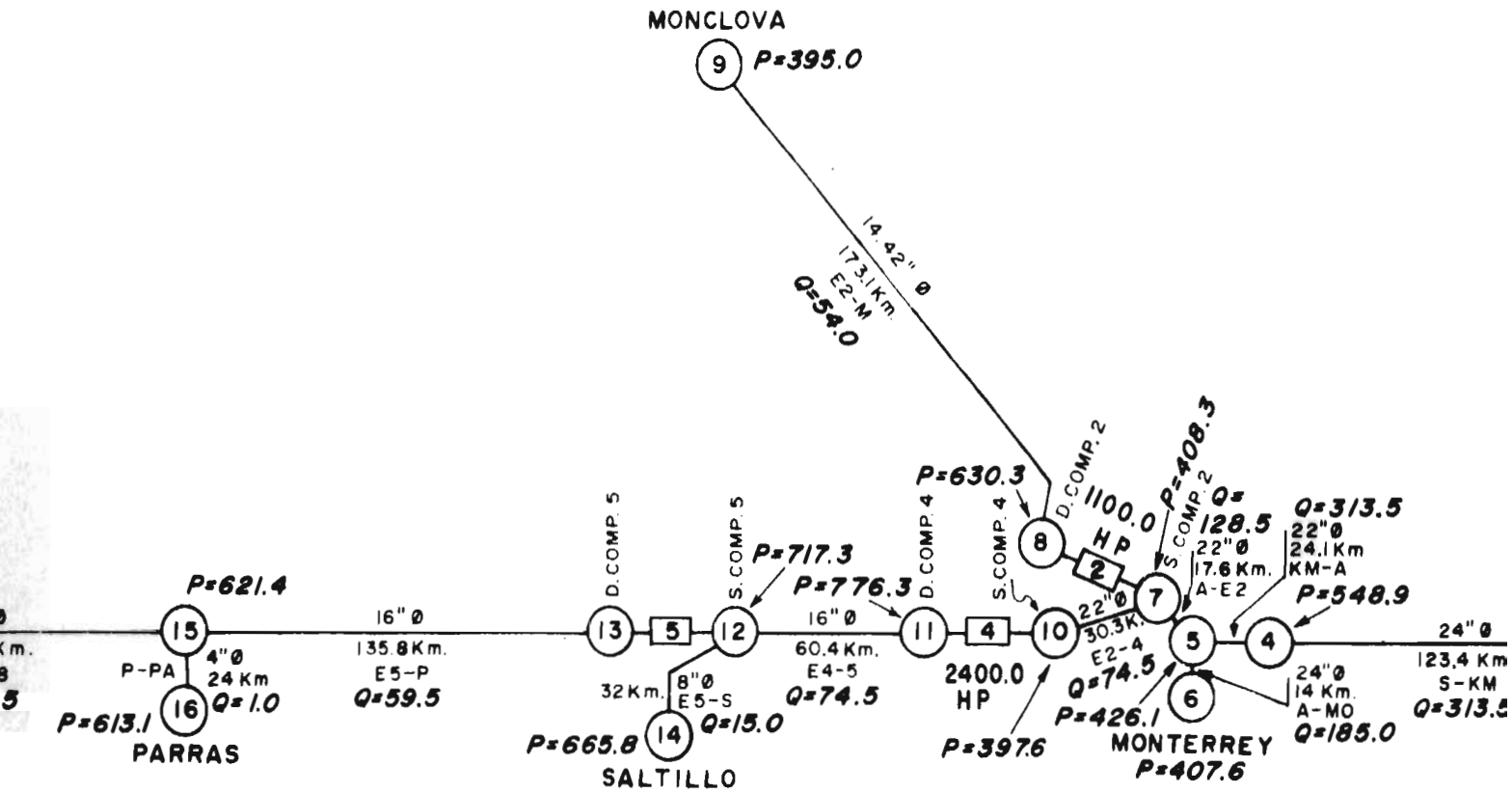
ESQUEMA No. 4



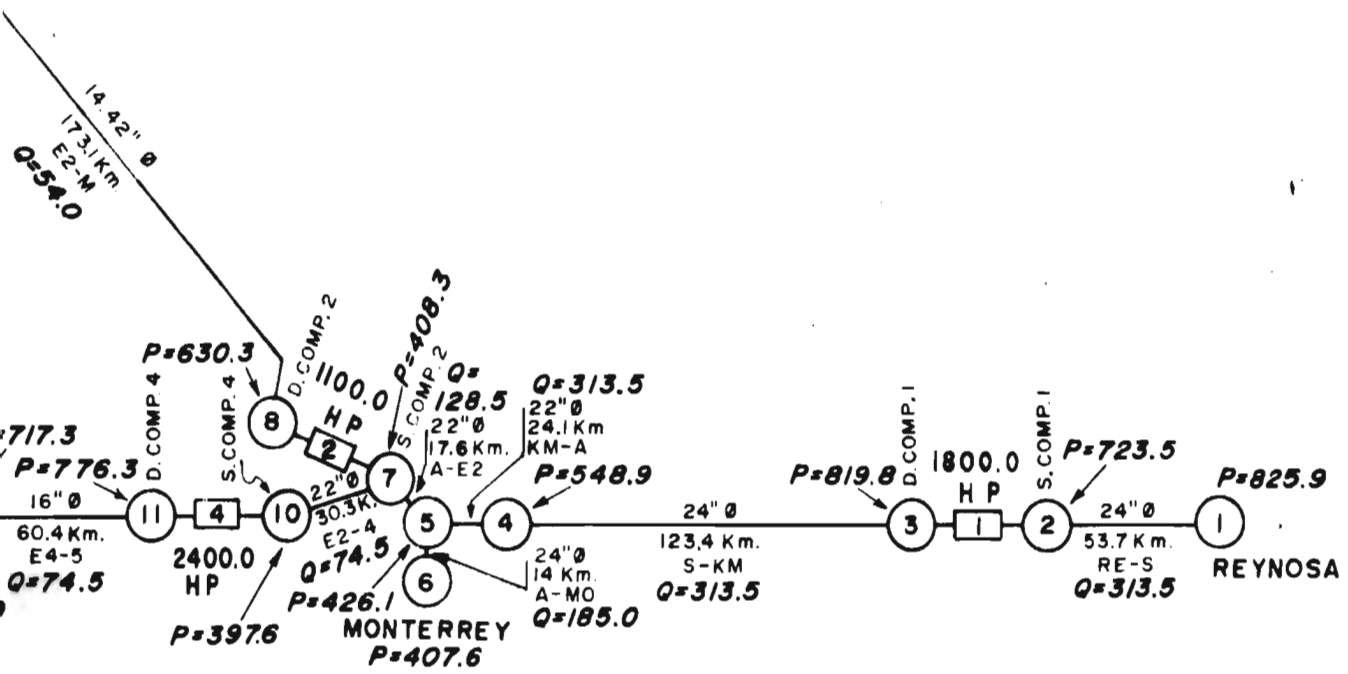
$P=820$

$P=$





395.0

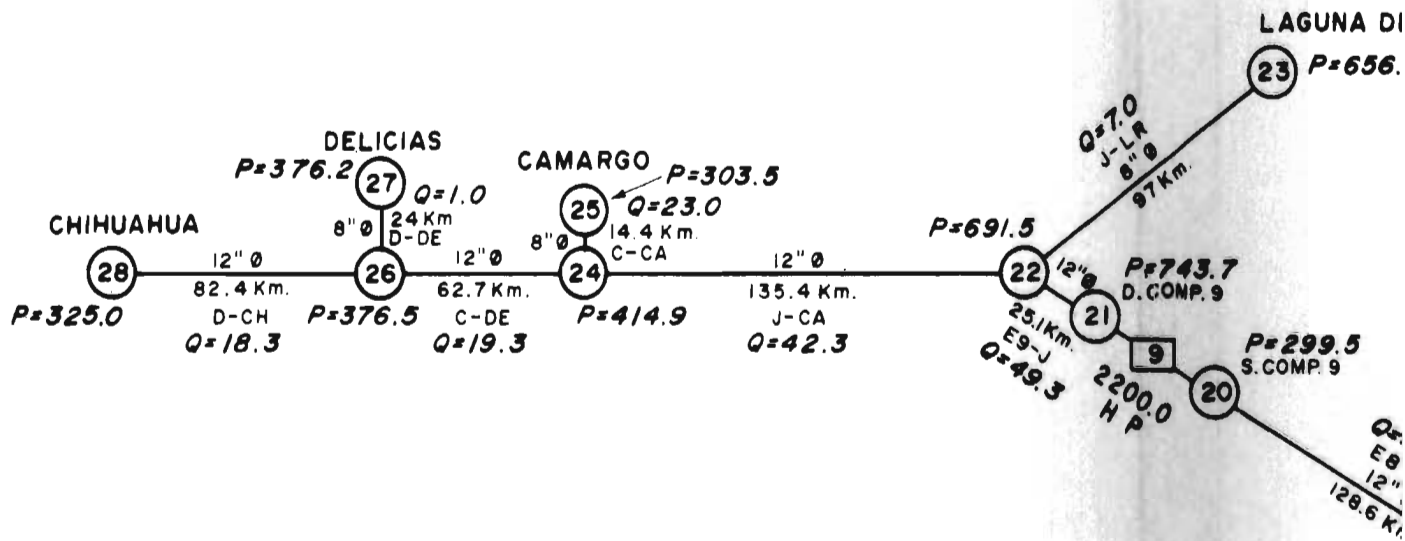


**SISTEMA DE DISTRIBUCION
DE GAS D.F.N.E.**

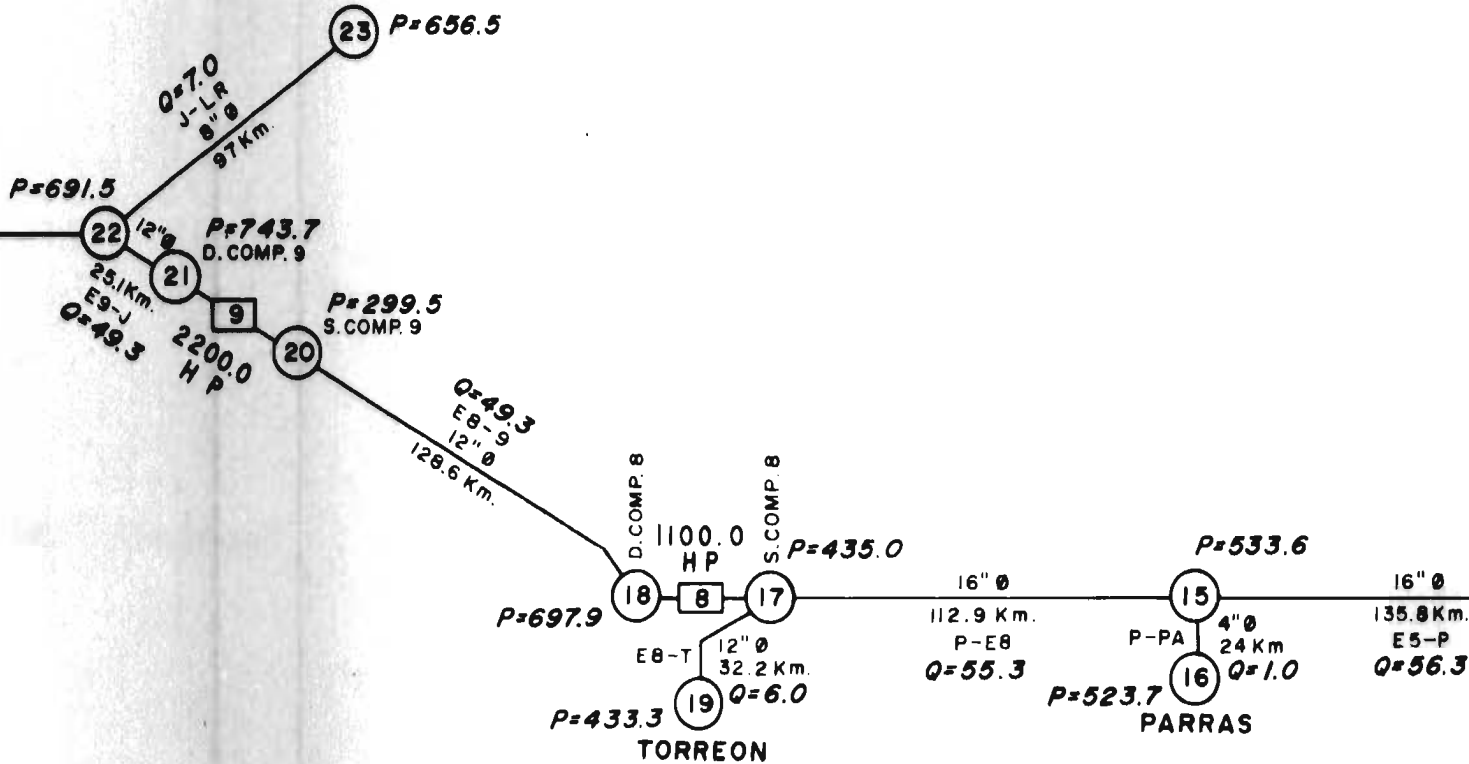
**(BALANCE DE PRESIONES,
GASTOS Y POTENCIA)**

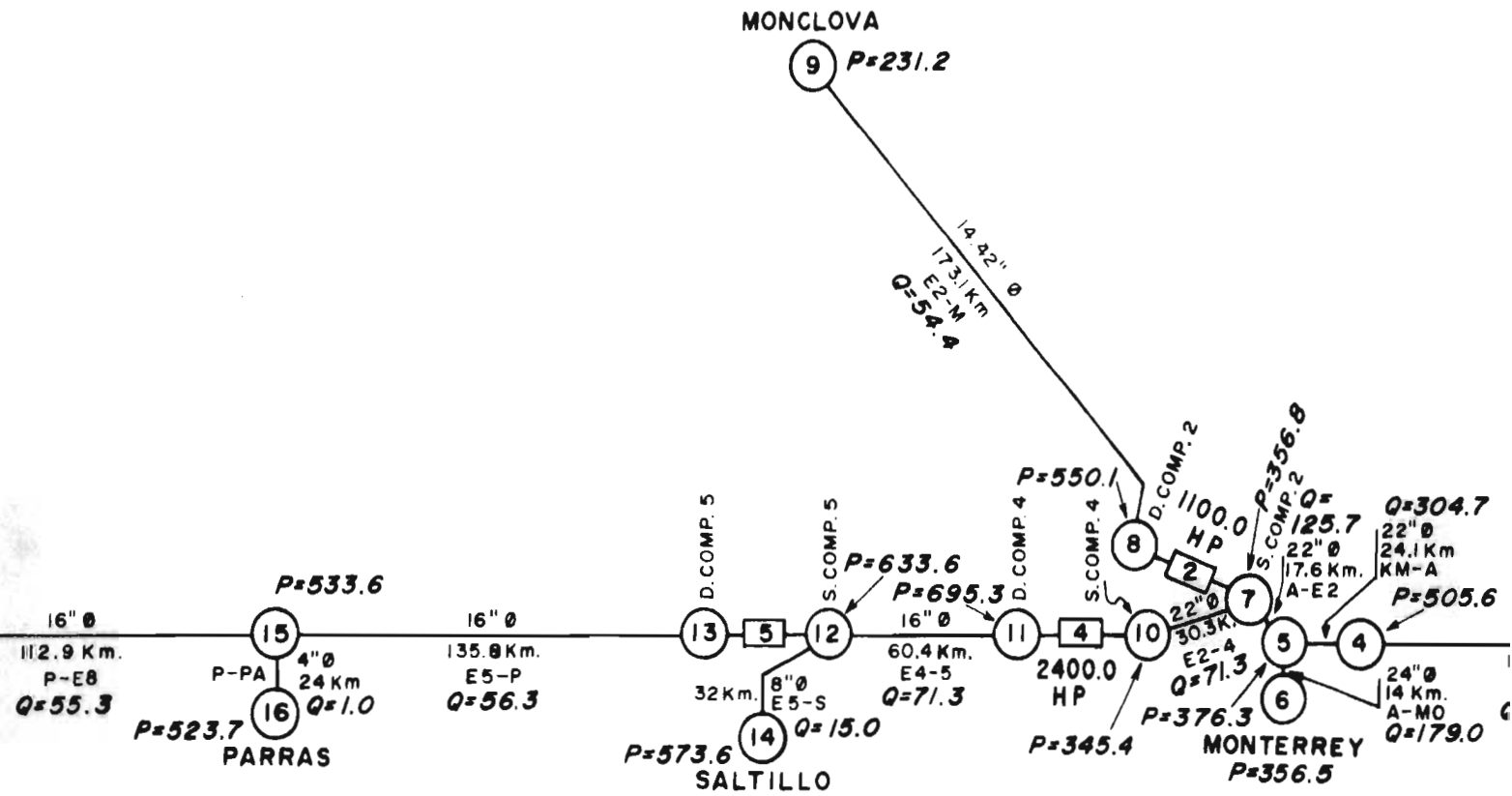
Q-EN MMSCFD P-EN PSI

FECHA MARZO 1976	ESQUEMA No. 5
------------------	---------------



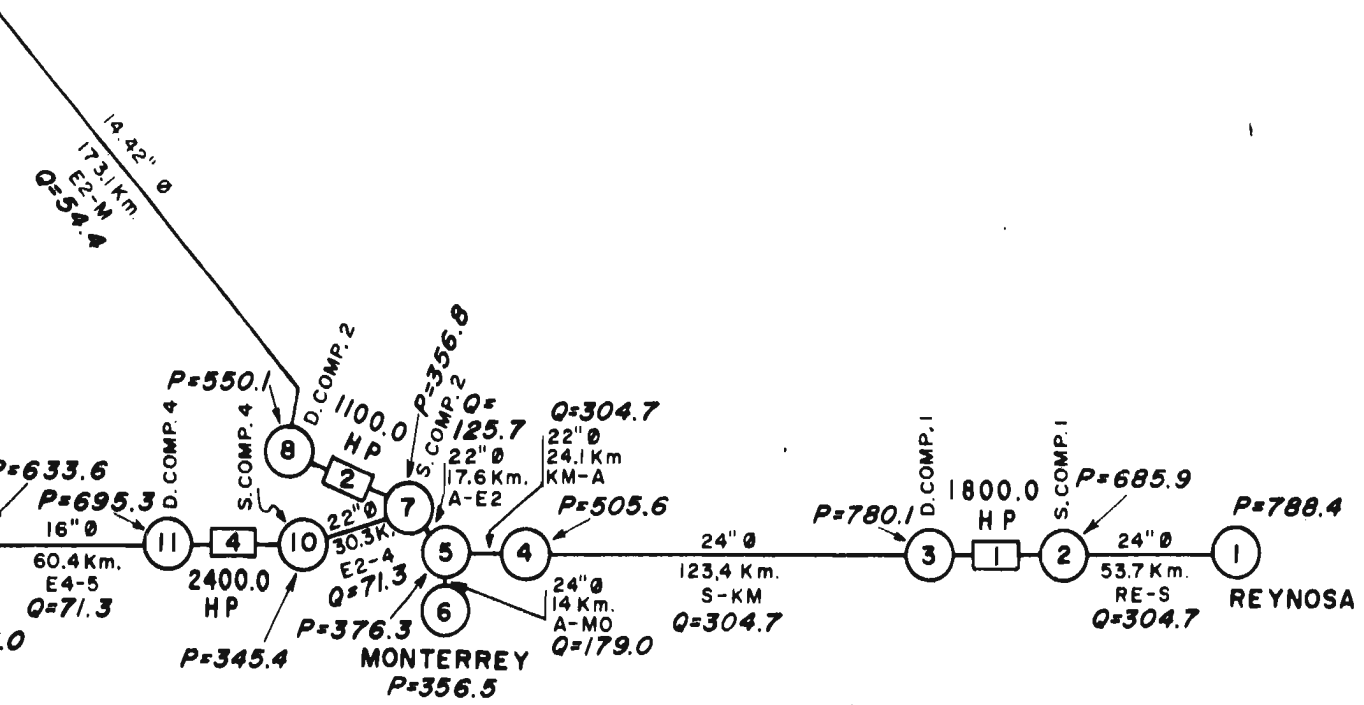
LAGUNA DEL REY





A

P=231.2

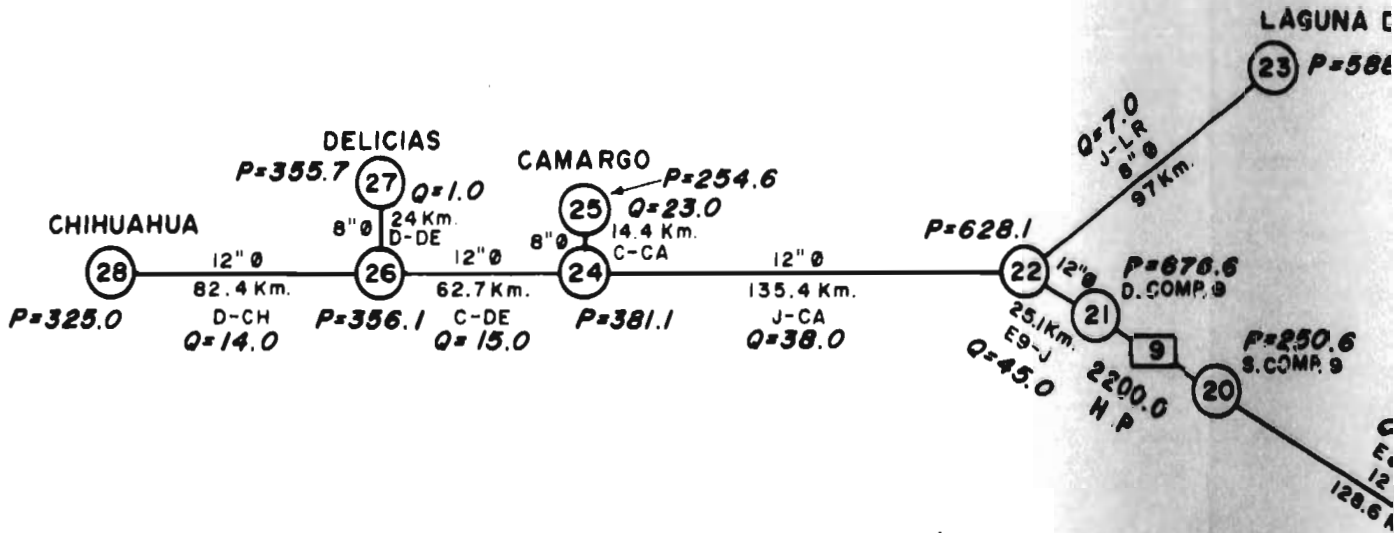


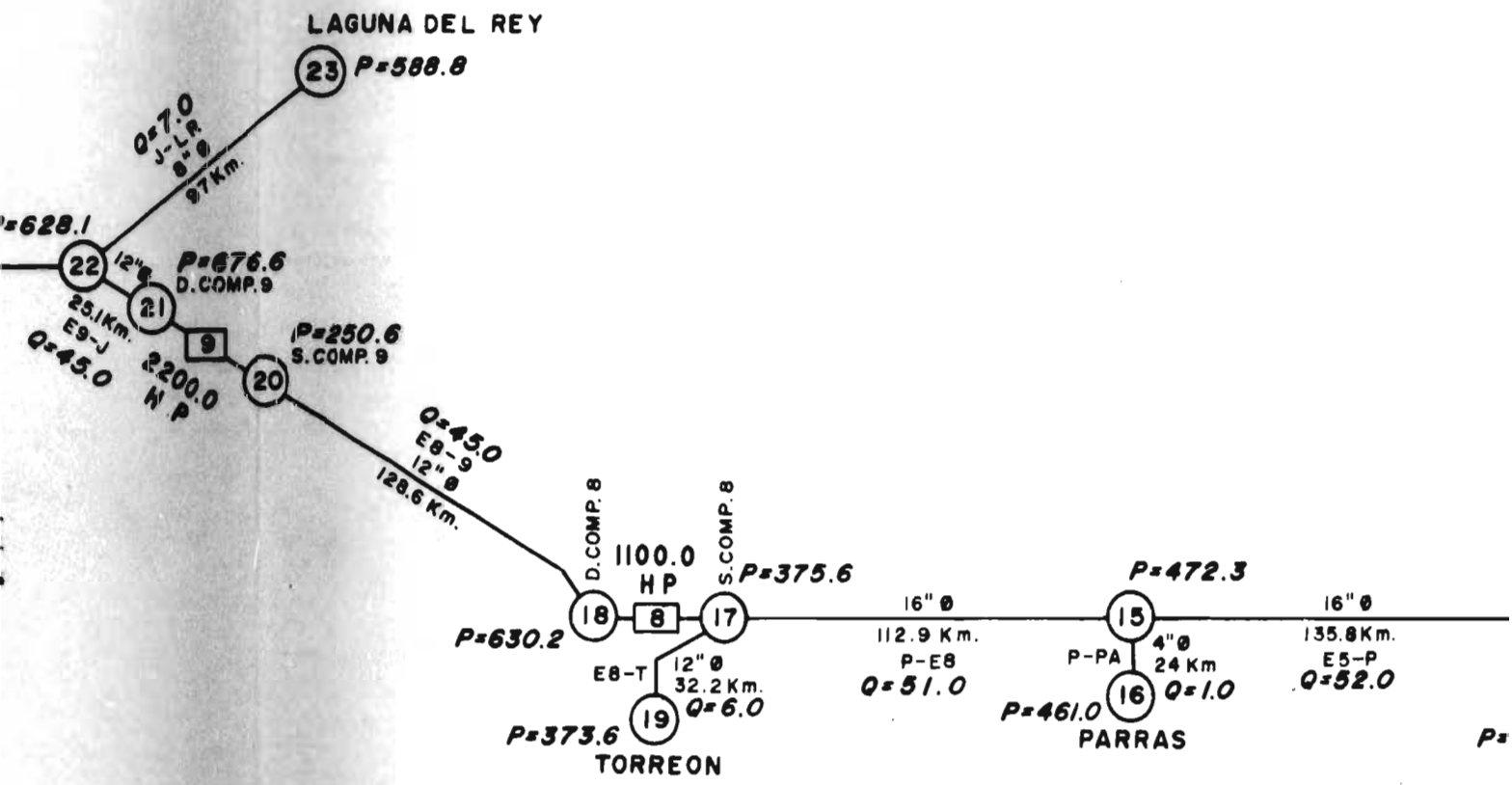
**SISTEMA DE DISTRIBUCION
DE GAS D.F.N.E.**

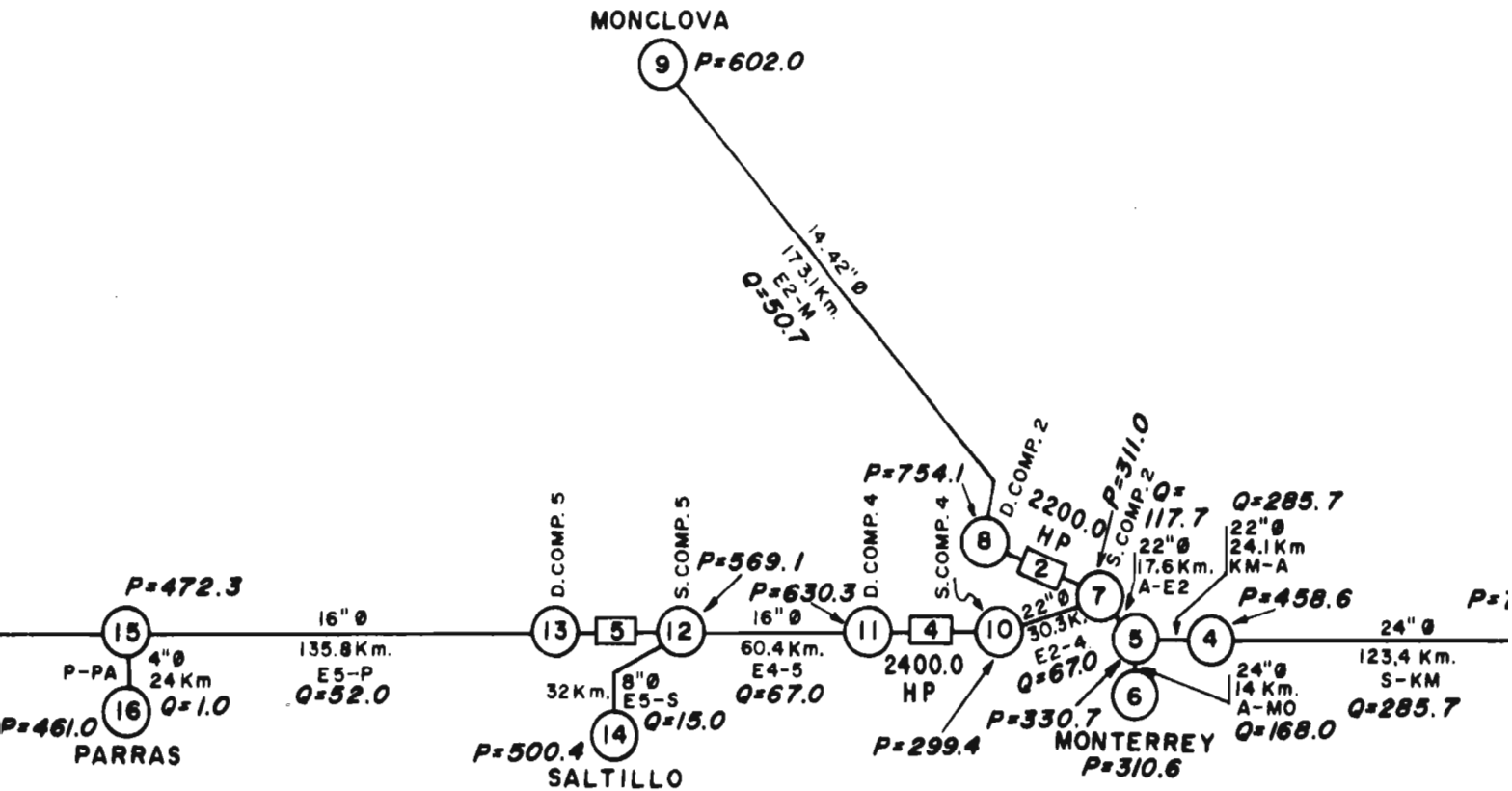
(BALANCE DE PRESIONES,
GASTOS Y POTENCIA)

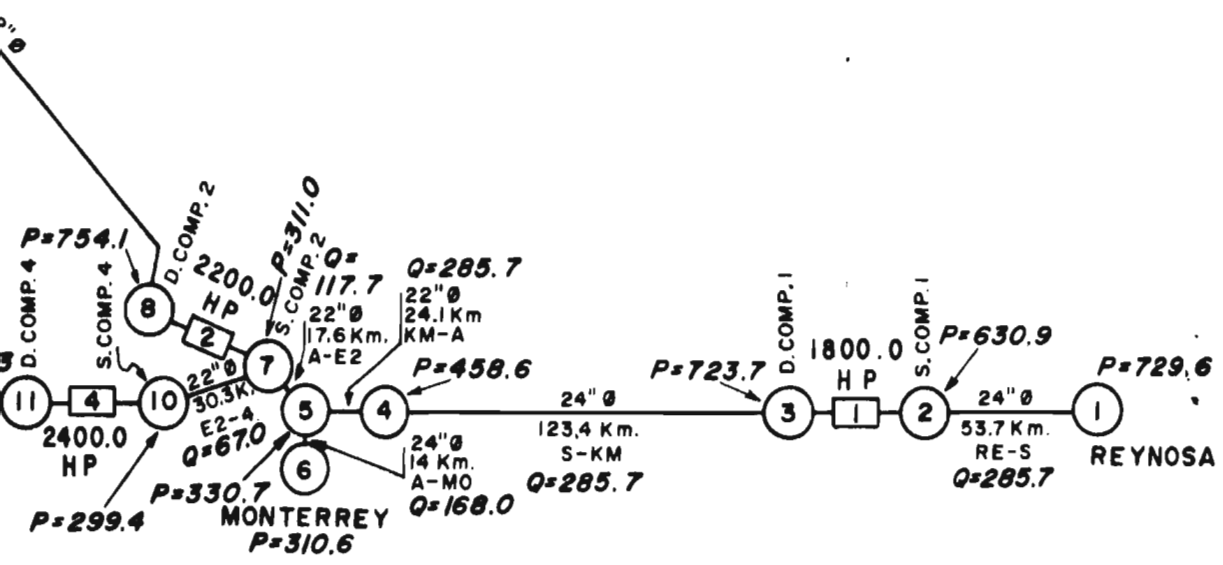
Q-EN MMSCFD P-EN PSI

FECHA MARZO 1976	ESQUEMA No. 6
------------------	---------------









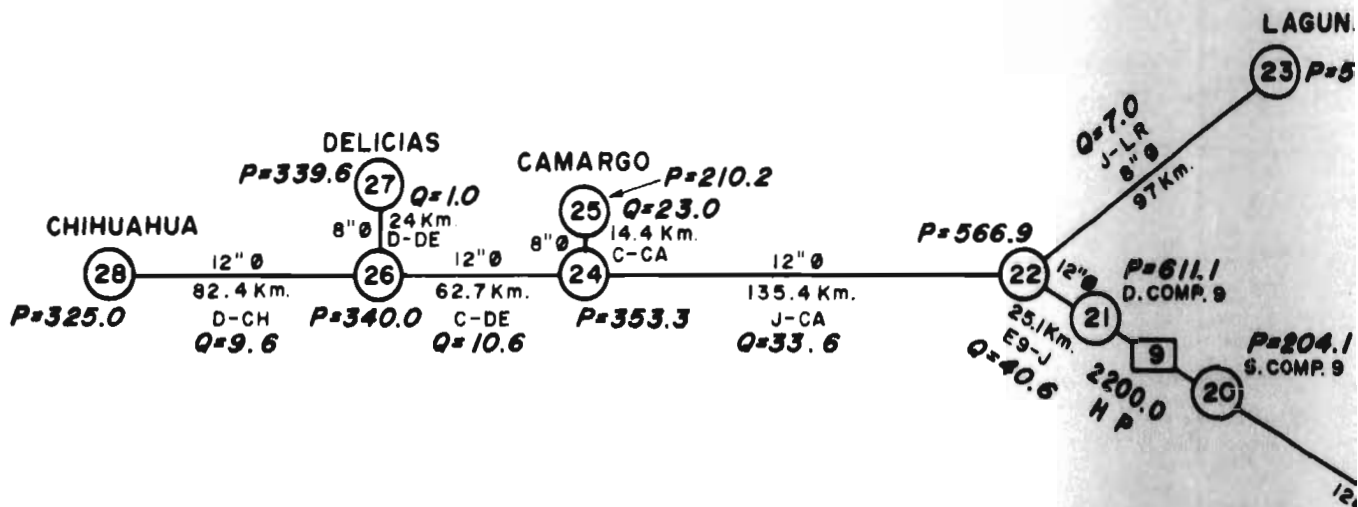
SISTEMA DE DISTRIBUCION
DE GAS D.F.N.E.

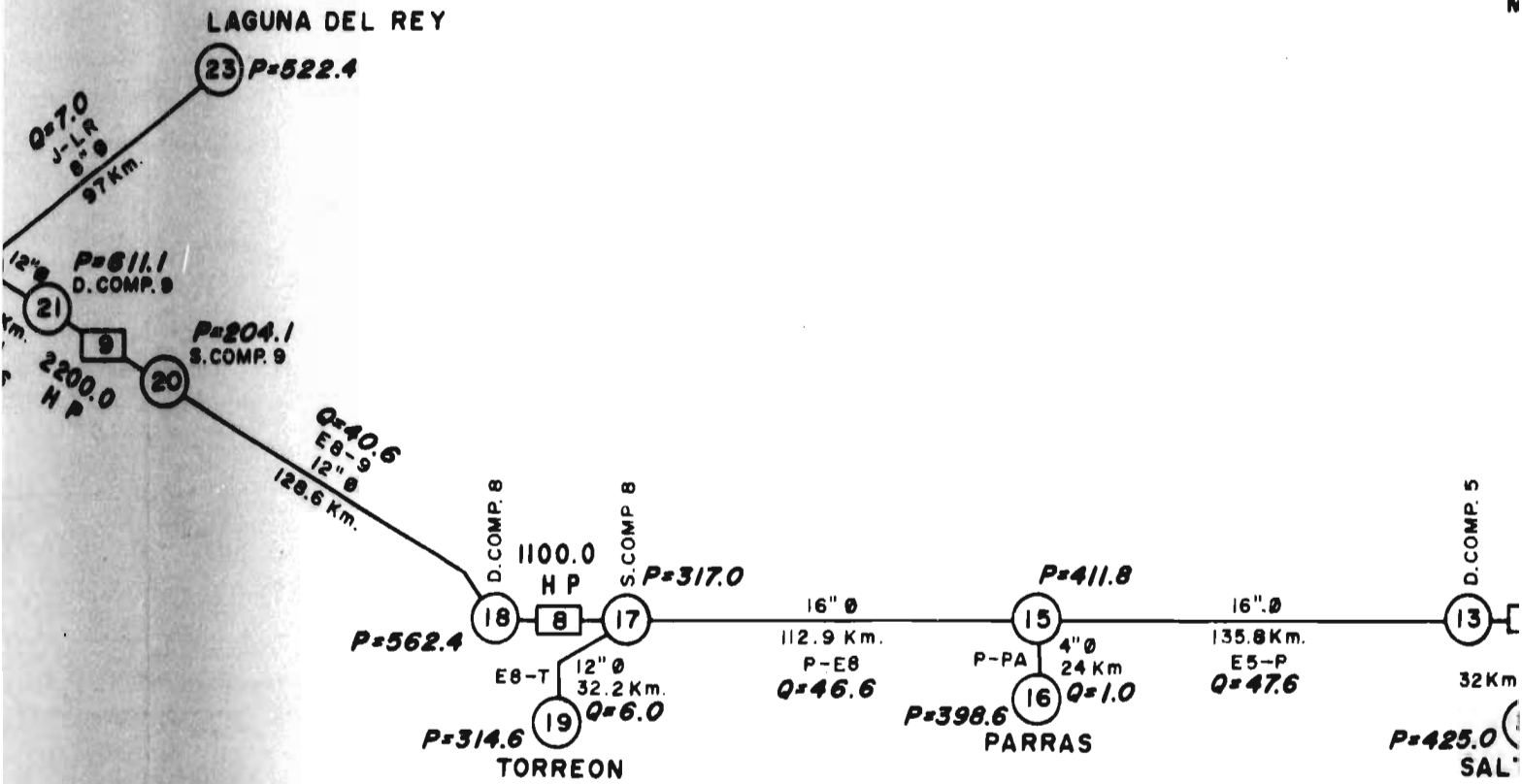
(BALANCE DE PRESIONES,
GASTOS Y POTENCIA)

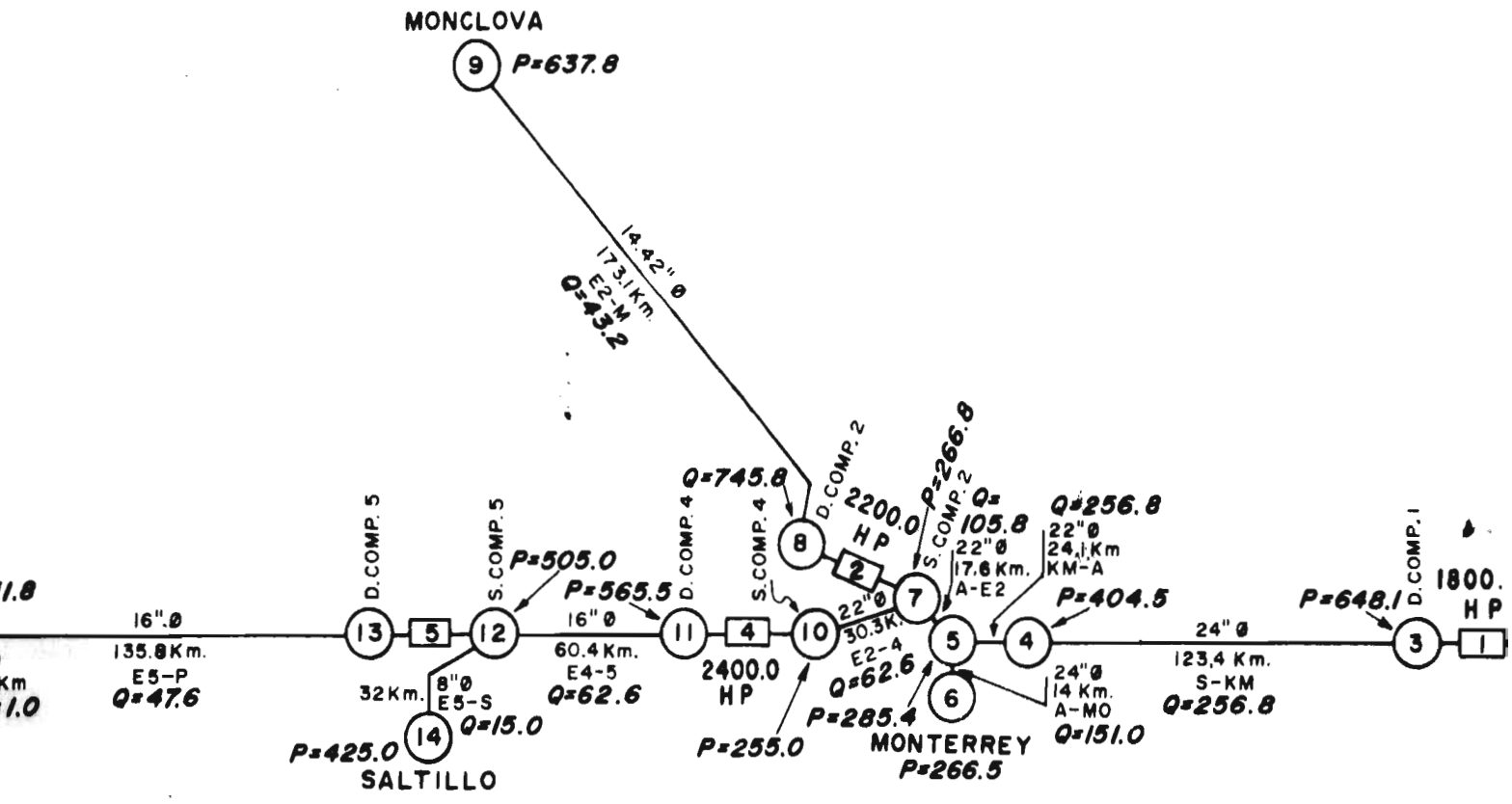
Q-EN MMSCFD P-EN PSI

FECHA MARZO 1976

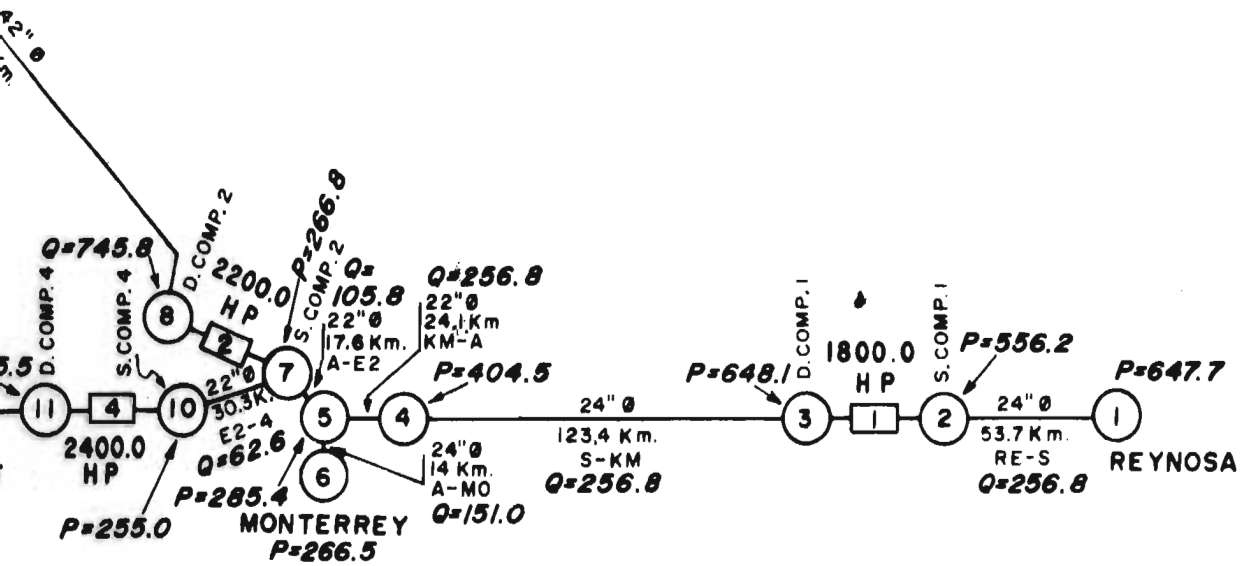
ESQUEMA No. 7







SISTE
 (BA
 G
 Q-EN MA
 FECHA M



SISTEMA DE DISTRIBUCION
DE GAS D. F. N. E.

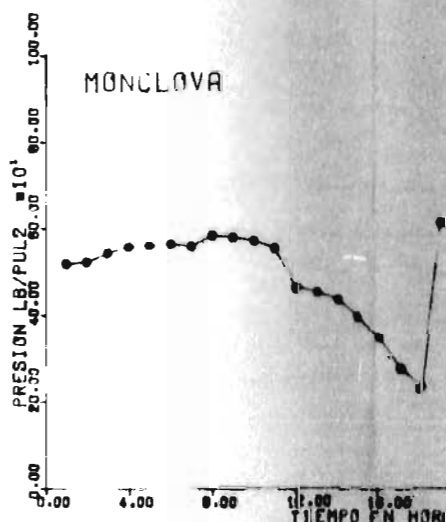
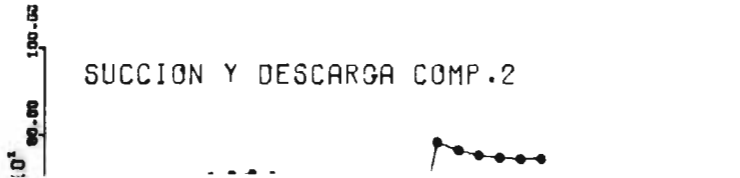
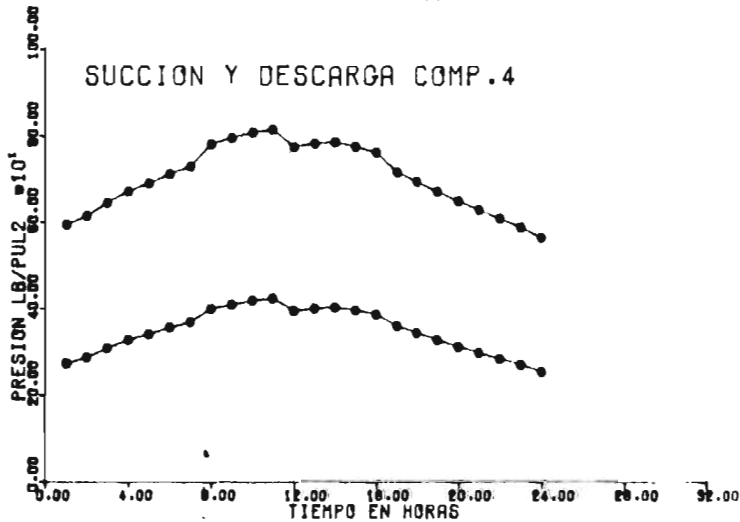
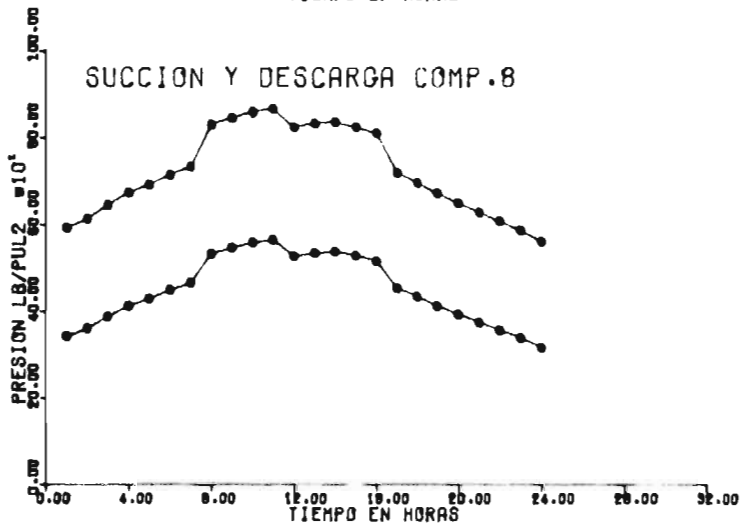
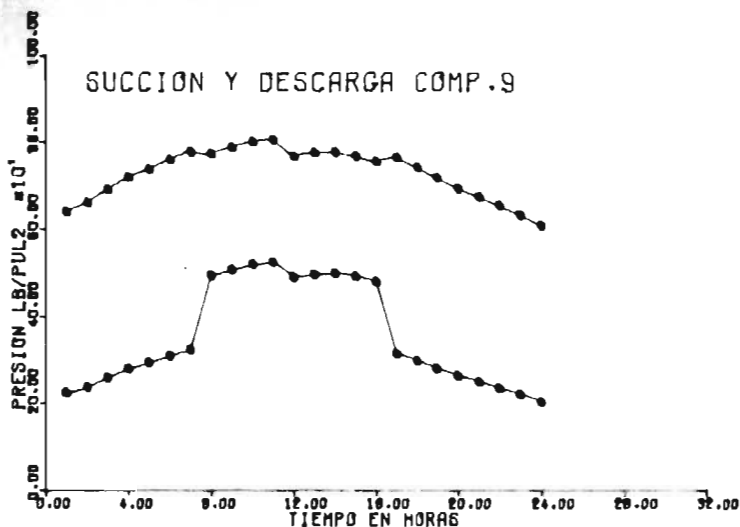
(BALANCE DE PRESIONES,
GASTOS Y POTENCIA)

Q-EN MMSCFD P-EN PSI

FECHA MARZO 1976

ESQUEMA No. 8

SISTEMA DE DISTRIB (ESQUE



SISTEMA DE DISTRIBUCION DE GAS D. F. N. E. (ESQUEMA No. 9)

P.9



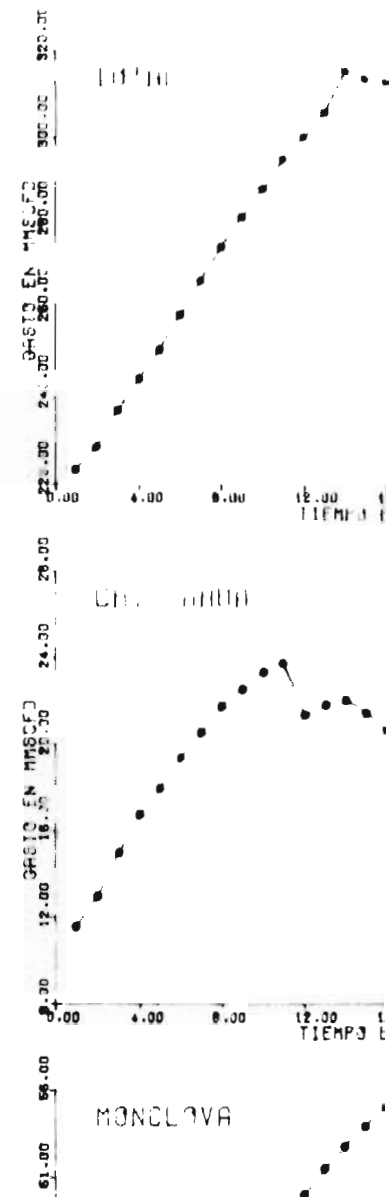
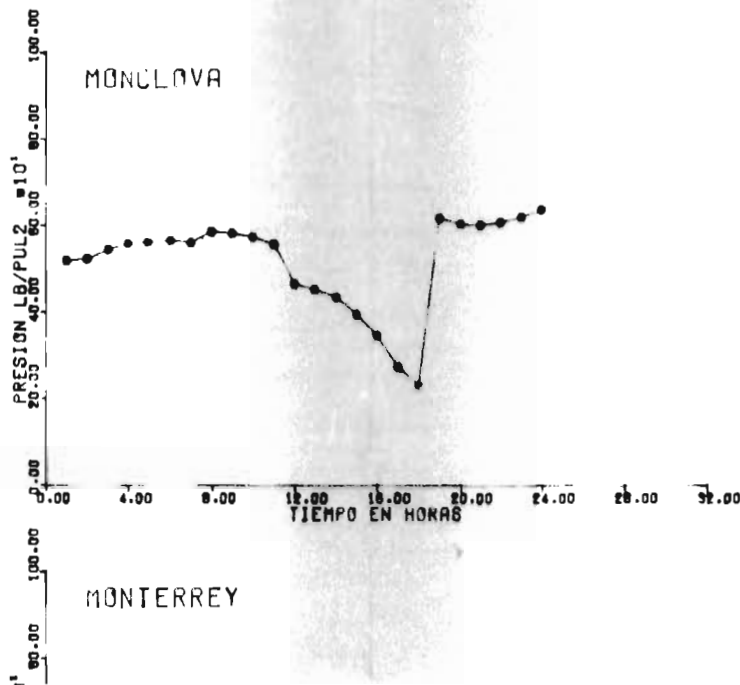
P.8



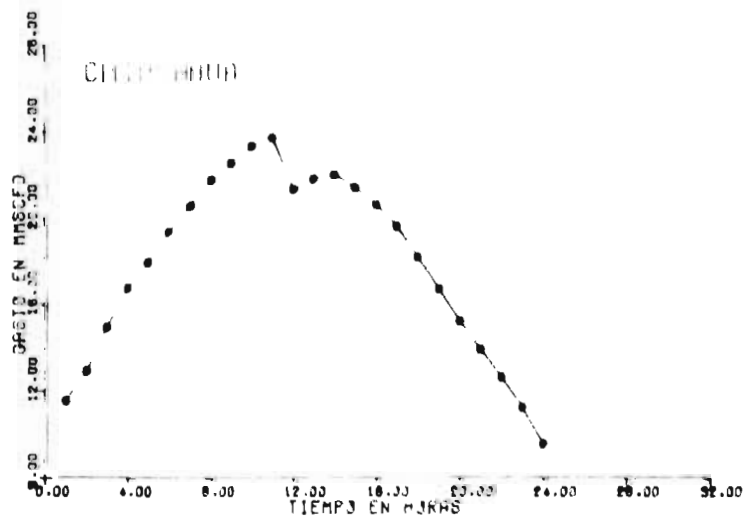
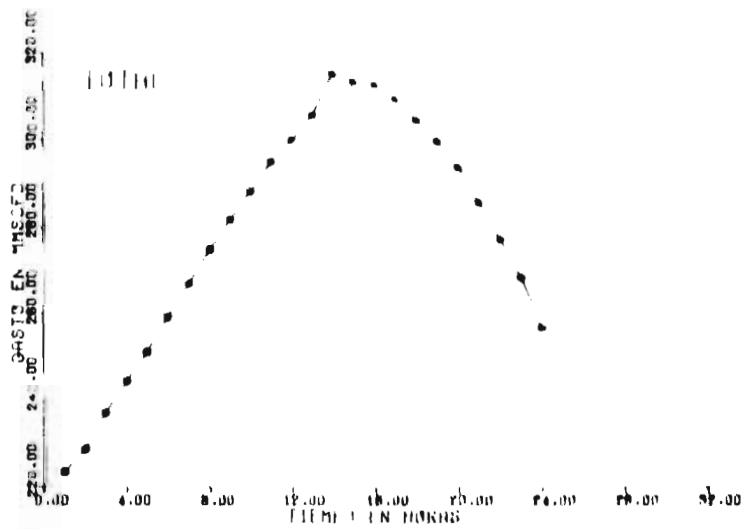
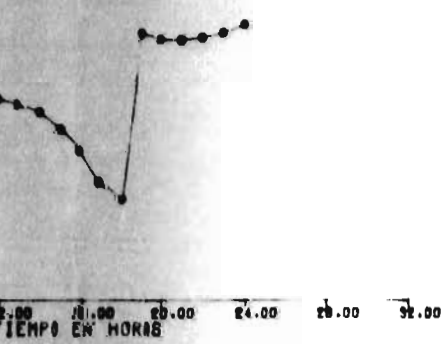
P.4

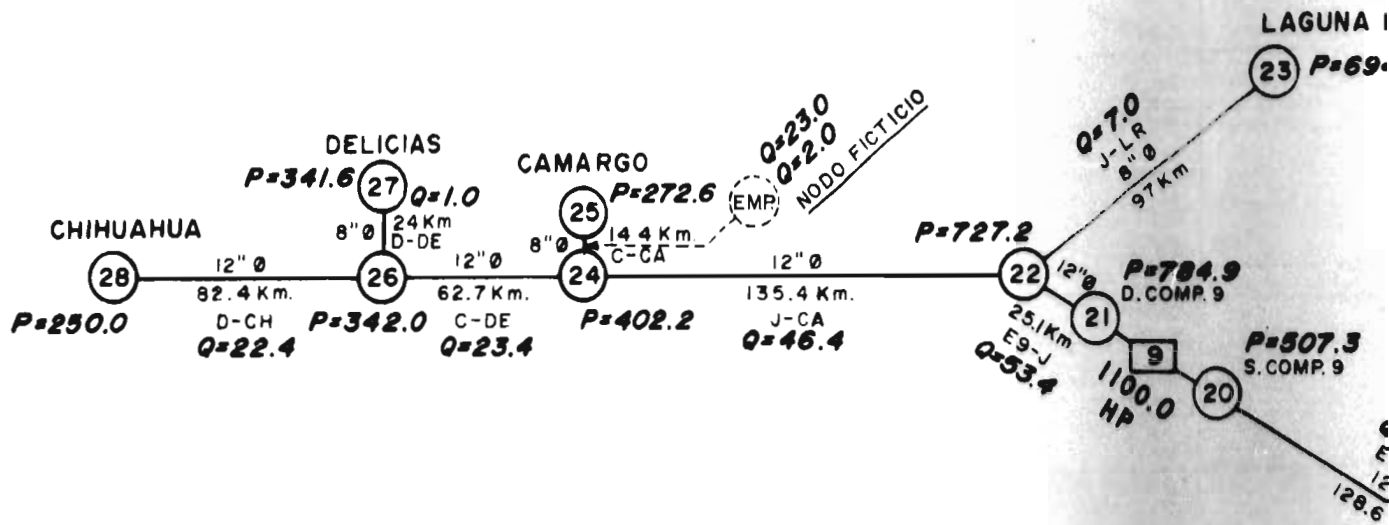


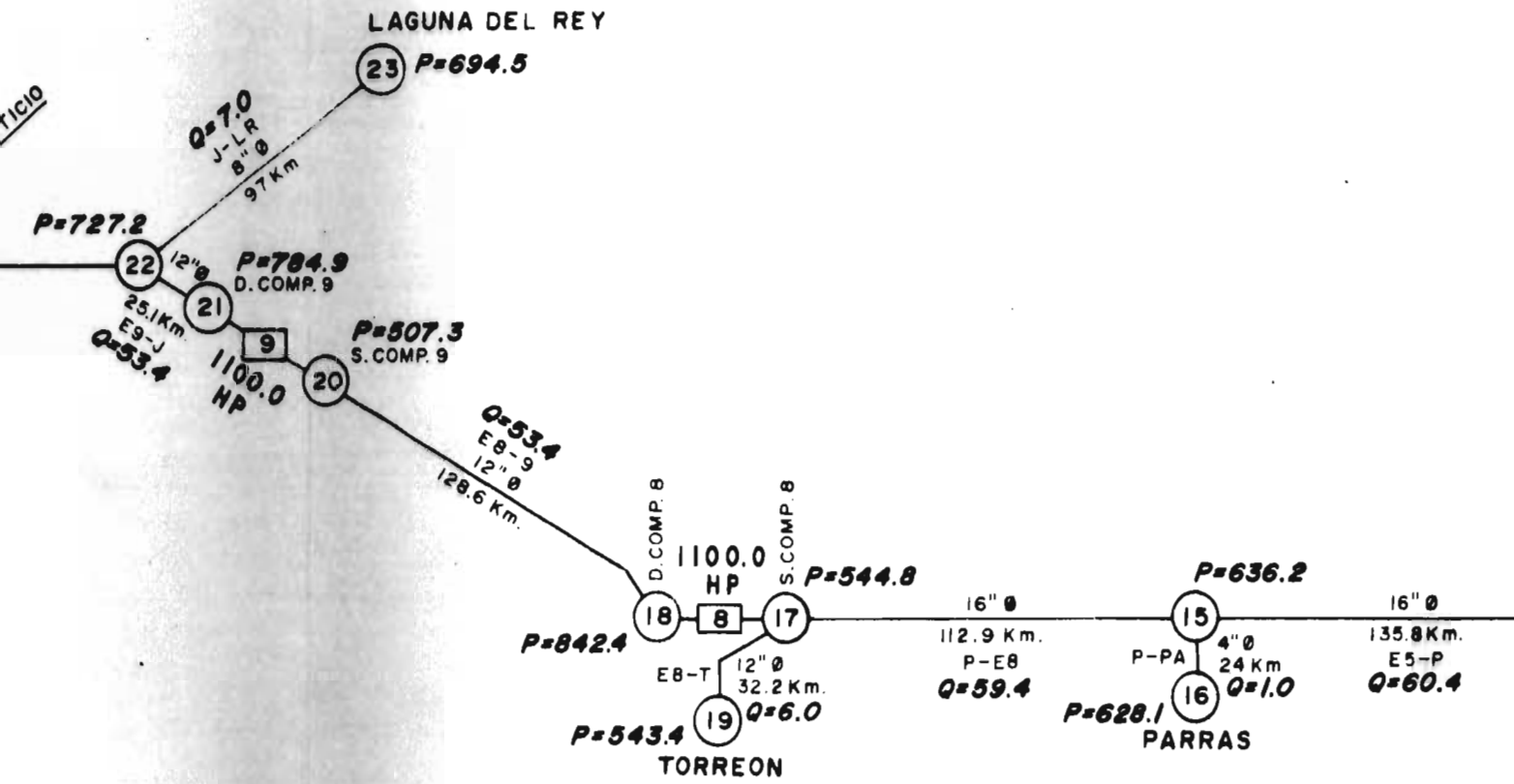
P.2

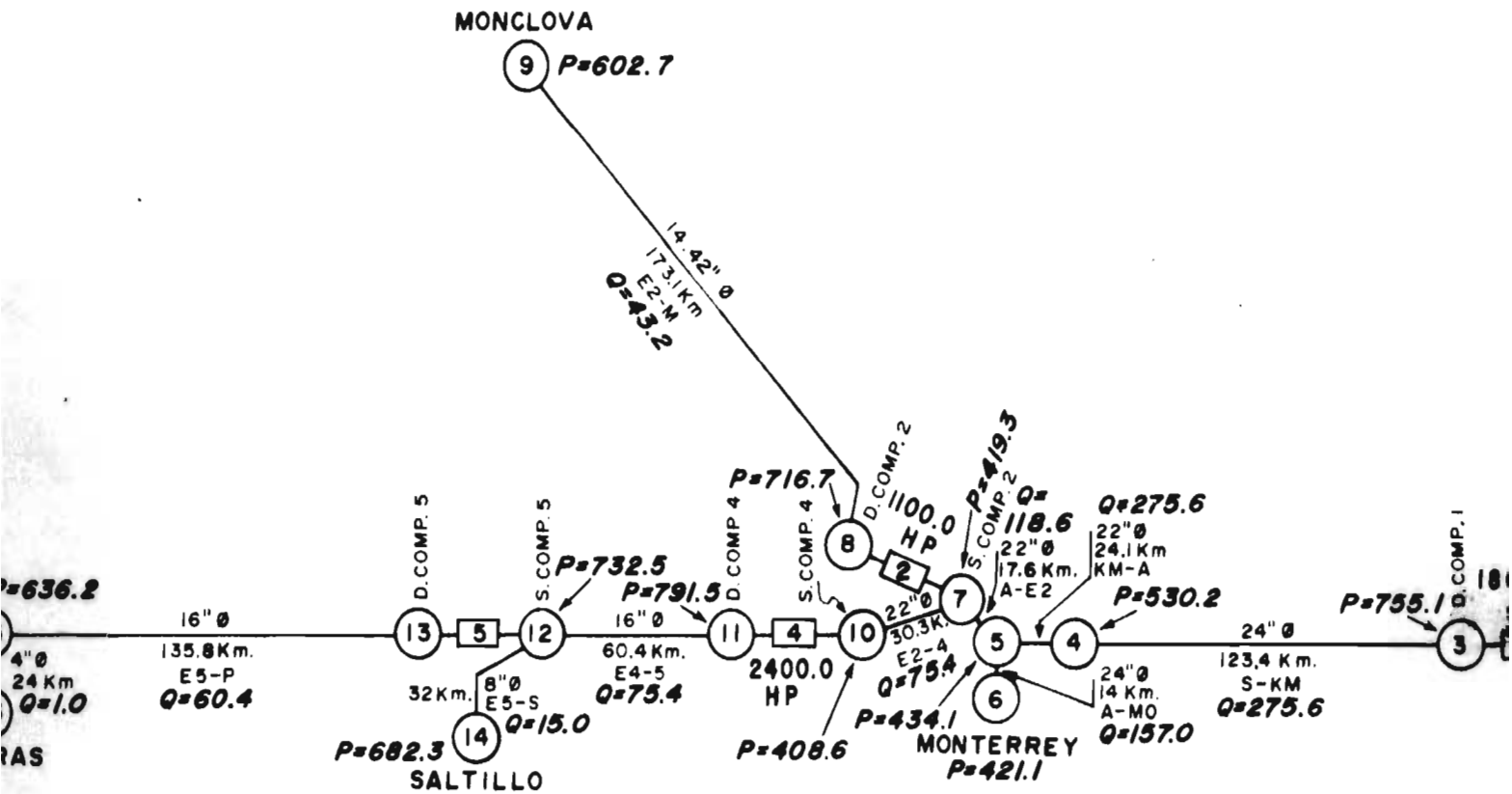


DISTRIBUCION DE GAS D. F. N. E.
(ESQUEMA No. 9)

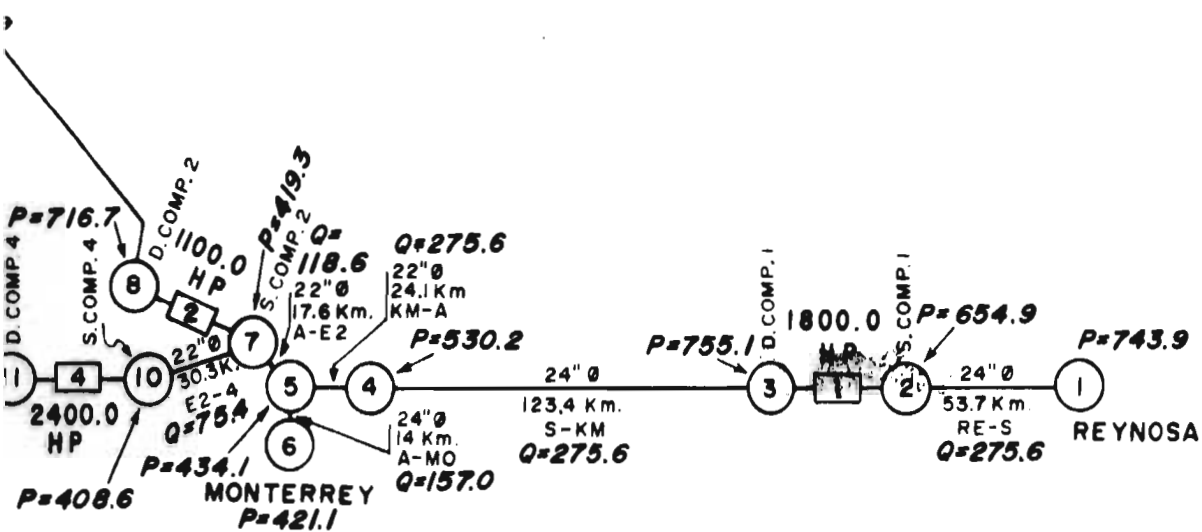








SIS
 ()
 Q-EN
 FECHA

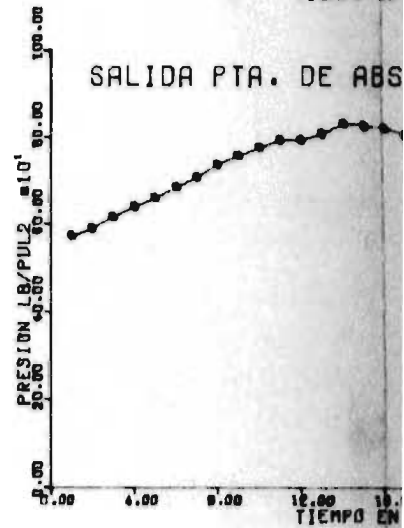
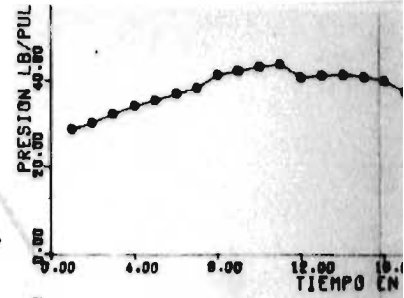
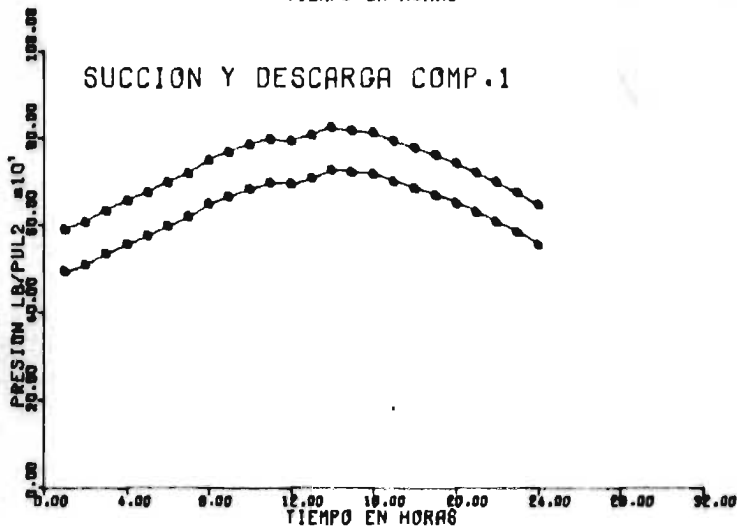
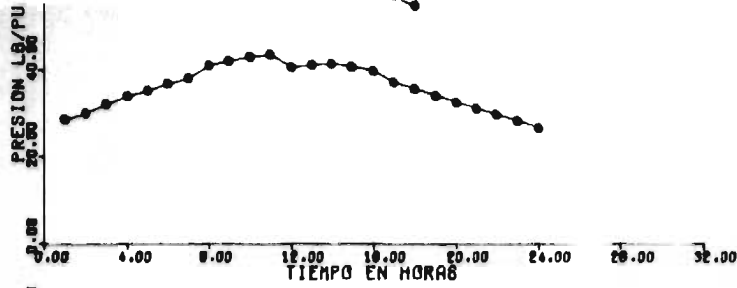


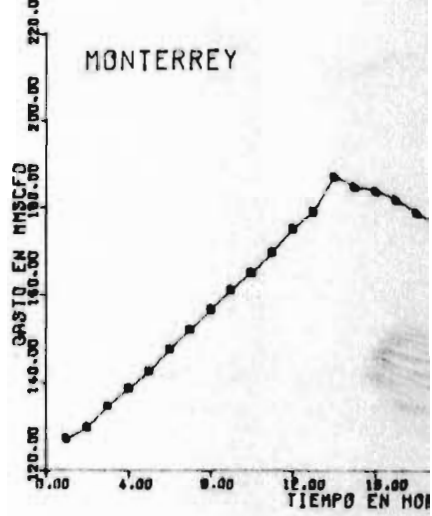
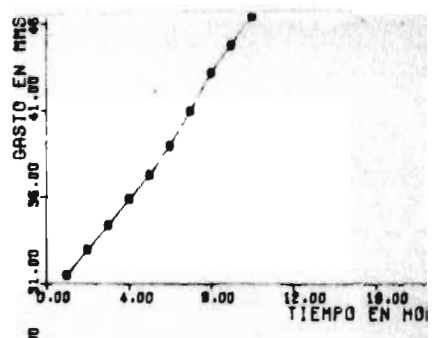
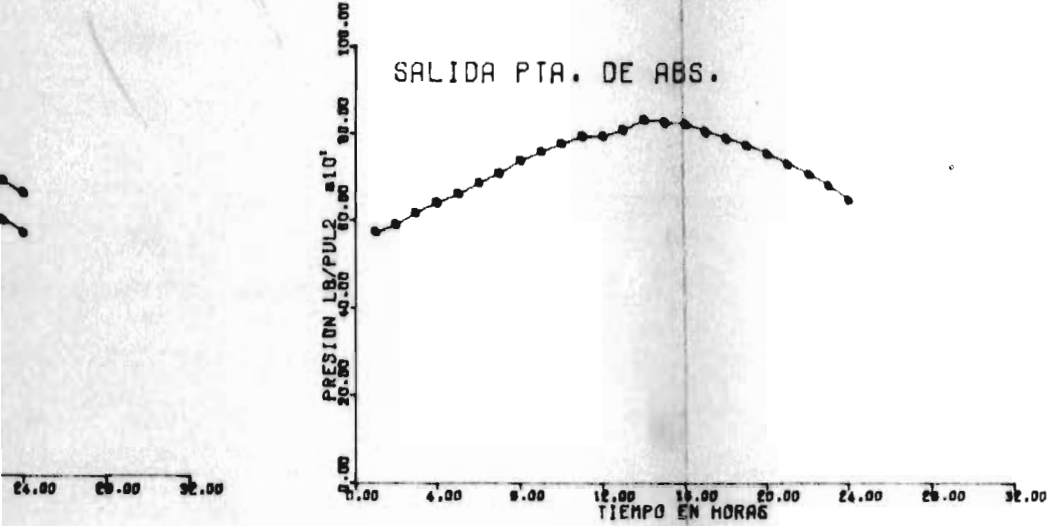
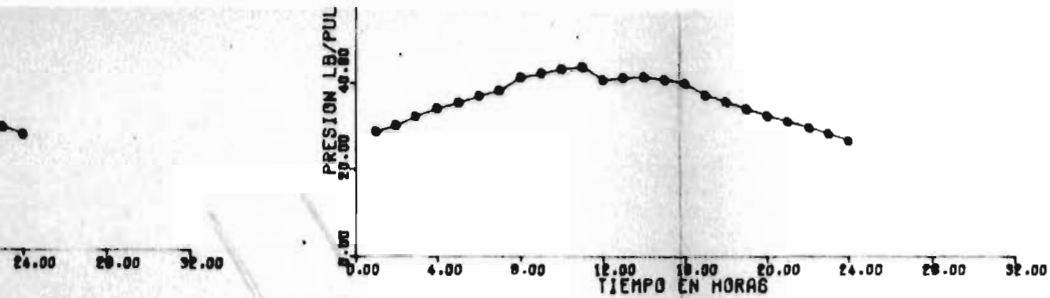
SISTEMA DE DISTRIBUCION
DE GAS D.F.N.E.

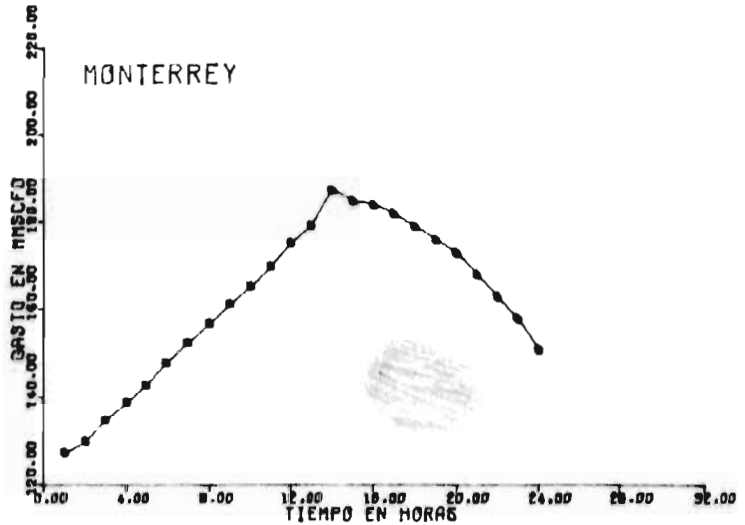
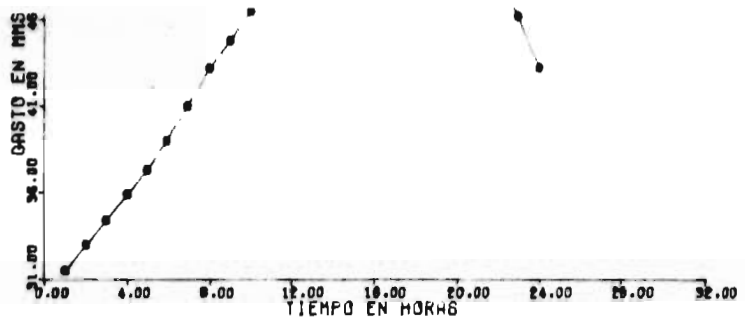
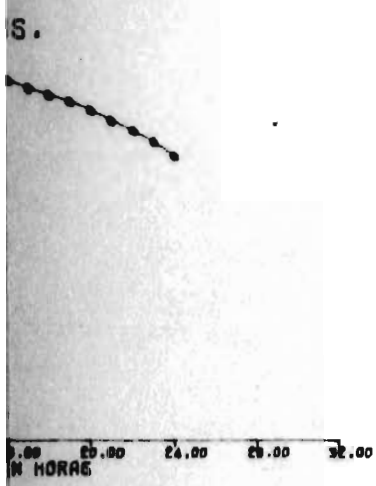
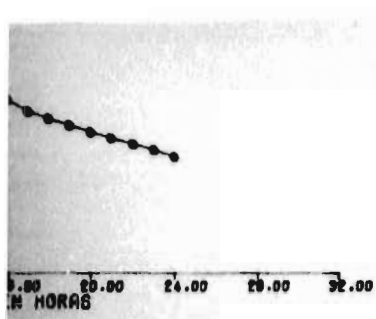
(BALANCE DE PRESIONES,
GASTOS Y POTENCIA)

Q-EN MMSCFD P-EN PSI 8 hrs.

FECHA MARZO 1976 ESQUEMA No. 10

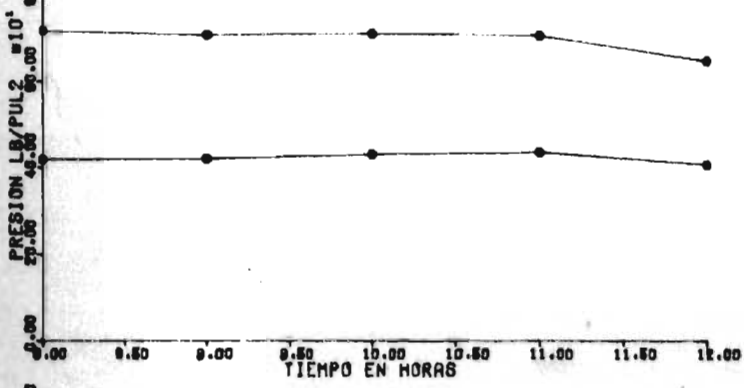




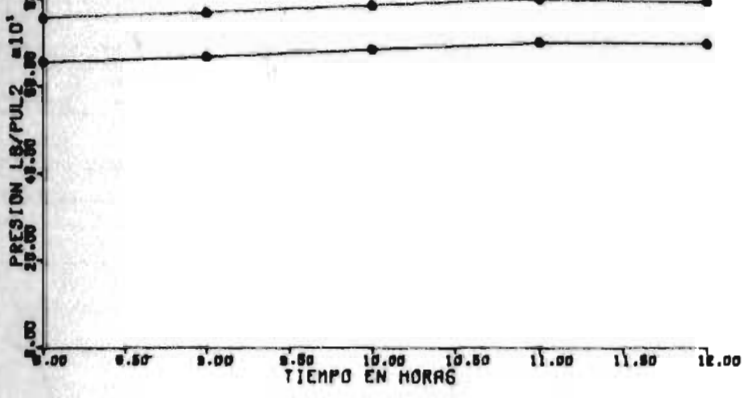




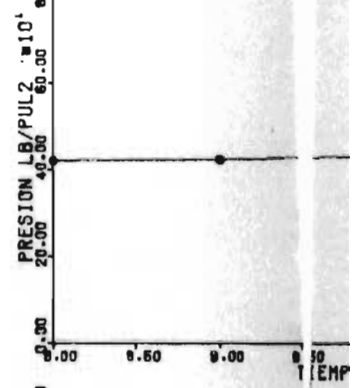
SUCCION Y DESCARGA COMP.2



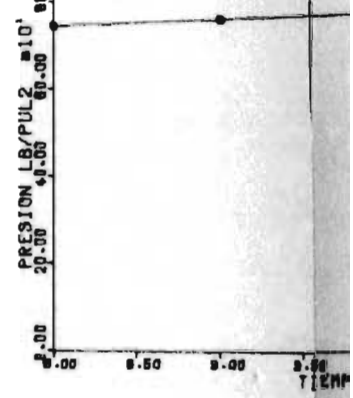
SUCCION Y DESCARGA COMP.1



MONTERREY



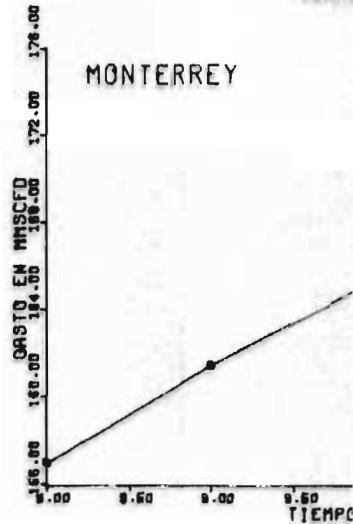
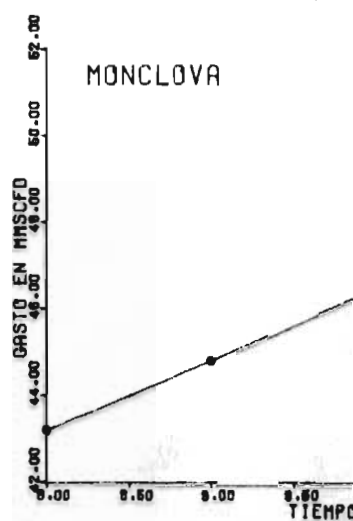
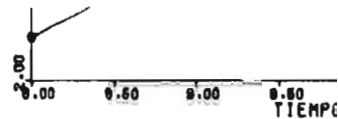
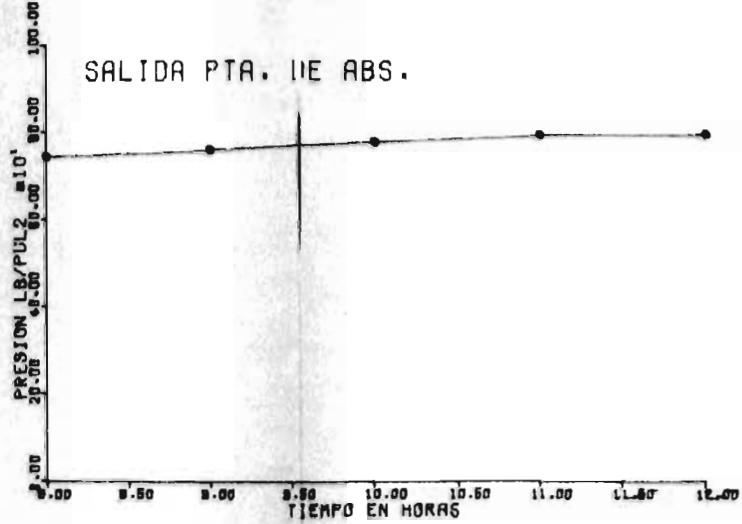
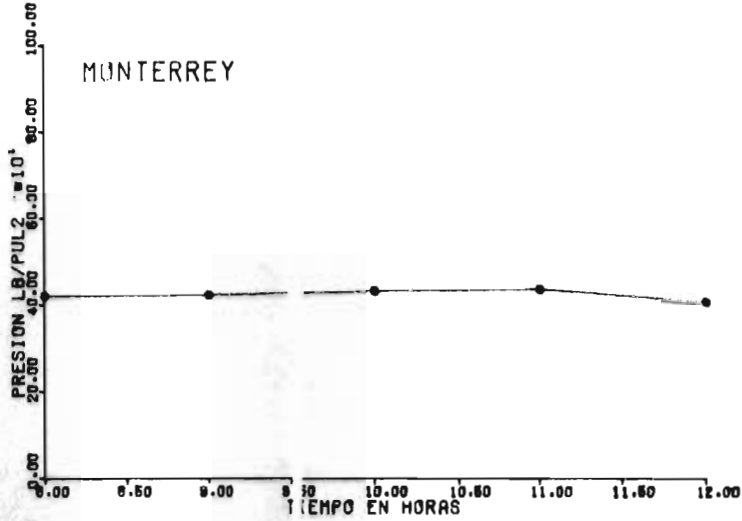
SALIDA PTA. IE



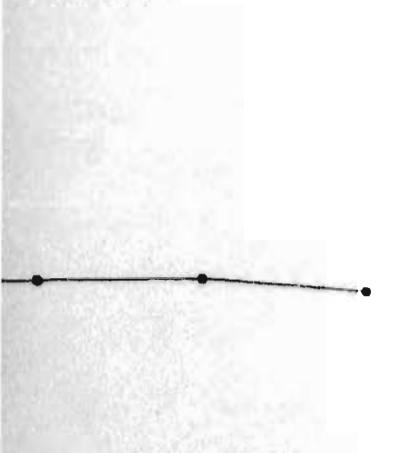
1.00 11.00 12.00

1.00 11.00 12.00

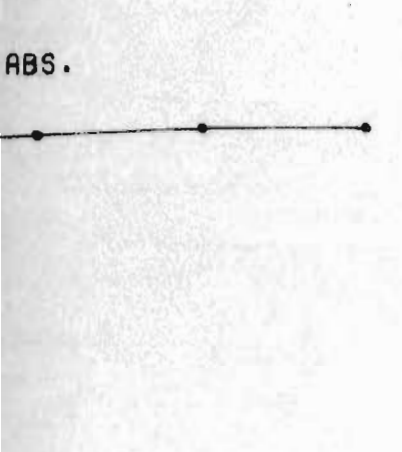
1.00 11.00 12.00



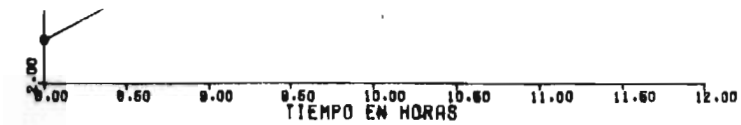
TIEMPO EN HORAS



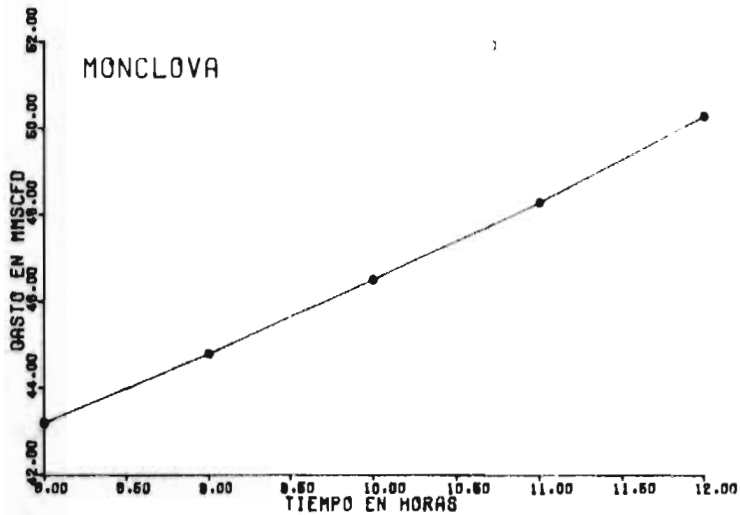
TIEMPO EN HORAS



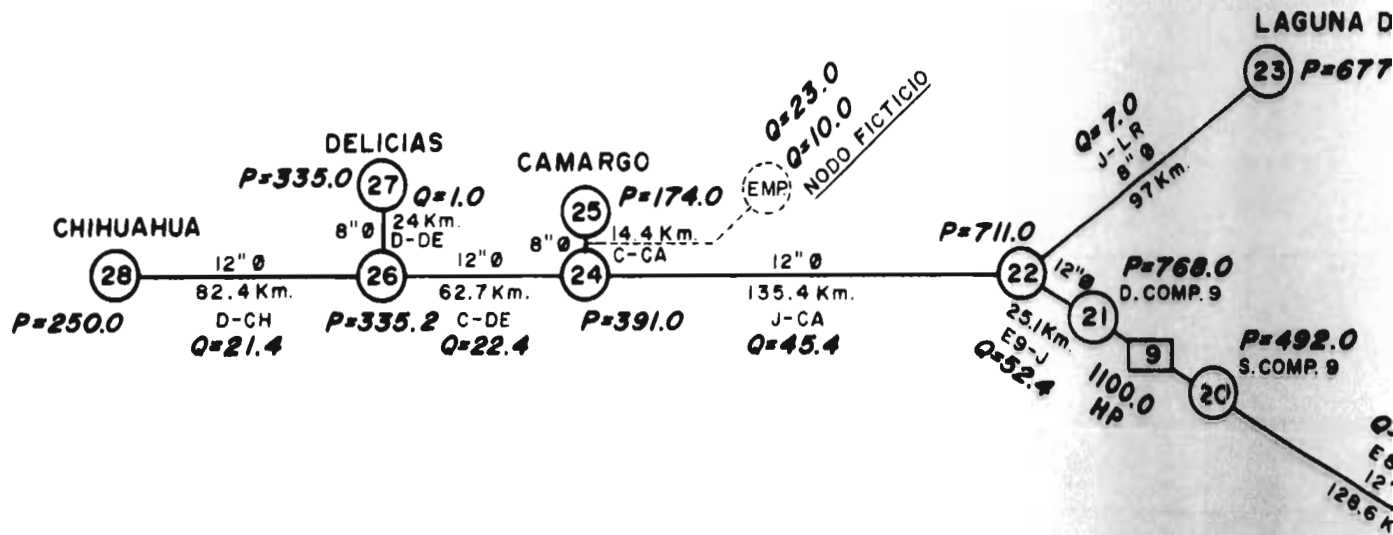
TIEMPO EN HORAS

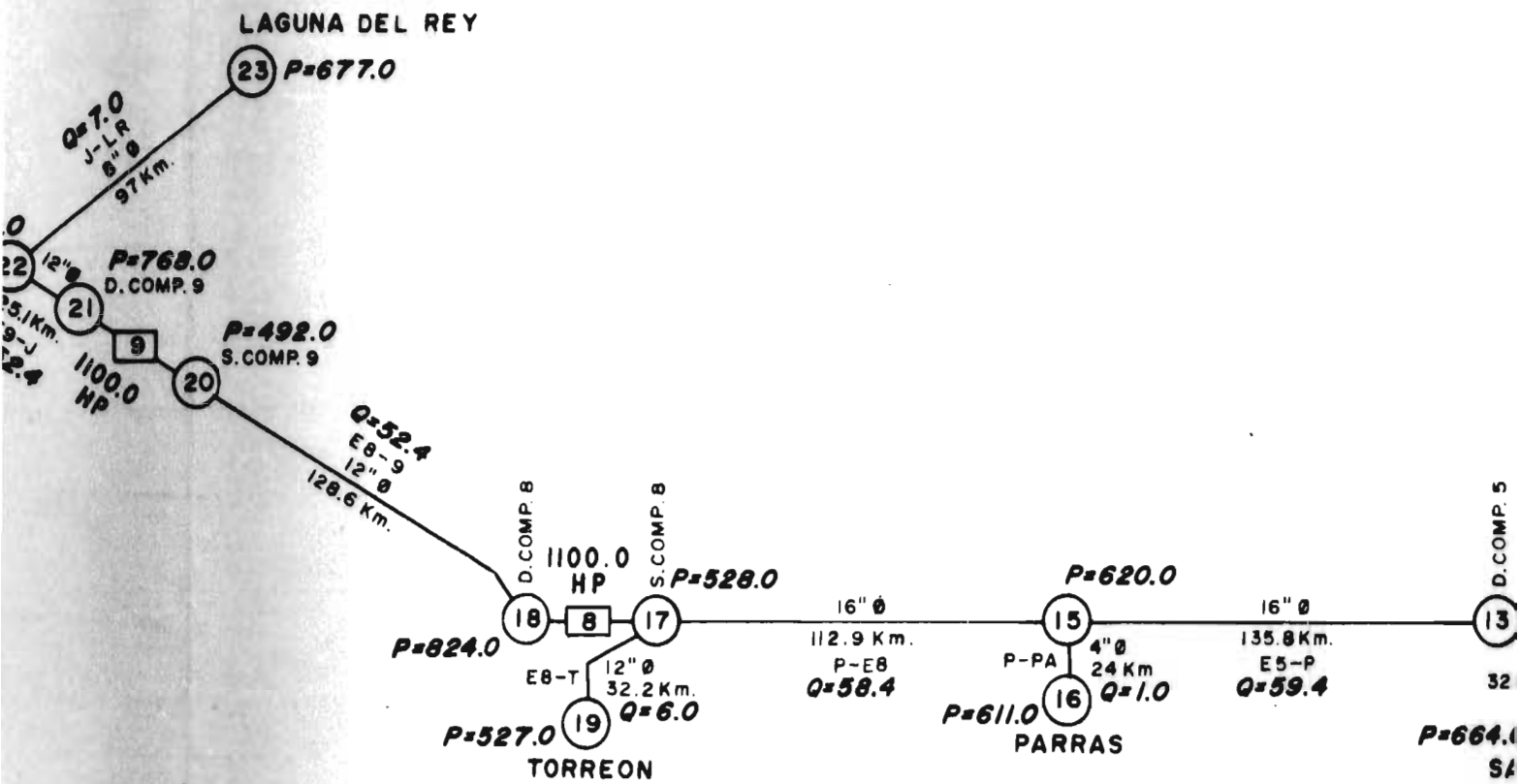


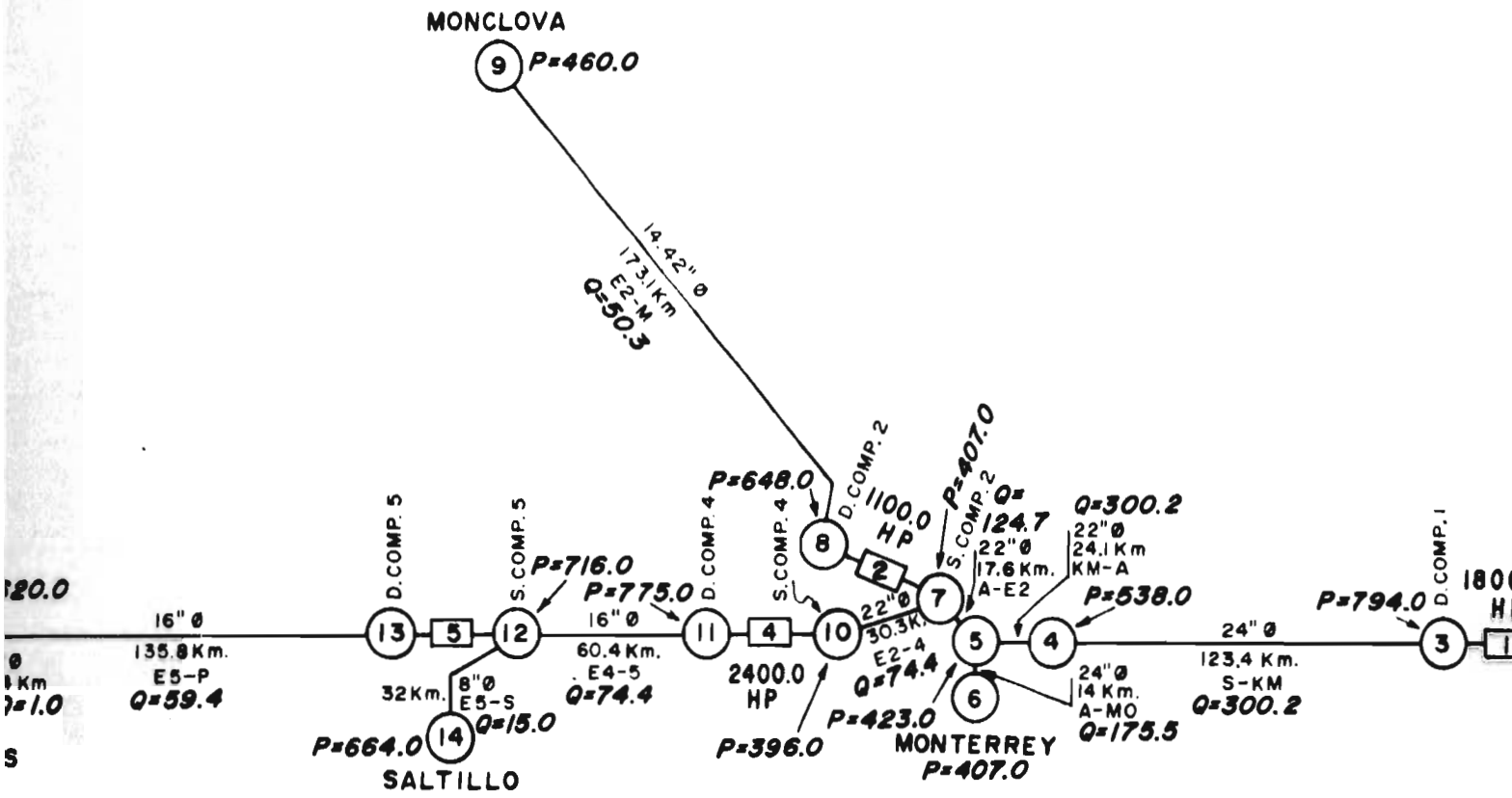
MONCLOVA



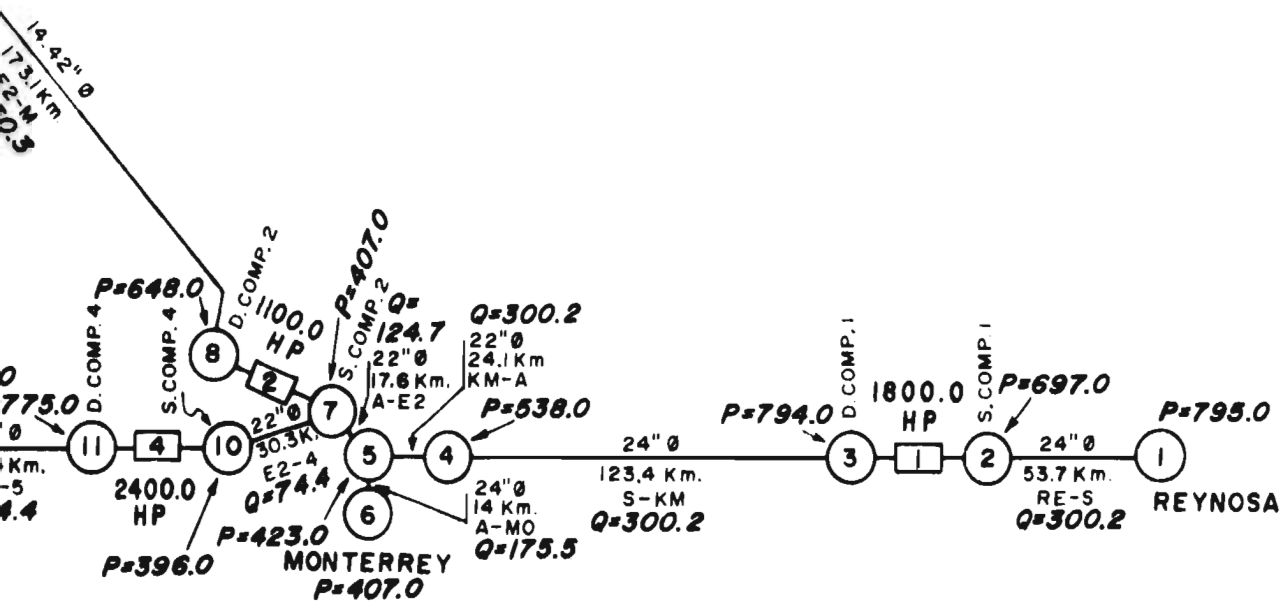
MONTERREY







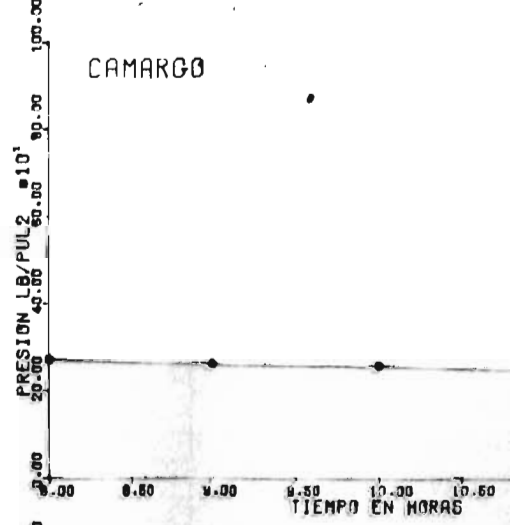
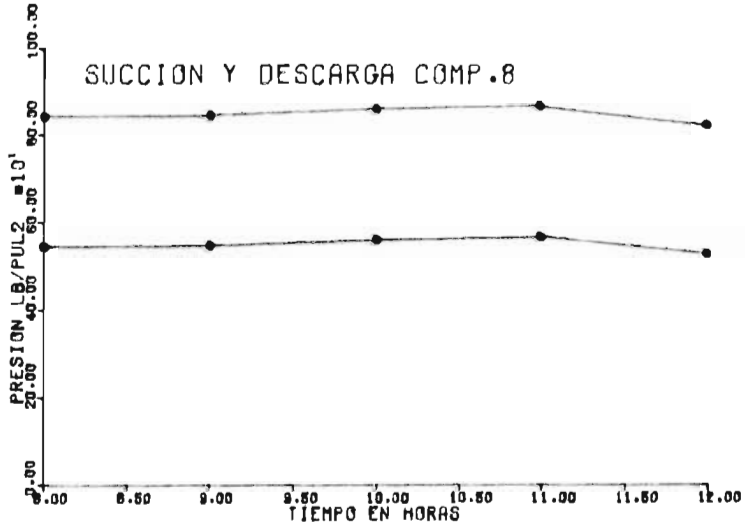
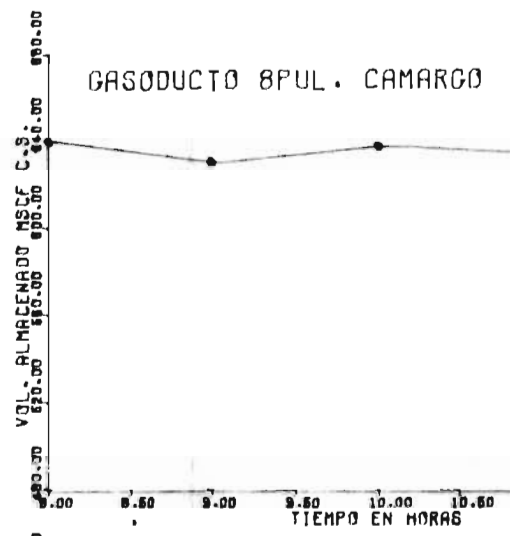
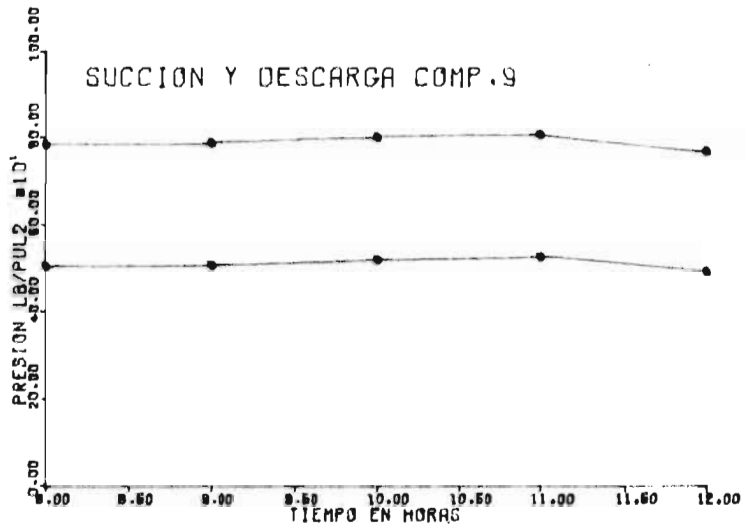
SIST
 (B
 Q-EN M
 FECHA



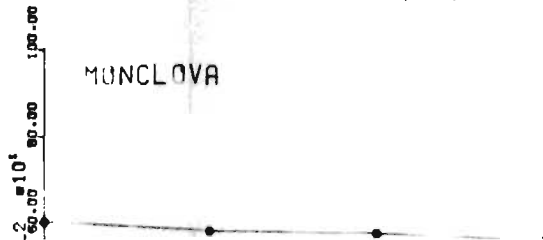
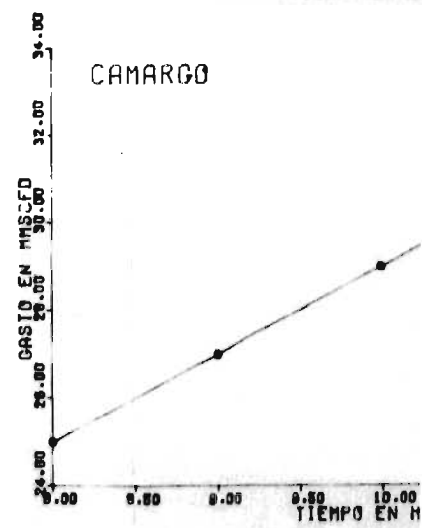
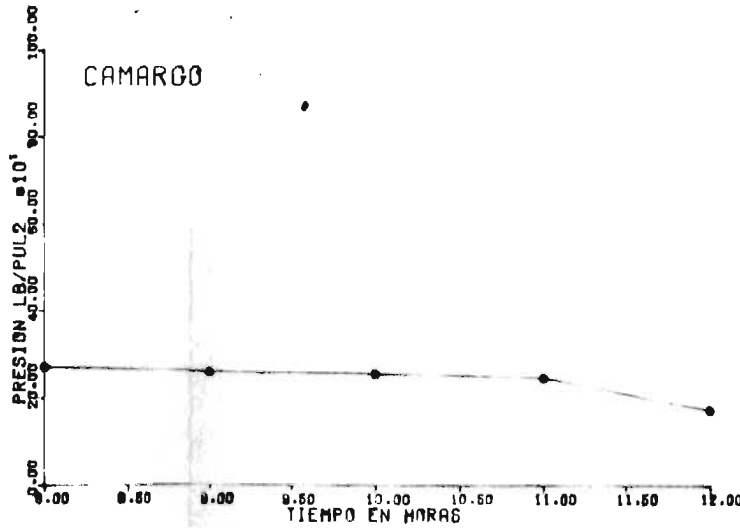
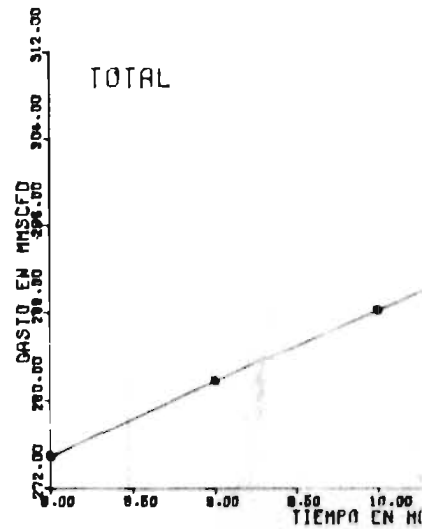
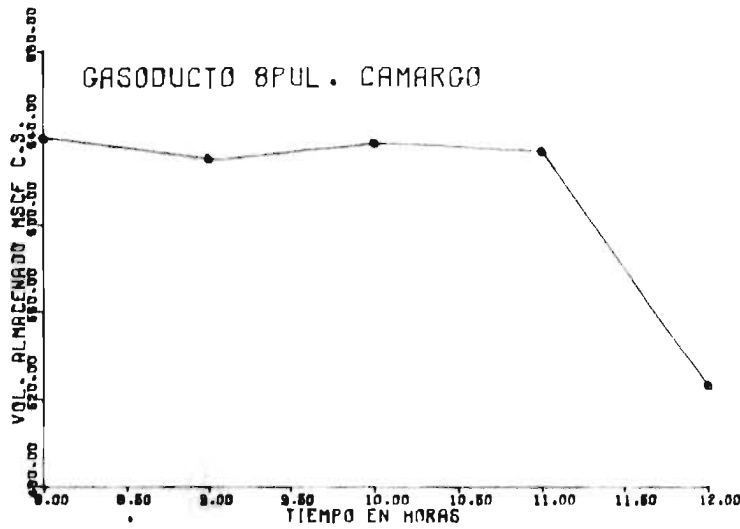
**SISTEMA DE DISTRIBUCION
 DE GAS D.F. N. E.**

**(BALANCE DE PRESIONES,
 GASTOS Y POTENCIA)**
Q-EN MMSCFD P-EN PSI 12 hrs.
FECHA MARZO 1976 ESQUEMA No. 11

SISTEMA DE DISTRIBUCION (ESQUEMA I)

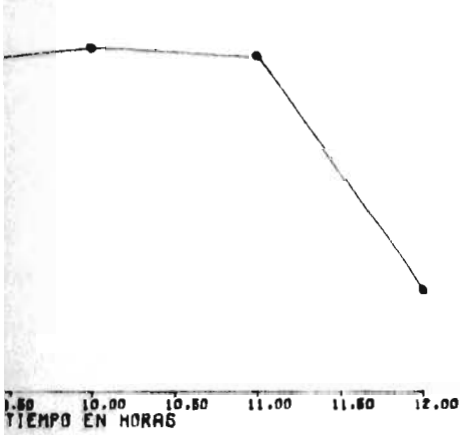


SISTEMA DE DISTRIBUCION DE GAS D. F. N. E. (ESQUEMA No. 12)

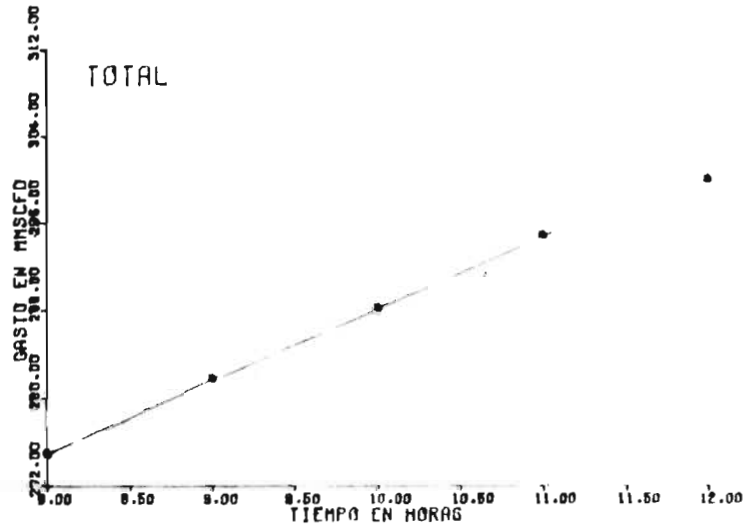


DISTRIBUCION DE GAS D. F. N. E.
 ESQUEMA No. 12)

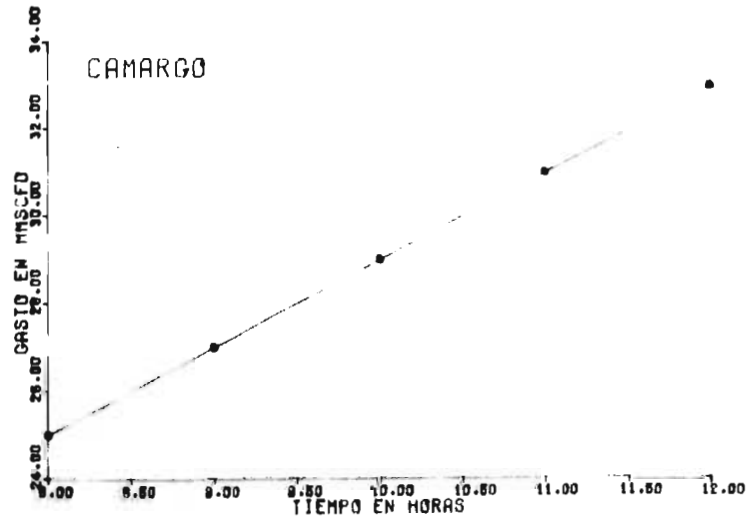
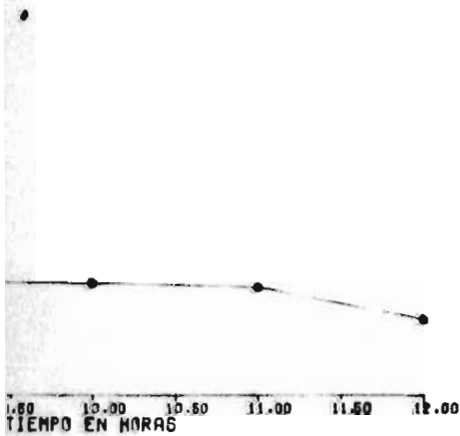
MUL. CAMARGO



TOTAL

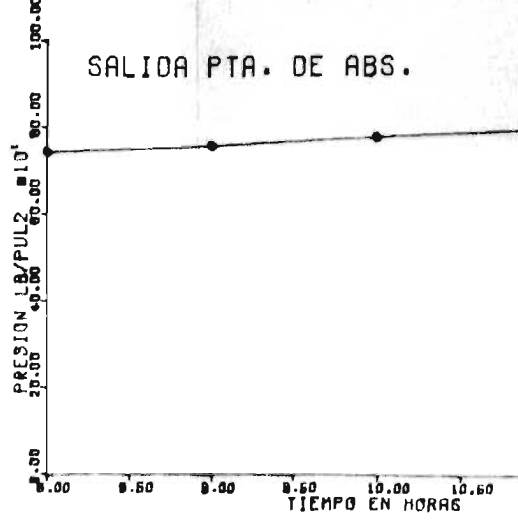
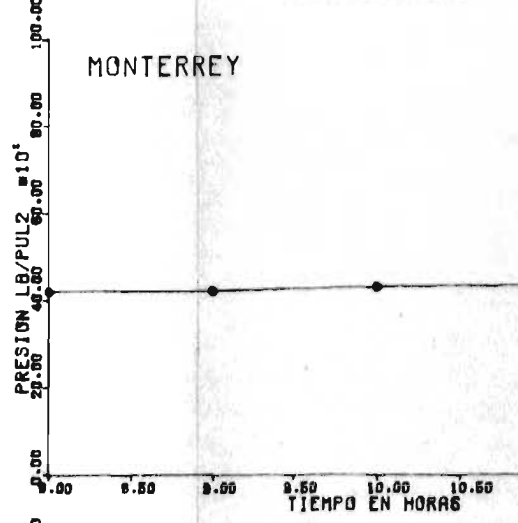
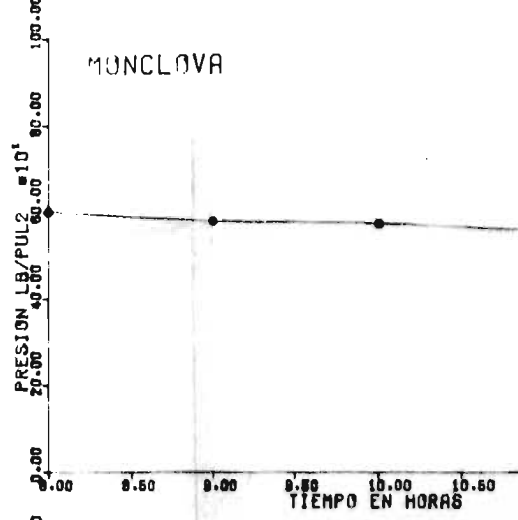
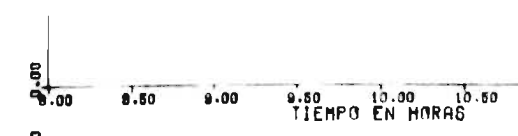
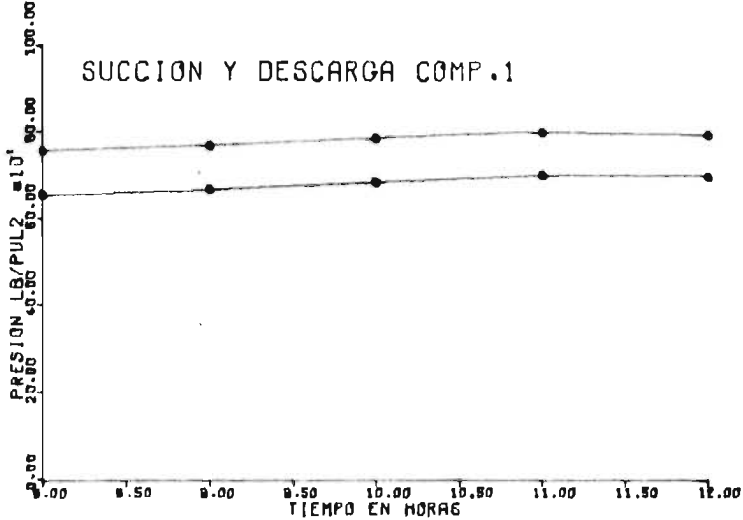
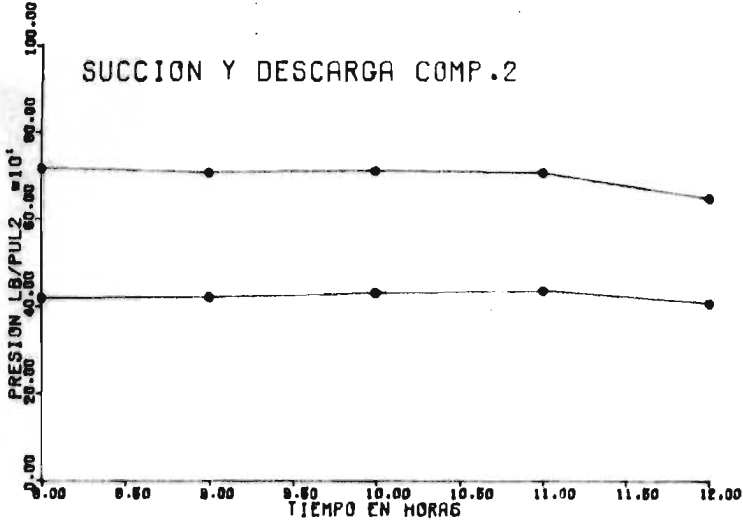
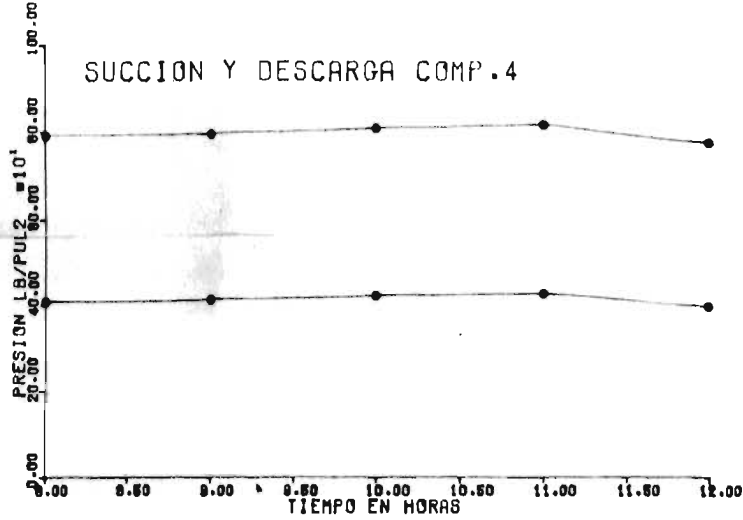
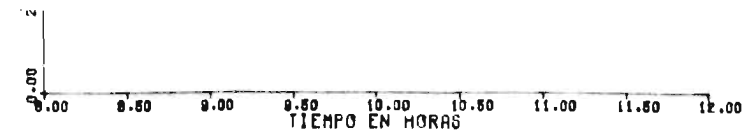


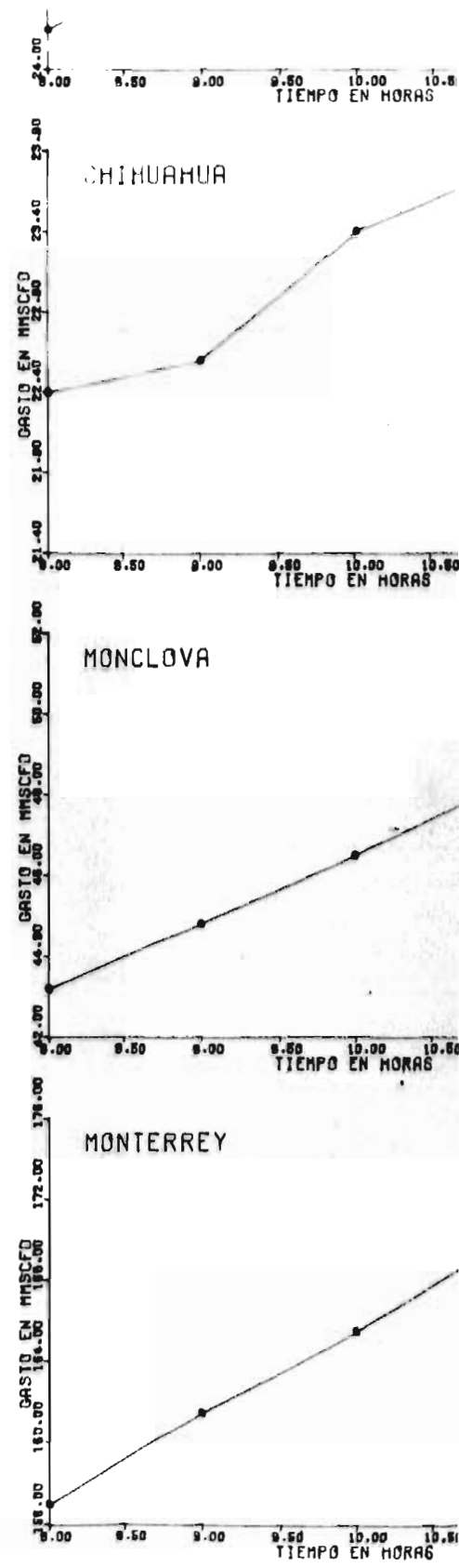
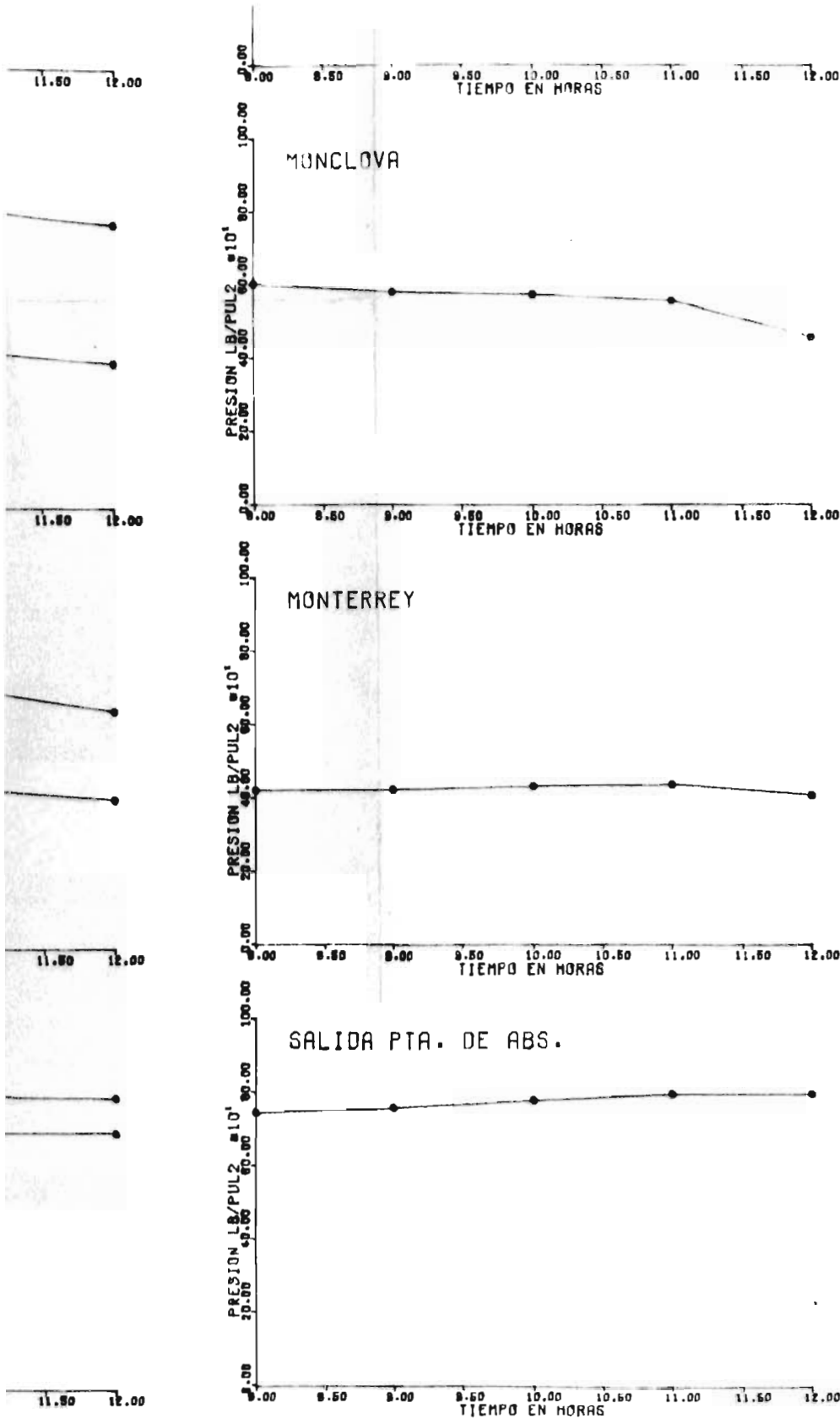
CAMARGO



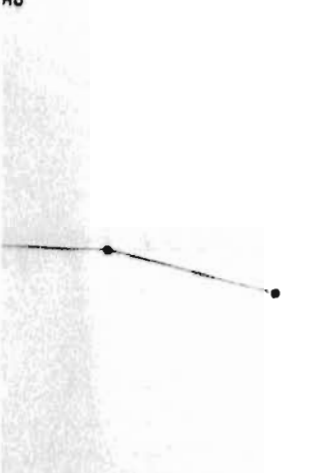
CHIHUAHUA



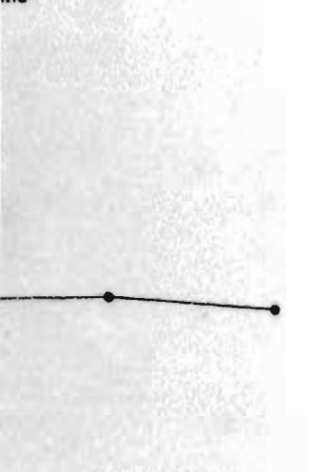




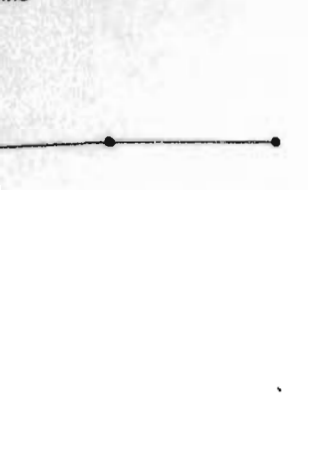
10.50 11.00 11.50 12.00



10.50 11.00 11.50 12.00



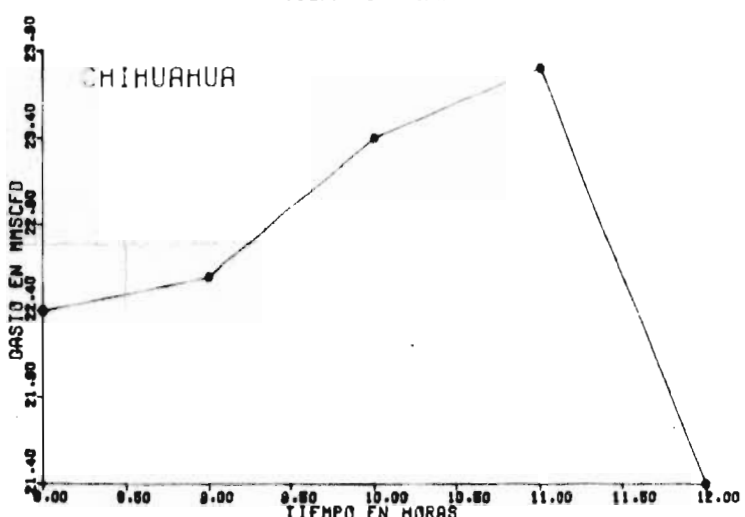
10.50 11.00 11.50 12.00



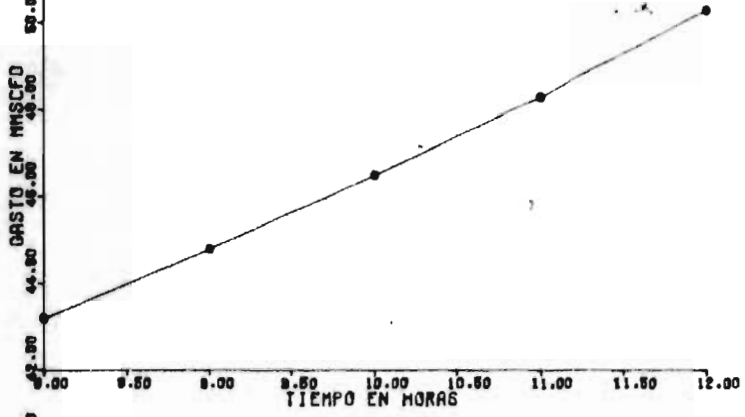
10.50 11.00 11.50 12.00



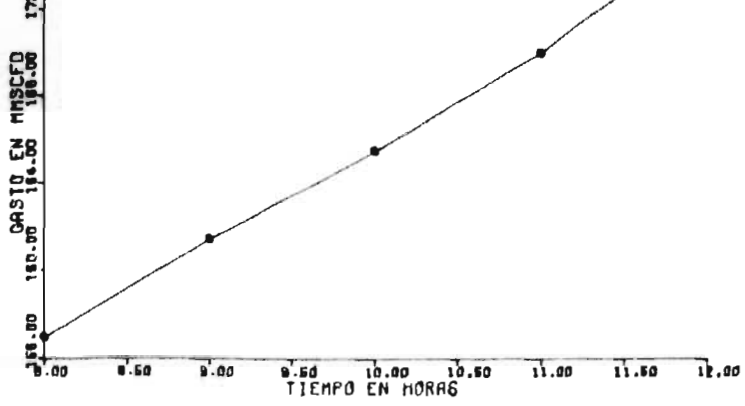
24.00 23.00 22.00 21.00 20.00 19.00 18.00 17.00 16.00 15.00 14.00 13.00 12.00 11.00 10.00 9.00 8.00 7.00 6.00 5.00 4.00 3.00 2.00 1.00 0.00



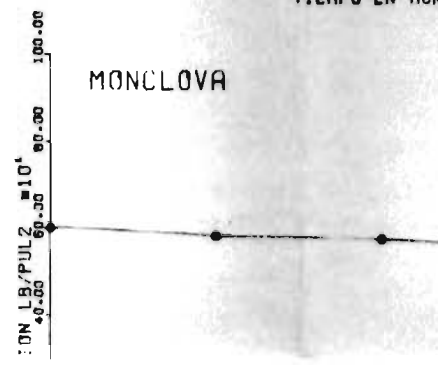
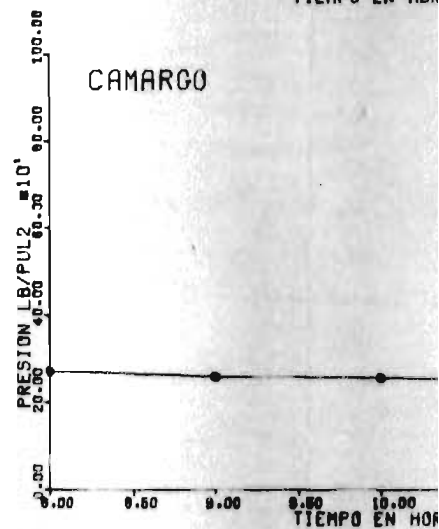
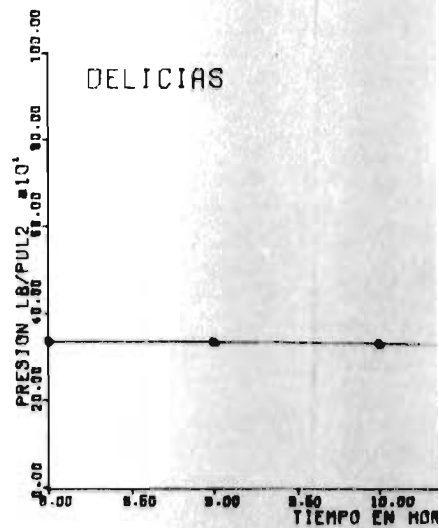
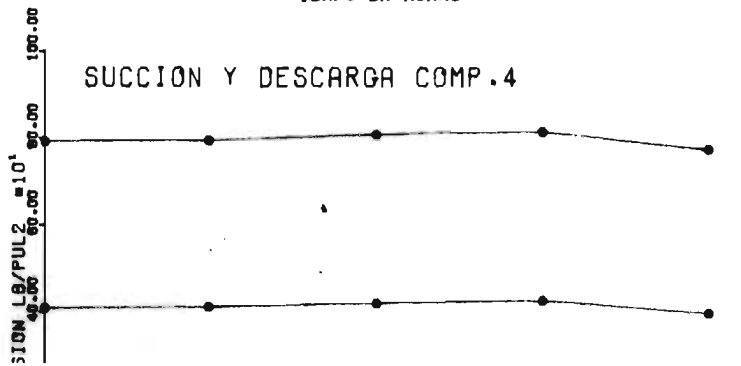
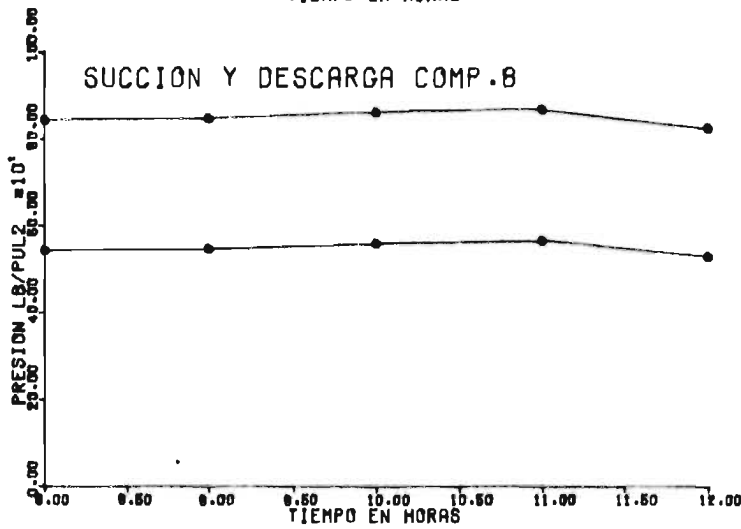
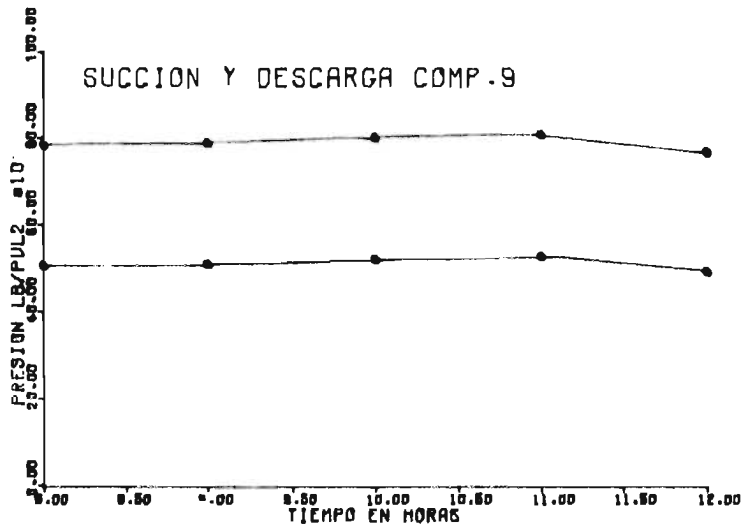
52.00 50.00 48.00 46.00 44.00 42.00 40.00 38.00 36.00 34.00 32.00 30.00 28.00 26.00 24.00 22.00 20.00 18.00 16.00 14.00 12.00 10.00 8.00 6.00 4.00 2.00 0.00



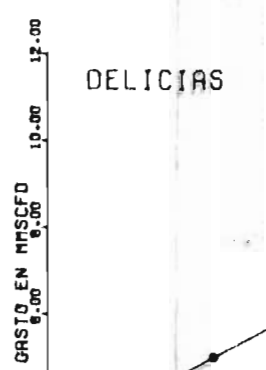
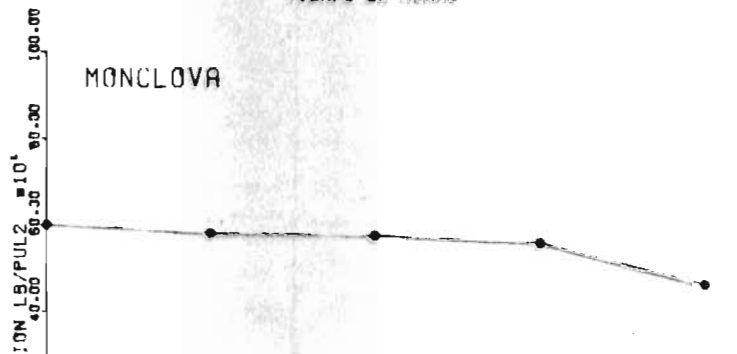
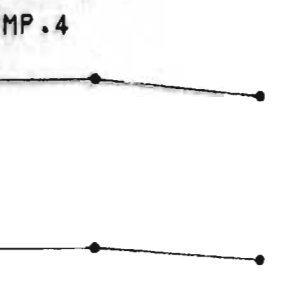
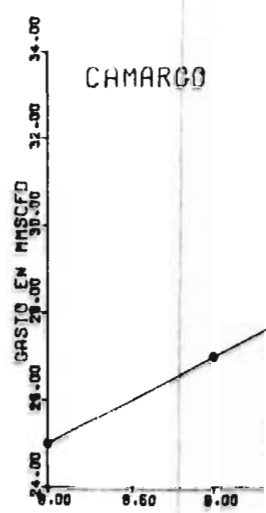
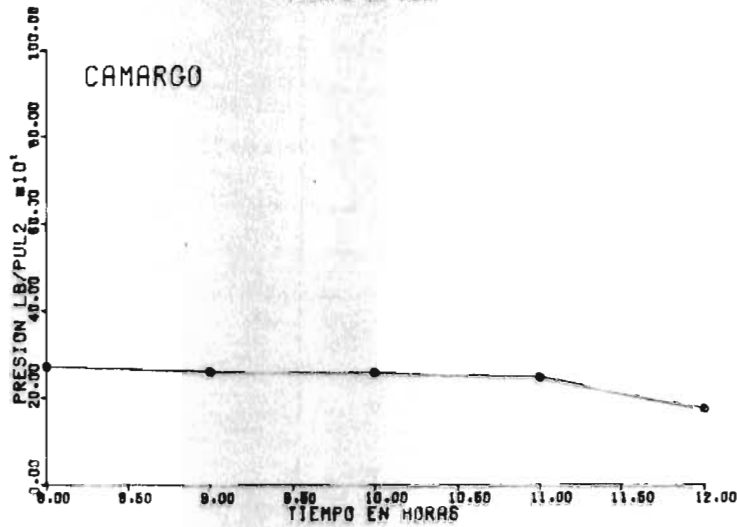
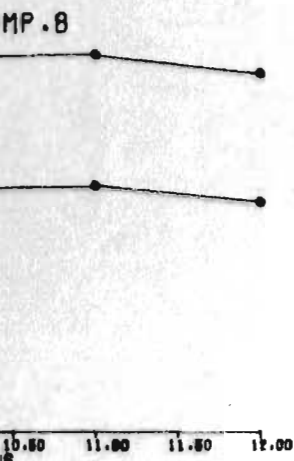
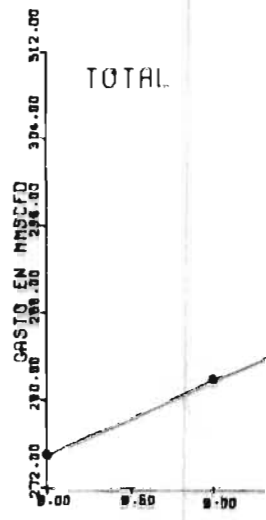
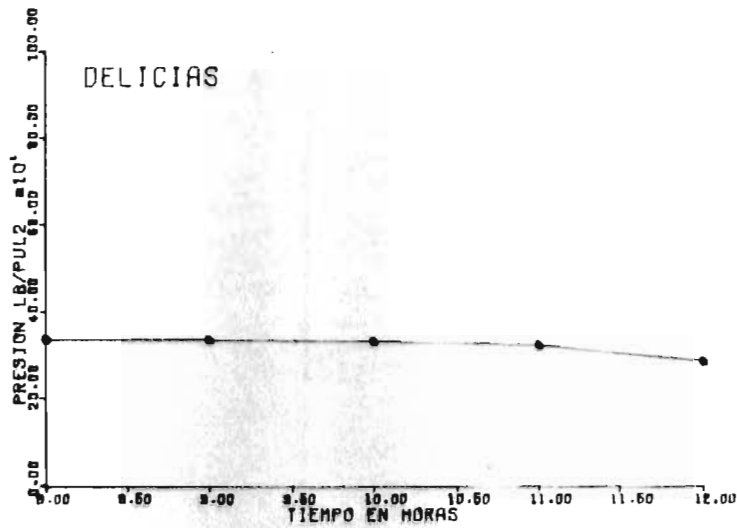
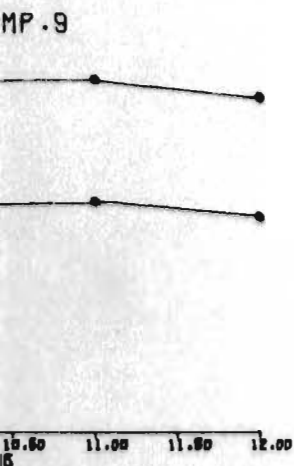
176.00 172.00 168.00 164.00 160.00 156.00 152.00 148.00 144.00 140.00 136.00 132.00 128.00 124.00 120.00 116.00 112.00 108.00 104.00 100.00 96.00 92.00 88.00 84.00 80.00 76.00 72.00 68.00 64.00 60.00 56.00 52.00 48.00 44.00 40.00 36.00 32.00 28.00 24.00 20.00 16.00 12.00 8.00 4.00 0.00



SISTEMA DE DISTRIBUCION (ESQUEMA)



SISTEMA DE DISTRIBUCION DE GAS D. F. N. E. (ESQUEMA No. 13)



DISTRIBUCION DE GAS D. F. N. E. (ESQUEMA No. 13)

